

وزارة التعليم والبحث العلمي  
MINISTÈRE DE L'ENSEIGNEMENT ET DE LA RECHERCHE SCIENTIFIQUE

Lex

## ECOLE NATIONALE POLYTECHNIQUE

DEPARTEMENT : GENIE CIVIL

المدرسة الوطنية المتعددة التقنيات  
BIBLIOTHEQUE —  
المكتبة —  
Ecole Nationale Polytechnique

## PROJET DE FIN D'ETUDES

(En vue de l'obtention du Diplôme d'Ingénieur d'Etat)

### SUJET

## CENTRE ISLAMIQUE (BATIMENT-COUPLES-MINARET)

Proposé par :

B. E. A. B.

Etudié par :

M.T. KHELLADI

Dirigé par :

M. SAYEHI

Mme GUIGOVA

PROMOTION : JUIN 1986



الجمهورية الجزائرية الديمقراطية الشعبية  
REPUBLIQUE ALGERIENNE DEMOCRATIQUE ET POPULAIRE

وزارة التعليم والبحث العلمي  
MINISTÈRE DE L'ENSEIGNEMENT ET DE LA RECHERCHE SCIENTIFIQUE

ECOLE NATIONALE POLYTECHNIQUE

DEPARTEMENT : GENIE CIVIL

المدرسة الوطنية المتعددة التقنيات  
BIBLIOTHEQUE — المكتبة  
Ecole Nationale Polytechnique

## PROJET DE FIN D'ETUDES

(En vue de l'obtention du Diplôme d'Ingénieur d'Etat)

### SUJET

## CENTRE ISLAMIQUE (BATIMENT-COUPOLAS-MINARET)

Proposé par :

B. E. A. B.

Etudié par :

M.T. KHELLADI

Dirigé par :

Mme GUIGOVA

M. SAYEHI

PROMOTION : JUIN 1986

## REMERCIEMENTS

Nous tenons à remercier vivement notre promotrice Mme Guigova qui nous a aidé avec ses remarques et suggestions. Ainsi qu'à tous les enseignants de Genie-civil de l'ENP qui ont contribué à notre formation.

Nous tenons à remercier aussi tout les gens de la DUCH, de la SETAM, du BEAB, du CTC ainsi que tout ceux qui nous ont aidé de près ou de loin dans l'élaboration de cette thèse.



## DEDICACES

Je dedie ce modeste travail

- A mon Père
- A ma mère
- A mes frères et mes soeurs, ainsi qu'à ma future femme
- A toute la famille
- A tous mes frères croyants

المساهمة في إنجازها



Je dedie ce modeste travail :

- A mes Parents qui m'ont toujours apporté leur soutien moral
- A mes Grands-Parents
- A mes Oncles et Tantes
- A ma petite Soeur ainsi qu'à ma future femme
- A toute ma famille ainsi qu'à mes Amis.

Mohamed Fayeb



## SOMMAIRE

### I. COUPOLE

- théorie
- Ferrailage

### II. BATIMENT

- Acrotère
- Poutrelles
- Calcul de rigidité
- Etude sismique
- charges horizontales
- charges verticales
- Superposition des charges
- Ferrailage des portiques
  - poutres
  - poteaux

### III. MINARET

- modélisation
- calcul des escaliers, balcon et plancher
- calcul des rigidités
- Etude dynamique
- Etude sismique
- charges verticales
- charges horizontales
- Superpositions
- Ferrailage

### IV. FONDATIONS

### BIBLIOGRAPHIE

## PRESENTATION DE L'OUVRAGE

Notre projet consiste à étudier les éléments résistants d'un centre Islamique, qui comprend :

- Salles de prière et bibliothèque ayant chacune une coupole
- Logements des enseignants
- bloc d'hébergement
- un minaret

Tous ces blocs sont séparés par des joints de dilatation.

L'étude sera principalement portée sur :

- 2 blocs : des salles de prière et bibliothèque.
- Le minaret.

\* Les blocs des salles de prière et bibliothèque étant en RDC et ayant les dimensions :

- Largeur max	:	14,70m.
- Longueur max	:	$\begin{cases} 24,40 \text{ m} & \text{partie bibliothèque} \\ 14,70 \text{ m} & \text{partie salle de prière} \end{cases}$

Surmontés tout deux de coupoles de forme ogivale de rayon 3,20m et de flèche  $f = 3,08 \text{ m}$ .

\* Le minaret de hauteur 21,20m, de forme carré de 3,90m de côté.

### Ossatures:

L'ossature de tout le bâtiment est en béton armé, autoportante, le remplissage étant en maçonnerie.

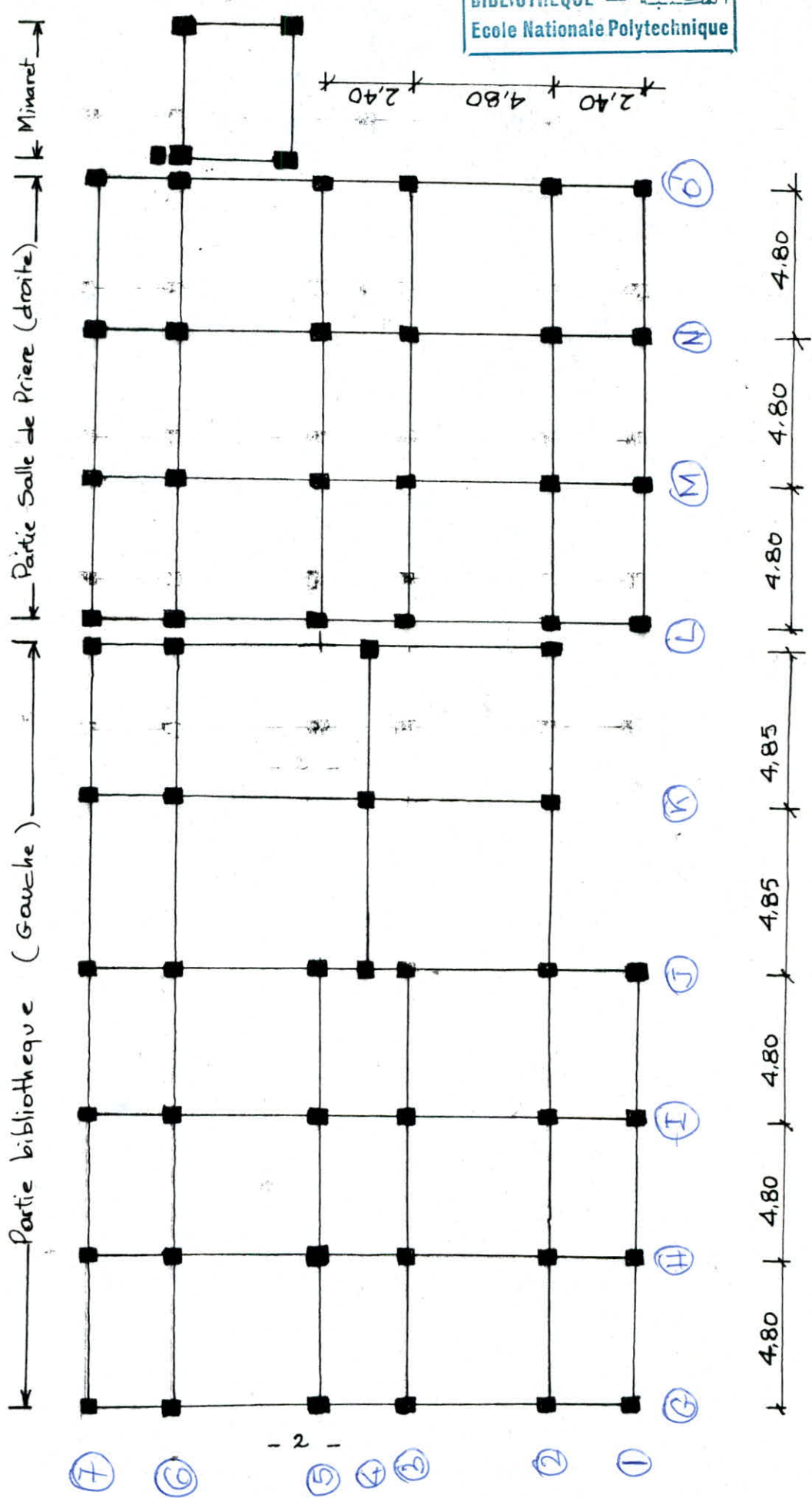
Le parer-terre se compose de dalles flottantes posées sur sol hérissonné.

### Données du site:

Le terrain d'implantation se trouve à Médéa et il est composé d'une mince couche de remblai puis de sable argileux homogène, qui on prendra comme sol de fondations. pas de nappe phréatique à 4,20m de profondeur, et la contrainte admissible du sol est de 1,2 Kg/cm² à 1,50m de profondeur.

### Réglements utilisés sont :

- CCBA 68
- RPA 81
- NV 65



## CHARGES et SURCHARGES:

### charges:

#### - Plancher terrasse:

- 1- Protection solaire (gravillon 5cm)
- 2- Etanchéité multicouche
- 3- Isolation thermique (4cm)
- 4- forme de pente (2%)
- 5- dalle de compression
- 6- Enduit de plâtre (1,5cm)

90 Kg/m<sup>2</sup>

10 Kg/m<sup>2</sup>

16 Kg/m<sup>2</sup>

120 Kg/m<sup>2</sup>

325 Kg/m<sup>2</sup>

30 Kg/m<sup>2</sup>

$$G = 591 \text{ Kg/m}^2$$

#### - Dalle flottante :

- 1- Carrelage (2cm)
- 2- mortier de pose (2cm)
- 3- Sable (1cm)
- 4- Dalle pleine 8cm

44 Kg/m<sup>2</sup>

40 Kg/m<sup>2</sup>

18 Kg/m<sup>2</sup>

200 Kg/m<sup>2</sup>

$$G = 302 \text{ Kg/m}^2$$

- Longrines; D'après RPA81 Art 4213  
 on prend les dimensions 30x30 cm.

### Surcharges:

- terrasse inaccessible	100 Kg/m <sup>2</sup>
- bibliothèque	500 Kg/m <sup>2</sup>
- bureaux	250 Kg/m <sup>2</sup>
- Archives	1000 Kg/m <sup>2</sup>
- Dépôt	1000 Kg/m <sup>2</sup>
- Poteaux	400 Kg/m <sup>2</sup>

### Rémpissage:

Le mur extérieur est formé d'une double cloison, l'une de 15cm, l'autre de 5cm et d'un vide d'air entre elle de 5cm.

- brique creuse (15cm)	157 Kg/m <sup>2</sup>
- brique creuse (5cm)	68 Kg/m <sup>2</sup>
- Enduit en ciment	18 Kg/m <sup>2</sup>
- Enduit en plâtre	10 Kg/m <sup>2</sup>

$$G = 253 \text{ Kg/m}^2$$

## Caractéristiques mécaniques des matériaux et contraintes admissibles

A. Beton : Le béton est dosé à 350 kg/m<sup>3</sup> de ciment CPA 325 avec contrôle atténue en compression simple :

$$\begin{aligned}\bar{\sigma}_b' &= 1 \cdot \frac{f}{c} \cdot 1 \cdot 0,3 \cdot 270 = 67,5 \text{ bars} = 68,5 \text{ kg/cm}^2 \rightarrow s_{p_1} \quad (1^{\text{ère}} \text{ genre}) \\ \bar{\sigma}_b' &= 1,5 \cdot 68,5 = 102,75 \text{ kg/cm}^2 \rightarrow s_{p_2} \quad (2^{\text{ème}} \text{ genre})\end{aligned}$$

En flexion composée :

$$\bar{\sigma}_b' = 137 \text{ kg/cm}^2 \text{ sous } s_{p_1}$$

$$\bar{\sigma}_b' = 1,5 \cdot 137 = 205,5 \text{ kg/cm}^2 \text{ sous } s_{p_2}$$

Contrainte de traction de référence : (Art 95 - C.C.B.A 68)

$$\bar{\sigma}_b = \alpha \beta \gamma \theta \bar{\sigma}_{t8}'$$

$$\bar{\sigma}_b = 5,9 \text{ kg/cm}^2 \text{ sous } s_{p_1}, \quad \bar{\sigma}_b = 1,5 \cdot 5,9 = 8,85 \text{ kg/cm}^2 \text{ sous } s_{p_2}$$

B. Aciers : On utilise : 2 catégories d'Aciers.

- Aciers doux ou ronds lisses

$$\text{nuance FeE 24} \quad \bar{\sigma}_{en} = 2400 \text{ kg/cm}^2$$

$$\bar{\sigma}_a = \frac{2}{3} \bar{\sigma}_{en} = 1600 \text{ kg/cm}^2 \rightarrow \text{sous } s_{p_1}$$

$$\bar{\sigma}_a = \bar{\sigma}_{en} = 2400 \text{ kg/cm}^2 \rightarrow \text{sous } s_{p_2}$$

- Aciers Haute adhérence :

$$\phi \leq 20 \text{ mm} \quad \left\{ \begin{array}{l} \bar{\sigma}_a = 2800 \text{ kg/cm}^2 \text{ sous } s_{p_1} \\ \bar{\sigma}_a = 4200 \text{ kg/cm}^2 \text{ sous } s_{p_2} \end{array} \right.$$

$$\phi > 20 \text{ mm} \quad \left\{ \begin{array}{l} \bar{\sigma}_a = 2667 \text{ kg/cm}^2 \rightarrow s_{p_1} \\ \bar{\sigma}_a = 4000 \text{ kg/cm}^2 \rightarrow s_{p_2} \end{array} \right.$$

Treillis soudés :

$$\phi \leq 6 \text{ mm} \quad \bar{\sigma}_{en} = 5300 \text{ kg/cm}^2$$

$$\phi > 6 \text{ mm} \quad \bar{\sigma}_{en} = 4500 \text{ kg/cm}^2$$

Contraintes admissibles :

$$\phi \leq 6 \text{ mm} \rightarrow \left\{ \begin{array}{ll} \bar{\sigma}_a = 3533 \text{ kg/cm}^2 & \text{sous } s_{p_1} \\ \bar{\sigma}_a = 5300 \text{ kg/cm}^2 & \text{sous } s_{p_2} \end{array} \right.$$

$$\phi > 6 \text{ mm} \rightarrow \left\{ \begin{array}{ll} \bar{\sigma}_a = 3000 \text{ kg/cm}^2 & \text{sous } s_{p_1} \\ \bar{\sigma}_a = 4500 \text{ kg/cm}^2 & \text{sous } s_{p_2} \end{array} \right.$$

1<sup>o</sup> PARTIE

**COUPOLE**

# COPOLE

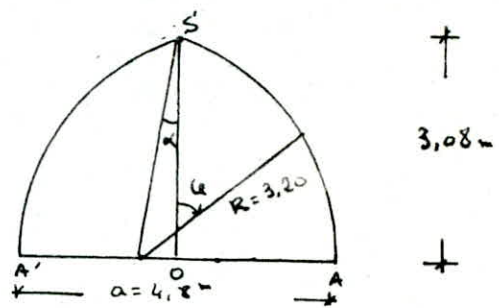
## 1. GENERALITÉS :

On considère la coupole comme un voile mince de révolution, un tel voile peut être caractérisé par le diamètre  $a$ , de sa base le long du parallèle d'appui, la flèche traduisant l'altitude du sommet par rapport à la base et l'épaisseur ( $f$ ). Les efforts en tout points doivent, d'une façon générale être déterminés en envisgeant l'équilibre de flexion qui fait intervenir 5 éléments de réductions par facette.

On trouve en particulier, lorsque  $f$  est très faible, l'équilibre de flexion des plaques planes de révolution. L'effet de membrane peut alors être considéré comme négligeable, par contre lorsque  $f$  prend de l'importance ( $f > a$ ), notre cas :

( $a = 4,8 \text{ m}$  et  $f = 3,08 \frac{\text{m}}{\text{m}}$ , d'où  $0,48 < f = 3,08$ ).

On constate que les efforts, en tout point restent voisins de ceux obtenus par l'équilibre de membrane



## 2. Théorie de la membrane :

Un point quelconque A d'un voile mince de révolution d'axe Oz se trouve à l'intersection d'un méridien ( $\Gamma$ ) et d'un parallèle ( $\ell$ ). Nous définissons la position de ce point au moyen des angles  $\theta$  et  $\phi$ ;  $\theta$  est l'angle de l'axe de révolution Oz et la normale IA au voile, compté positivement de Oz vers Or;  $\phi$  est l'angle du plan méridien fixe OXZ et du plan méridien ORZ contenant le point A. Les courbes  $\theta = \text{cte}$  sont les méridiens, et les courbes  $\phi = \text{cte}$  sont les parallèles. Au point A est lié un tétraèdre rectangle direct dont les vecteurs unitaires sont  $\vec{i}, \vec{j}, \vec{k}$  (fig 2). Le vecteur  $\vec{i}$  est dirigé suivant la tangente au méridien dans le sens de  $\theta$  croissant; le vecteur  $\vec{j}$  est dirigé suivant la tangente au parallèle dans le sens de  $\theta$  croissant, enfin le vecteur  $\vec{k}$ .  $\vec{k} = \vec{i} \wedge \vec{j}$ .  $\vec{k}$  est normale à la surface ext. à la même sens que le vecteur IA; car on a supposé que se compris entre  $\theta$  et  $\pi\theta$ . Si l'on représente la surface du voile par les équations paramétriques :  $x = r \cos \theta$ ;  $y = r \sin \theta$ ;  $z = f(r)$

$\frac{\partial z}{\partial r} = f'(r) = -\tan \phi$ , les composantes des vecteurs  $\vec{i}, \vec{j}, \vec{k}$  suivant oxyz est:

Composantes	$\vec{i}$	$\vec{j}$	$\vec{k}$
Suivant Ox	$\cos \phi \cos \theta$	$-\sin \theta$	$\sin \phi \cos \theta$
Suivant Oy	$\cos \phi \sin \theta$	$\cos \theta$	$\sin \phi \sin \theta$
Suivant Oz	$-\sin \phi$	$0$	$\cos \phi$

nous déduirons :

$$\begin{aligned}\frac{\partial \vec{r}}{\partial \alpha} &= -\vec{k} & \frac{\partial \vec{r}}{\partial \theta} &= \vec{j} \cos \alpha \\ \frac{\partial \vec{r}}{\partial \alpha} &= 0 & \frac{\partial \vec{r}}{\partial \theta} &= -\vec{i} \cos \alpha - \vec{k} \sin \alpha \\ \frac{\partial \vec{r}}{\partial \alpha} &= \vec{i} & \frac{\partial \vec{r}}{\partial \theta} &= \vec{j} \sin \alpha\end{aligned}\quad (1)$$

On substitue à l'angle ce l'abscisse curviligne  $s$   
du méridien

$$\left. \begin{aligned} dx &= dr \cos \theta \\ dy &= dr \sin \theta \end{aligned} \right\} \Rightarrow ds^2 = dx^2 + dy^2 + dz^2$$

$$ds^2 = (1 + \tan^2 \alpha) dr^2 = \frac{dr^2}{\cos^2 \alpha} \Rightarrow ds = \frac{dr}{\cos \alpha}$$

Le rayon de courbure  $\rho$  du méridien est un nombre algébrique :

$$S = \frac{ds}{dr} = \frac{1}{\cos \theta} \frac{dr}{d\theta} \quad (S \text{ est positif si le centre de courbure du méridien est sur le même côté que } I \text{ par rapport à } A).$$

$$dr = f \cos \alpha \, du$$

$$dI = -dr \tan \alpha = -g \sin \alpha \, dr$$

nous désignons par  $R_1$  et  $R_2$  les rayons de courbure principaux de la surface; ce sont les rayons de courbures des sections normales passant respectivement par la tangente au méridien et par la tangente au parallèle,  $R_1$  et  $R_2$  sont des nombres algébriques. Nous désignons par  $p_1, p_2, p_3$  les composantes suivant  $i, j, k$  de la densité de force  $\vec{w}$  appliquée au voile.

$$\vec{\omega} = \omega_1 \vec{i} + \omega_2 \vec{j} + \omega_3 \vec{k}$$

### Équation d'équilibre :

voile soumis à une densité de force quelconque :

La théorie de membrane consiste à supposer que les forces intérieures sont contenues dans le plan tangent au voile ; l'état de contrainte est alors défini par un tenseur symétrique du second ordre (Tenseur tension), dont les composantes seront désignées par  $F_1$ ,  $F_2$  et  $F_{12}$  (fig. 3).

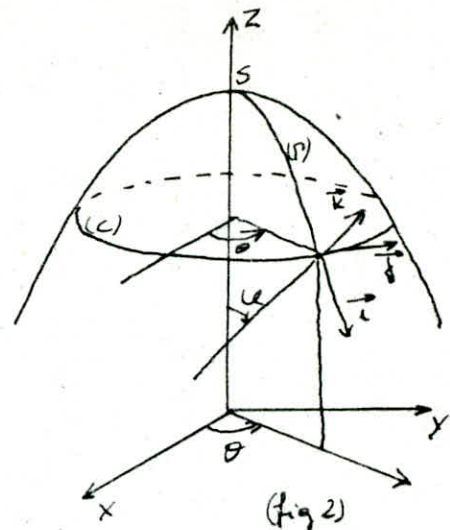
$F_1$  est l'effort de traction par unité de longueur qui s'exerce sur un parallèle à l'axe.

$F_2 = \text{meridien}$

*Flex* est l'effort de cisaillement par unité de longueur qui s'exerce sur une parallèle ou un méridien.

Etudions l'équilibre d'un élément ABCD du voile compris entre deux méridiens infiniment voisins définis par  $\theta$  et  $\theta + d\theta$  et deux parallèles infiniment voisines définies par  $\varphi$  et  $\varphi + d\varphi$ . Nous avons :  $AB = g d\varphi$  et  $AC = r d\theta$ , l'air de l'élément ABCD sera :  $r g d\varphi d\theta$

En écrivant que la somme des forces appliquées à l'élément ABCD est nulle, nous obtenons les résultats vectoriels :



1) Le long de l'arc AB :  $-(F_{12}\vec{i} + F_2\vec{j})s d\alpha$

2) Le long de l'arc Ac :  $-(F_1\vec{i} + F_{12}\vec{j})r d\theta$

3) Le long de l'arc CD :  $(F_{12}\vec{i} + F_2\vec{j})s d\alpha + \frac{\partial}{\partial \theta} [(F_{12}\vec{i} + F_2\vec{j})s d\alpha] d\theta$

4) Le long de l'arc BC :  $(F_1\vec{i} + F_{12}\vec{j})r d\theta + \frac{\partial}{\partial \alpha} [(F_1\vec{i} + F_{12}\vec{j})r d\theta] d\alpha$

La force extérieure a pour composante :  $\vec{N} = (P_1\vec{i} + P_2\vec{j} + P_3\vec{k})s r d\alpha d\theta$

A l'équilibre la somme de toute les forces appliquées à l'élément ABCD est nulle ;  
d'où :

$$\frac{\partial}{\partial \alpha} [F_1 r d\theta \vec{i} + F_{12} r d\theta \vec{j}] d\alpha + \frac{\partial}{\partial \theta} [F_{12} s d\alpha \vec{i} + F_2 s d\alpha \vec{j}] d\theta + (P_1 \vec{i} + P_2 \vec{j} + P_3 \vec{k}) s r d\alpha d\theta = 0$$

On développe cette équation compte tenu de la relation (1) et que  $s$  ne dépend pas de  $\theta$  on trouve :

$$1) \frac{\partial}{\partial \alpha} (F_1 r d\theta \vec{i} + F_{12} r d\theta \vec{j}) d\alpha = \frac{\partial}{\partial \alpha} (F_1 r d\theta \vec{i}) d\alpha + \frac{\partial}{\partial \alpha} (F_{12} r d\theta \vec{j}) d\alpha =$$

$$= \left[ \frac{\partial}{\partial \alpha} (F_1 r) \vec{i} d\theta + F_1 r \frac{\partial d\theta}{\partial \alpha} \vec{i} + \left( \frac{\partial}{\partial \alpha} (F_{12} r) d\theta + F_{12} r \frac{\partial d\theta}{\partial \alpha} \right) \vec{j} + F_1 r d\theta \frac{\partial \vec{i}}{\partial \alpha} + F_{12} r d\theta \frac{\partial \vec{j}}{\partial \alpha} \right] d\theta$$

remplaçons :  $\frac{\partial i}{\partial \alpha}$  et  $\frac{\partial j}{\partial \alpha}$  par des valeurs et comme  $\theta$  ne dépend pas de  $\alpha$

$$1) = \left[ \frac{\partial (F_1 r)}{\partial \alpha} \vec{i} d\theta - F_1 r \vec{k} d\theta + \frac{\partial F_{12} r}{\partial \alpha} \vec{r} \vec{j} d\theta \right] d\alpha = \left[ \frac{\partial (F_1 r)}{\partial \alpha} \vec{i} - F_1 r \vec{k} + \frac{\partial F_{12} r}{\partial \alpha} \vec{r} \vec{j} \right] d\alpha = 0$$

$$2) \frac{\partial}{\partial \theta} [F_{12} s d\alpha \vec{i} + F_2 s d\alpha \vec{j}] d\theta = \frac{\partial}{\partial \theta} (F_{12} s d\alpha \vec{i}) d\theta + \frac{\partial}{\partial \theta} (F_2 s d\alpha \vec{j}) d\theta =$$

$$= \left[ \left( \frac{\partial}{\partial \theta} (F_{12} s) d\alpha + F_{12} s \frac{\partial d\alpha}{\partial \theta} \right) \vec{i} + F_{12} s d\alpha \frac{\partial \vec{i}}{\partial \theta} + \left( \frac{\partial}{\partial \theta} (F_2 s) d\alpha + F_2 s \frac{\partial d\alpha}{\partial \theta} \right) \vec{j} + F_2 s d\alpha \frac{\partial \vec{j}}{\partial \theta} \right] d\alpha$$

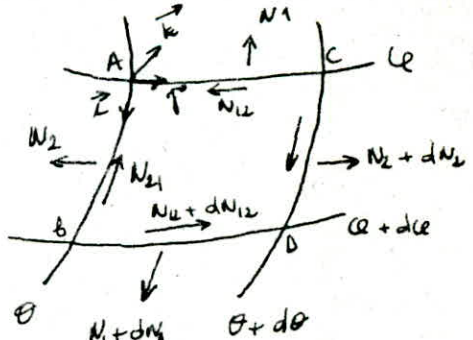
$$2') = \frac{\partial}{\partial \theta} (F_{12} s) \vec{i} + F_{12} s \cos \alpha \vec{j} + \frac{\partial F_2 s}{\partial \theta} \vec{s} \vec{j} - F_2 s \cos \alpha \vec{i} - F_2 s \sin \alpha \vec{k} d\alpha$$

éliminant  $d\alpha$  et  $d\theta$  des 2 équations on aura :

$$\left( \frac{\partial (F_1 r)}{\partial \alpha} + \frac{\partial F_{12} r}{\partial \alpha} - F_2 s \cos \alpha + P_3 s r \right) \vec{i} + \left( \frac{\partial (F_{12} r)}{\partial \theta} + F_2 s \cos \alpha + \frac{\partial (F_2 s)}{\partial \theta} + P_2 s r \right) \vec{j} + (F_1 r + F_2 s \sin \alpha - P_3 r) \vec{k} = 0$$

Comme  $s$  ne dépend pas de  $\theta$ , on peut écrire .

$$(I) \begin{cases} \frac{\partial (F_1 r)}{\partial \alpha} + s \frac{\partial F_{12} r}{\partial \alpha} - F_2 s \cos \alpha + P_3 s r = 0 & (1) \\ \frac{\partial (F_{12} r)}{\partial \theta} + F_{12} s \cos \alpha + s \frac{\partial (F_2 s)}{\partial \theta} + P_2 s r = 0 & (2) \\ F_1 r + F_2 s \sin \alpha - P_3 r s = 0 & (3) \end{cases}$$



(fig 3)

Supposons maintenant que le voile est soumis à une densité ne dépendant pas de  $\theta$ , lorsque  $P_1, P_2, P_3$  ne dépendent pas de  $\theta$ , il est de même pour les composantes  $F_1, F_2$  et  $F_{12}$  qui sont donc des fonctions de la seule variable  $\psi$  et en effet l'équilibre n'est pas modifié, lorsqu'on fait subir au voile une rotation d'ensemble autour de l'axe de révolution et les équations (I) deviennent :

$$\left\{ \begin{array}{l} \frac{d(rF_1)}{d\psi} - \delta F_2 \cos \psi + P_1 r \delta = 0 \quad (1) \\ \frac{d(rF_{12})}{d\psi} + \delta F_{12} \cos \psi + F_2 r \delta = 0 \quad (2) \quad (I) \\ rF_1 + \delta F_2 \sin \psi - P_3 r \delta = 0 \quad (3) \end{array} \right.$$

L'équation (2') est une équation différentielle linéaire qui permet de calculer  $F_{12}$ , (2') peut se mettre sous la forme :

$$\frac{d(r^2 F_{12})}{d\psi} = -P_2 r^2 \delta \quad ; \quad F_{12} = -\frac{1}{r^2} \int_0^{\psi} P_2(\psi') r^2(\psi') \delta(\psi') d\psi'.$$

Si la densité de force possède la symétrie de révolution donc :  $P_2 = 0$ ,  $P_1$  et  $P_3$  ne dépend pas de  $\theta$ , d'où  $F_{12} = 0$  et l'équation (I') devient :

$$\left\{ \begin{array}{l} \frac{d(rF_1)}{d\psi} - \delta F_2 \cos \psi + P_1 r \delta = 0 \quad (I') \\ rF_1 + \delta F_2 \sin \psi - P_3 r \delta = 0 \end{array} \right.$$

en éliminant  $F_2$  entre ces 2 équations on aura :

$$\sin \psi \frac{d(rF_1)}{d\psi} + rF_1 \cos \psi + (P_1 \sin \psi - P_3 \cos \psi) r \delta = 0$$

que l'on peut écrire :  $\frac{d(rF_1 \sin \psi)}{d\psi} = (P_3 \cos \psi - P_1 \sin \psi) r \delta$ .

Son intégration se ramène donc à une quadrature et pour un voile ayant un sommet  $\delta$  sur l'axe de révolution

$$F_1 = \frac{1}{r_1 \sin \psi} \int_0^{\psi} [P_3(\psi') \cos \psi' - P_1(\psi') \sin \psi'] r(\psi') \delta(\psi') d\psi' \quad (4)$$

Le poids propre de densité  $\delta$  par unité de surface du voile :

Les composantes de  $\delta$  sont :  $P_1 = p \sin \psi$ ,  $P_2 = 0$ ,  $P_3 = -p \cos \psi$ .

### Cas particulier :

#### Coupole à pointe :

La coupole représentée sur la fig(IV) est engendrée par un arc de cercle SA de rayon R dont le centre à la distance a de l'axe de révolution OZ, l'angle  $\alpha$  varie de  $\alpha \in [0, \frac{\pi}{2}]$  et nous avons :  $\sin \alpha = \frac{a}{R}$ ,  $r = R(\sin \alpha - \sin \alpha)$   
Les rayons de courbures principaux sont :  
 $R_1 = S = R$ ,  $R_2 = \frac{r}{\sin \alpha}$

Le poids de densité  $p$  donne une tension  $F_1$  que l'on calcule au moyen de la formule (4) :

$$F_1 = - \frac{pR^2}{r \sin \alpha} \int_{0}^{\alpha} (\sin \alpha - \sin \alpha) d\alpha$$

après calcul de l'intégrale :  $F_1 = - \frac{pR(\cos \alpha - \cos 0) - (\alpha - 0) \sin \alpha}{\sin \alpha (\sin \alpha - \sin 0)}$

L'équation (I') donne  $F_2$  on remplace  $F_1$  par sa valeur

$$F_2 = - \frac{pR}{\sin^2 \alpha} \left[ (\alpha - 0) \sin \alpha - (\cos \alpha - \cos 0) + \sin \alpha \cos \alpha (\sin \alpha - \sin 0) \right]$$

au sommet S ( $\alpha = \alpha$ ) de la coupole  $F_1$  et  $F_2$  sont nuls.

### Application numérique :

$$p = G + 1,2S \quad , \quad S = 80 \text{ kg/m}^2 \text{ (personne)} ; \quad G = 0,12 \times 2500 = 300 \text{ kg/m}^2 \\ \text{en deduit : } 50 \text{ kg/m}^2 \quad , \quad p = 446 \text{ kg/m}^2 \quad , \quad R = 3,20 \text{ m.} \quad a = 0,85 \text{ m.} \quad \alpha = 15,36^\circ$$

$\alpha^\circ$	$\cos \alpha$	$\sin \alpha$	$p (\text{kg/m}^2)$	$R (\text{m})$	$F_1 (\text{kg})$	$F_2 (\text{kg})$
15,36	0,964	0,264	446	3,20	0	0
20	0,939	0,342	446	3,20	-195,6	-261,035
30	0,866	0,5	446	3,20	-370,78	-408,36
40	0,766	0,642	446	3,20	-497,86	-350,54
50	0,642	0,766	446	3,20	-603,70	-204,83
60	0,50	0,866	446	3,20	-708,09	-3,82
60,05	0,499	0,866	446	3,20	-707,07	0
70	0,342	0,939	446	3,20	-832,02	+249,09
80	0,173	0,984	446	3,20	-990,01	+292,96
90	0	1	446	3,20	-1202,2	+885,8

## FERRAILLAGE DE LA COUPOLE:

$F_2 = 415,2 \text{ Kg/ml}$  effort de traction

$$A = \frac{F_2}{\bar{\sigma}_a}, \text{ on utilise des aciers doux FeE 24, } \bar{\sigma}_a = 2400 \text{ Kg/cm}^2$$

$$\bar{\sigma}_e = \frac{2}{3} \bar{\sigma}_a = 1600 \text{ Kg/cm}^2 \rightarrow A = 0,259 \text{ cm}^2/\text{ml}$$

cette quantité est pratiquement faible, alors on prend

$S\phi 6 = 1,41 \text{ cm}^2$  espacé de 20cm. Dans le sens des

meridians, pratiquement, nous n'avons pas besoins d'armatures

car les efforts sont de compression, mais on met des armatures de répartition  $S\phi 6/\text{ml}$

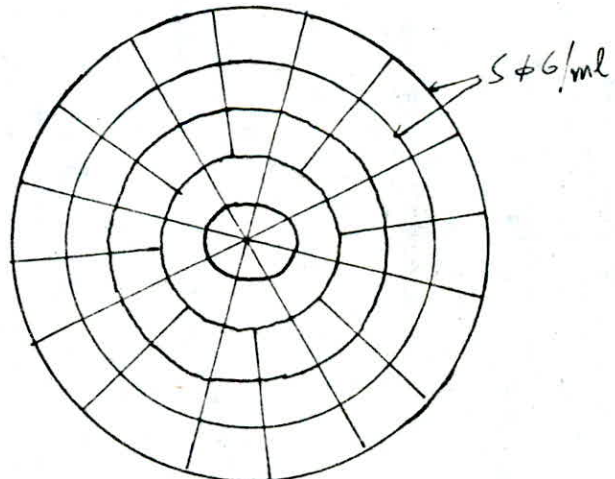
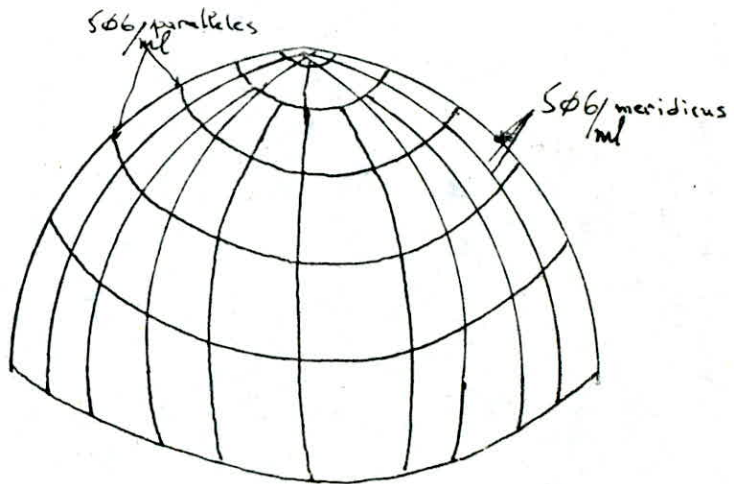
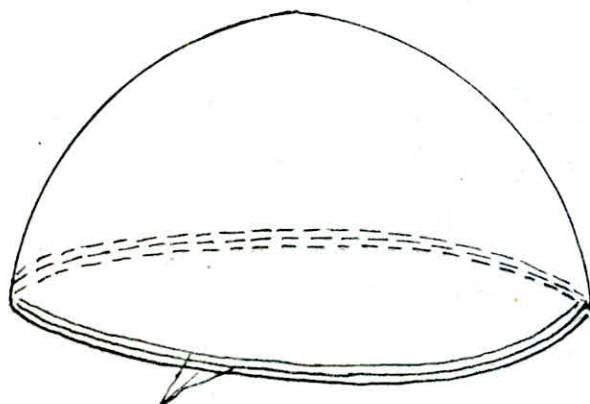
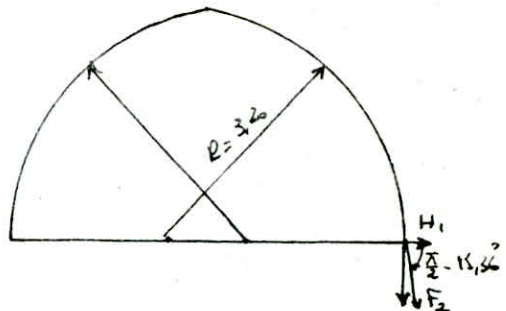
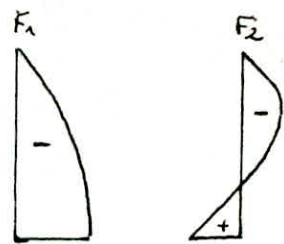
Pour la ceinture :

$$H_1 = F_2 \cos\left(\frac{\pi}{2} - 15,36^\circ\right) = 1202,2 \cdot \cos 74,64 = 318,44 \text{ Kg/ml}$$

$$H = H_1 \cdot r = 318,44 \cdot 2,4 = 764,16 \text{ Kg.}$$

$$\text{d'où : } A = \frac{764,16}{1600} = 0,47 \text{ cm}^2. \rightarrow S\phi 12 = 3,39 \text{ cm}^2$$

Pour la force verticale, est équilibré par l'appui



## Calcul des déformations et déplacements:

La déformation du voile donne au point A un déplacement:  $\vec{AA'} = \vec{\delta A}$  dont les composantes suivant  $\vec{i}, \vec{j}, \vec{k}$  seront désignées par  $u, v, w$ .  
 $\vec{AA'} = AA' = u\vec{i} + v\vec{j} + w\vec{k}$  ... soit  $e_1$  est la dilatation suivant le méridien,  $e_2$  dilatation suivant la parallèle et  $g_{12}$  le glissement. L'angle initialement droit formé par la tangente au méridien et par la tangente à la parallèle devient après déformation  $(\frac{\pi}{2} - 2g_{12})$ . Nous avons en effet, en désignant par  $h$ , l'épaisseur du voile, par  $E$  le module de young et par  $\nu$  le coefficient de poisson :

$$\left\{ \begin{array}{l} e_1 = \frac{1}{Eh} (F_1 - \nu F_2) \\ e_2 = \frac{1}{Eh} (F_2 - \nu F_1) \\ 2g_{12} = \frac{2(1+\nu)}{Eh} F_{12} \end{array} \right. \quad (1)$$

Pour calculer les composantes  $u, v$  et  $w$  du déplacement d'un point A du voile. Nous devons exprimer  $e_1$  et  $e_2$  en fonction de  $u, v$  et  $w$ . Considérons en A, deux éléments d'arc infiniment petits  $\vec{AB}$  et  $\vec{Ac}$  respectivement dirigés suivant le méridien et suivant la parallèle.

$$\vec{AB} = \beta d\alpha \vec{i} \quad , \quad \vec{Ac} = r d\theta \vec{j}$$

Après déformation A, B, C deviennent en  $A', B', C'$  tel que:

$$\vec{AA'} = u\vec{i} + v\vec{j} + w\vec{k} \quad , \quad \vec{BB'} = \vec{AA'} + \frac{\partial}{\partial \alpha} (u\vec{i} + v\vec{j} + w\vec{k}) d\alpha$$

$$\vec{CC'} = \vec{AA'} + \frac{\partial}{\partial \theta} (u\vec{i} + v\vec{j} + w\vec{k}) d\theta \quad , \quad \text{nous avons ensuite}$$

$$\vec{AB'} = \vec{AB} + \vec{BB'} - \vec{AA'} \quad ; \quad \vec{A'C'} = \vec{Ac} + \vec{CC'} - \vec{AA'}$$

$$\vec{A'B'} = \beta d\alpha \vec{i} + \frac{\partial}{\partial \alpha} (u\vec{i} + v\vec{j} + w\vec{k}) d\alpha \quad , \quad \vec{A'C'} = r d\theta \vec{j} + \frac{\partial}{\partial \theta} (u\vec{i} + v\vec{j} + w\vec{k}) d\theta$$

effectuons les dérivations en tenant compte des relations (W) de la 1<sup>re</sup> partie (théorie de membrane)

$$\vec{A'B'} = (\beta + \frac{\partial u}{\partial \alpha} + w) \vec{i} d\alpha + \frac{\partial v}{\partial \alpha} \vec{j} d\alpha + (\frac{\partial w}{\partial \alpha} - u) \vec{k} d\alpha$$

$$\vec{A'C'} = (\frac{\partial u}{\partial \theta} - v \cos(\alpha)) \vec{i} d\theta + (r + \frac{\partial v}{\partial \theta} + u \cos(\alpha) + w \sin(\alpha)) \vec{j} d\theta + (\frac{\partial w}{\partial \theta} - \sin(\alpha)) \vec{k} d\theta$$

en portant les valeurs précédentes de  $\vec{A'B'}$  et  $\vec{A'C'}$  dans les expressions de  $e_1, e_2, g_{12}$

$$e_1 = \frac{\vec{A'B'} - \vec{AB}}{\|\vec{A'B'}\|} \vec{i} \quad ; \quad e_2 = \frac{\vec{A'C'} - \vec{Ac}}{\|\vec{A'C'}\|} \vec{j} \quad ; \quad 2g_{12} = \frac{\vec{AB} \cdot \vec{Ac}}{\|\vec{AB}\| + \|\vec{Ac}\|}$$

Nous obtenons les équations aux dérivées partielles vérifiées par les composantes du déplacement

$$\left\{ \begin{array}{l} e_1 = \frac{1}{S} \left( \frac{\partial u}{\partial \varphi} + \omega \right) \\ e_2 = \frac{1}{r} \left( \frac{\partial v}{\partial \theta} + u \cos \varphi + v \sin \varphi \right) \\ 2q_{12} = \frac{1}{r} \frac{\partial u}{\partial \theta} + \frac{1}{S} \frac{\partial v}{\partial \varphi} - \frac{v}{r} \cos \varphi \end{array} \right. \quad (2)$$

Lorsque la densité de force ne dépendant pas de  $\theta$  et lorsqu'elle possède une symétrie de révolution. Alors  $P_2 = 0$ ,  $P_1$  et  $P_3$  ne dépendent pas de  $\theta$  alors:  $F_{12} = 0$  en résulte que  $q_{12} = 0$  et par suite  $v$  est nulle

$$\left\{ \begin{array}{l} e_1 = \frac{1}{S} \left( \frac{\partial u}{\partial \varphi} + \omega \right) \\ e_2 = \frac{1}{r} (u \cos \varphi + v \sin \varphi) \quad , \quad q_{12} = 0 \end{array} \right.$$

$$\sin \varphi \frac{du}{d\varphi} - u \cos \varphi = S e_1 \sin \varphi - r e_2 \text{ , et } u = \sin \varphi \left[ c + \int \frac{S e_1 \sin \varphi - r e_2}{\sin \varphi} d\varphi \right]$$

$$u = \sin \varphi \left[ c - \frac{(1+\gamma) PR^2}{Eh} \left( \ln \left( 1 + \cos \varphi - \frac{1}{1 + \cos \varphi} \right) \right) \right] = \sin \varphi \left[ c - \frac{(1+\gamma) PR^2 (1 - \cos \varphi)}{Eh} \right]$$

$$u = \frac{1+\gamma}{Eh} PR^2 (\cos \varphi - \cos \alpha) \sin \varphi \quad , \quad \omega = R e_2 - u \alpha \cos \varphi$$

Application:  $h = 0,12 \text{ m}$ ,  $E = 3,81 \cdot 10^5 \text{ kg/cm}^2$ ,  $R = 3,20 \text{ m}$ ,  $\gamma = 0,15$ ,  $p = 0,446 \text{ t/m}^2$

$\varphi$	$F_1$ kg/m	$F_2$ kg/m	$e_1$ m	$e_2$ m	$u$	$w$	$\delta_A$
15,36	0	0	0	0	0	0	-
20	-195,6	-261,03	$3,42 \cdot 10^{-3}$	$5,06 \cdot 10^{-3}$	$9,93 \cdot 10^{-3}$	0,027	0,027
30	-370,78	-136,12	$7,66 \cdot 10^{-3}$	$1,36 \cdot 10^{-3}$	$5,44 \cdot 10^{-2}$	0,097	0,097
40	-493,86	-350,54	$9,73 \cdot 10^{-3}$	$6,34 \cdot 10^{-3}$	0,1464	0,174	0,174
50	-603,70	-204,83	$12,5 \cdot 10^{-3}$	$2,49 \cdot 10^{-3}$	0,2829	0,2370	0,2829
60	-708,09	-3,82	$15,42 \cdot 10^{-3}$	$2,24 \cdot 10^{-3}$	0,4619	0,2667	0,4619
60,05	-710,2	0	$15,46 \cdot 10^{-3}$	$2,32 \cdot 10^{-3}$	0,4628	0,2667	0,4628
70	-832,02	+249,09	$19,01 \cdot 10^{-3}$	$8,17 \cdot 10^{-3}$	0,6717	0,2449	0,6717
80	-990,01	+292,96	$22,6 \cdot 10^{-3}$	$9,65 \cdot 10^{-3}$	0,8944	0,157	0,8944
90	-1202,2	+885,8	$25,19 \cdot 10^{-3}$	$23,37 \cdot 10^{-3}$	1,1077	0,0074	1,1077

2<sup>e</sup> PARTIE

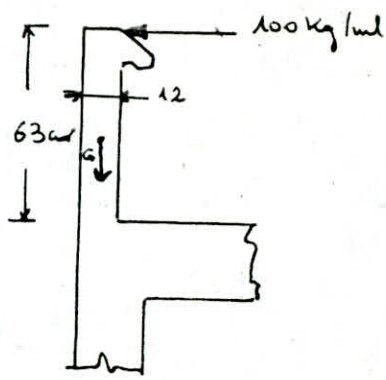
**BUTIMENT**

## Calcul de l'Acrotère :

### Dimensionnement :

$$\begin{array}{ll} \text{Epaisseur} & = 12 \text{ cm} \\ \text{Largeur} & = 100 \text{ cm} \\ \text{Hauteur} & = 63 \text{ cm} \end{array}$$

L'acrotère est assimilé à une console encastrée dans le plancher terrasse. La section dangereuse est où l'enca斯特rement, on distingue les efforts suivants  
 - Poids propre :  $G = 0,12 \cdot 0,63 \cdot 1 \cdot 2500 = 189 \text{ Kg/mel}$   
 - Surcharge :  $S = 100 \text{ Kg/mel}$  (main courante)  
 On fera le calcul pour un mètre linéaire d'Acrotère.  
 On considère une section rectangulaire ( $100 \times 12$ ) soumise à la flexion composée



$$\text{EFFort normal } N = G = 189 \text{ Kg/mel.}$$

$$\text{moment fléchissant } M = 1,2 \cdot 100 \cdot 0,63 = 75,6 \text{ Kg.m/mel.}$$

Le calcul se fera en flexion composée,  
 On utilisera, la méthode de Pierre Charron.

$$e_o = \frac{M}{N} = \frac{75,6}{189} = 0,4 \text{ m} \Rightarrow e_o = 40 \text{ cm.}$$

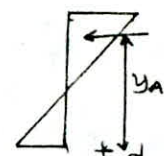
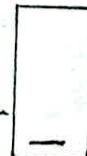
$$\frac{ht}{6} = \frac{12}{6} = 2 \text{ cm} \Rightarrow e_o \geq \frac{ht}{6} \Rightarrow \text{la section est partiellement comprimée}$$

Moment par rapport aux aciers tendus :

$$M_A = N \cdot y_A$$

$y_A$ : distance entre les aciers tendus et le centre de pression

$$y_A = e_o + \left( \frac{ht}{2} - d \right) = 40 + \left( \frac{12}{2} - 2 \right) = 44 \text{ cm.}$$



$$\rightarrow M_A = 189 \cdot 44 = 8316 \text{ Kg.cm/mel}$$

$$\text{moment résistant du béton } M_{rb} : M_{rb} = b \cdot \frac{\bar{\delta}_{b'}}{2} \cdot y \left( h - \frac{y}{3} \right)$$

avec :

$$y = \frac{n \bar{\delta}_{b'}}{n \bar{\delta}_{b'} + \bar{\delta}_a} \cdot h \quad , \quad n = 15$$

$$\bar{\delta}_{b'} = 137 \text{ Kg/cm}^2$$

$$\bar{\delta}_a = 2800 \text{ Kg/cm}^2$$

$$h = 12 - 2 = 10 \text{ cm.}$$

$$\rightarrow y = \frac{15 \cdot 137}{15 \cdot 137 + 2800} \cdot 10 = 4,23 \text{ cm.}$$

$$\rightarrow M_{rb} = 100 \cdot \frac{1}{2} \cdot 137 \cdot 4,23 \left( 10 - \frac{4,23}{3} \right)$$

$$M_{rb} = 248899 \text{ Kg.cm/mel.}$$

donc :  $M_{rb} = 248899 \text{ Kg.cm/mel} \gg M_A = 8316 \text{ Kg.cm/mel}$ , donc les aciers comprimés ne sont pas nécessaires.

## Determination des Aciers tendus :

On calcule la section en flexion simple sous l'effet du moment  $M_A$  (par rapport aux aciers tendus), l'effet puit on déduit la section en flexion Composée

$$M = \frac{15 M_A}{\bar{\sigma}_a \cdot b \cdot h^2} = \frac{15 \cdot 8316}{2800 \cdot 100 \cdot 10^2} = 0,004455 \rightarrow K = 150, \quad \epsilon = 0,9697$$

$$A_1 = \frac{M_A}{\bar{\sigma}_a \cdot \epsilon \cdot b} = \frac{8316}{2800 \cdot 0,9697 \cdot 10} = 0,306 \text{ cm}^2/\text{ml}$$

$$\text{En flexion Composée: } A'_1 = A'_2 = 0, \quad A = A_1 - \frac{N}{\bar{\sigma}_a} = 0,306 - \frac{189}{2800} = 0,2385 \text{ cm}^2/\text{ml}$$

- vérification avec la condition de non fragilité (CCBA 68 Art 5.2)

$$A \geq 0,69 b h \frac{\bar{\sigma}_t}{\bar{\sigma}_{en}} = 0,69 \cdot 100 \cdot 10 \cdot \frac{5,9}{4200} = 0,97 \text{ cm}^2$$

donc il faut que  $A$  soit  $\geq 0,97 \text{ cm}^2$ .

nous on adoptera ST6 par mètre linéaire ( $A = 1,41 \text{ cm}^2/\text{ml}$ ), avec espacement 20mm

- vérification à la contrainte de béton:

$$\bar{\sigma}_b' = \frac{\bar{\sigma}_a}{K} = \frac{2800}{150} = 18,67 \ll \bar{\sigma}_b' \rightarrow \text{vérifié}$$

- vérification à la fissuration:

$$\bar{w}_f = \frac{A}{B_f} = \frac{A}{2d \cdot b} = \frac{1,41}{100 \cdot 2 \cdot 2} = 0,00352$$

$$K_f = 10^6$$

fissuration préjudiciable

$$\gamma = 1,6$$

Acier H.A.

$$\phi = 6 \text{ mm.}$$

$$\bar{\sigma}_1 = \frac{K_f \bar{w}_f}{\phi(1+10\bar{w}_f)} = \frac{10^6 \cdot 1,6 \cdot 0,00352}{6(1+10 \cdot 0,00352)} = 907 \text{ bars.}$$

$$\bar{\sigma}_2 = 2,4 \sqrt{\frac{K_f}{\phi} \frac{\bar{\sigma}_a}{\bar{\sigma}_b}} = 2,4 \sqrt{\frac{1,6 \cdot 10^6}{6} \cdot 5,8} = 2984,8 \text{ bars.}$$

$$\bar{\sigma}_a = \min \left\{ \max(\bar{\sigma}_1, \bar{\sigma}_2) = 2984,8 \text{ bars} = 3044,5 \text{ kg/cm}^2, \bar{\sigma}_a = 2800 \text{ kg/cm}^2. \right.$$

La condition de fissuration est vérifiée

- vérification à l'effort tranchant:

$$A \cdot \bar{\sigma}_a \geq T - \frac{M}{Z} = 120 - \frac{8316}{\frac{7}{8} \cdot 10}, \quad T - \frac{M}{Z} < 0$$

$$\text{d'où } A \bar{\sigma}_a > T - \frac{M}{Z}$$

donc les armatures ne sont soumises à aucun effort de traction supplémentaires.

## POUTRELLES.

### Poutrelles planchers terrasses:

Dans notre cas on a un seul type de poutrelles plancher terrasse. Ce plancher est constitué de poutrelles préfabriquées associées aux corps creux ( $20 + 5\text{cm}$ ), avec  $5\text{cm}$  représentant l'épaisseur de la table de compression.

Les poutrelles préfabriquées sont disposées dans le sens longitudinal des blocs. Ces poutrelles sont calculées sous la sollicitation du 1<sup>er</sup> genre  $G + 1,2P$  et le calcul se fait en 2 parties

1<sup>re</sup> étape :

Avant le coulage de la table de compression, la poutrelle est considérée comme simplement appuyée. Elle supportera son poids propre, le hourdis et la surcharge due à l'ouvrier qui pose le hourdis.

2<sup>me</sup> étape : Calcul de la poutrelle finie travaillant comme une poutre en T reposant sur 6 appuis

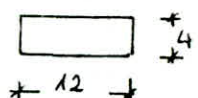
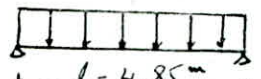
1<sup>re</sup> étape : schéma statique

charge supportée par la poutrelle

$$\cdot \text{poids propre} : 0,12 \cdot 0,04 \cdot 2500 = 12 \text{kg/m}$$

$$\cdot \text{Corps creux} : 0,65 \cdot 95 = 62 \text{kg/m}$$

$$\cdot \text{Surcharge} : 1,2 \times 100 \cdot 0,65 = 78 \text{kg/m}$$



$$q_f = 152 \text{ kg/m}$$

moment en tranché :

$$M_0 = q_f \frac{l^2}{8} = 152 \cdot \frac{(4,85)^2}{8} = 447 \text{ kg.m}$$

$$\text{Effort tranchant max: } T = q_f \frac{l}{2} = 152 \cdot \frac{4,85}{2} = 369 \text{ kg}$$

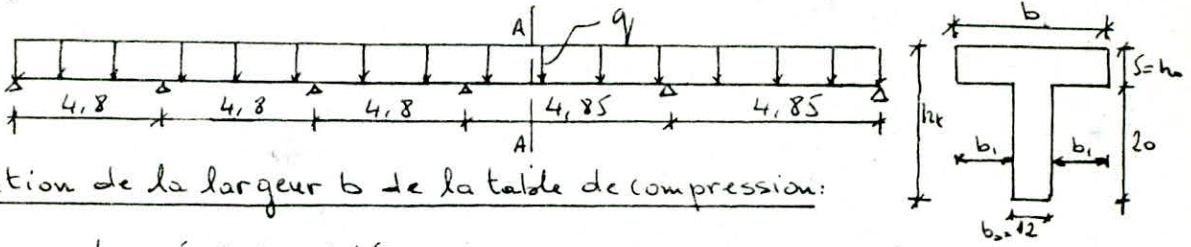
Determination des armatures : (enrobage 2cm)

$$K = \frac{15M}{\overline{\delta}_{ab} b h^2} = \frac{15 \cdot 447 \cdot 10^2}{2800 \cdot 12 \cdot 22} = 4,988 \rightarrow K = 0,9$$

$$\bar{K} = \frac{\overline{\delta}_a}{\overline{\delta}_b} = \frac{2800}{137} = 20,43 > K = 0,9$$

En Conclusion:  $K < \bar{K}$  donc les armatures comprimées sont donc nécessaires, or il est impossible de placer des armatures du fait que la section du béton est trop faible. Il est donc nécessaire de prévoir un échafaudage pour aider la poutrelle à supporter les charges avant le coulage de la table de compression.

2<sup>e</sup> etape :



Determination de la largeur  $b$  de la table de compression:

La section en travée à considérer est une section en Té. On se réfère à l'article 23.31 du CCBA

$$h_0 = 5\text{cm} \quad b_0 = 12\text{cm}$$

$$b_1 = \frac{b - b_0}{2} \leq \frac{l}{2}$$

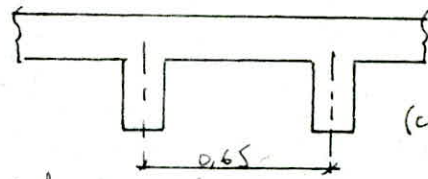
$l$ : distance entre 2 faces voisines de 2 nervures consécutives,

$$l = 65 - 12 = 53\text{cm}$$

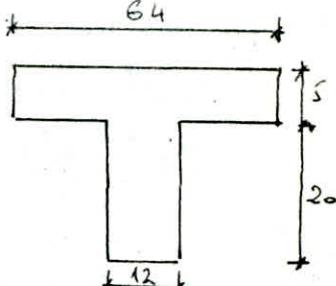
$$b_1 \leq \frac{53}{2} = 26,5\text{cm}$$

$$b_1 = \frac{b - b_0}{2} \leq \frac{L}{10} = \frac{4,85}{10} = 48,5\text{cm}$$

$$b_1 = \frac{b - b_0}{2} \leq (6 \div 8) h_0 \quad , \quad b_1 \leq (30 \div 40\text{cm})$$



(coupe A-A)



La valeur de  $b_1$  étant limitée à la plus petite des valeurs précédentes on aura:

$$b_1 = \frac{b - b_0}{2} = 26\text{cm} \quad , \quad \text{d'où} \quad b = 2b_1 + b_0 = 64\text{cm}$$

Determination des efforts agissant sur les poutrelles:

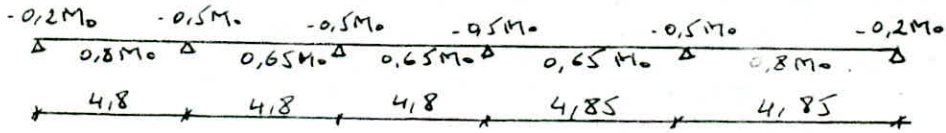
Le plancher est à charge modérée, on peut utiliser la méthode parfaite (C.C.B.A. Art 55)

Si on appelle  $M_0$  le moment isostatique en travée on aura:

$$M_0 = \frac{q l^2}{8} \quad , \quad q = 0,423 \text{ t/ml.} \quad , \quad M_0 = 0,423 \cdot \frac{(4,85)^2}{8} = 1,358 \text{ t.m.}$$

et on va repartir de telle façon à vérifier que:

$$M_i = M_{tr} + \left| \frac{M_{i-1} + M_i}{2} \right| \geq 1,15 M_0$$



Les moments maximaux qui servent pour le calcul du ferrailage

$$\left\{ \begin{array}{l} M_k = 0,8 M_0 = 1,086 \text{ t.m.} \\ M_a = -0,5 M_0 = -0,6792 \text{ t.m.} \end{array} \right.$$

$$M_0 = 1,358 \text{ t.m.}$$

et l'effort tranchant max :

$$T_{\max} = q \frac{l}{2} + \frac{0,5M_0 - 0,2M_0}{l} = \frac{4,85}{2} + 0,3 \cdot \frac{1,358}{4,85} = 1,2043 t.$$

Ferraillage : (méthode de pierre charbon)

a) Armatures longitudinales:

- en travée :  $M_t = 1,086 t.m.$ ,  $\mu = \frac{15M}{\bar{\sigma}_a b h^2} = \frac{15 \cdot 1,086 \cdot 10^5}{2800 \cdot 64 \cdot 23^2} = 0,01718$

$$K = 71,5, \alpha = 0,1734, \varepsilon = 0,9422$$

$y = \alpha h = 0,1734 \cdot 23 = 3,988 \text{ cm} < h_0 = 5 \text{ cm}$ . , l'axe neutre tombe dans la table de compression et on calculera comme une section rectangulaire ( $b, h$ ) = (64 cm, 25 cm)

$$\bar{\sigma}_{b'} = \frac{\bar{\sigma}_a}{K} = \frac{2800}{71,5} = 39,16 \text{ kg/cm}^2 < \bar{\sigma}_b \rightarrow \text{vérifier.}$$

$$A = \frac{M_t}{\bar{\sigma}_a \cdot \varepsilon \cdot h} = \frac{1,086 \cdot 10^5}{2800 \cdot 0,9422 \cdot 23} = 1,78 \text{ cm}^2. \quad \text{on prendra } 2T12 = 2,26 \text{ cm}^2.$$

- sur appui :

$$\mu = \frac{15 \cdot 0,6792 \cdot 10^5}{2800 \cdot 12 \cdot 23^2} = 0,0573 \rightarrow \left\{ \begin{array}{l} K = 35,2 \\ \alpha = 0,2988 \\ \varepsilon = 0,9004 \end{array} \right.$$

$$\bar{\sigma}_{b'} = \frac{\bar{\sigma}_a}{K} = \frac{2800}{35,2} = 79,54 \text{ kg/cm}^2 \rightarrow A' = 0$$

$$A = \frac{0,6792 \cdot 10^5}{2800 \cdot 0,9004 \cdot 23} = 1,17 \text{ cm}^2. \quad \text{on prendra } 1T14 = 1,54 \text{ cm}^2.$$

Vérification:

1) Contraintes:

\* travée :  $\bar{\sigma} = \frac{100 \cdot A}{b \cdot h} = \frac{2,26 \cdot 100}{64 \cdot 23} = 0,1535 \rightarrow K = 63; \varepsilon = 0,9359$

$$\bar{\sigma}_a = \frac{M}{A \cdot \varepsilon \cdot h} = \frac{1,086 \cdot 10^5}{2,26 \cdot 0,9359 \cdot 23} = 2232 \text{ kg/cm}^2 < \bar{\sigma}_a = 2800 \text{ kg/cm}^2 \rightarrow \text{vérifié}$$

$$\bar{\sigma}_{b'} = \frac{\bar{\sigma}_a}{K} = \frac{2232}{63} = 35,43 \text{ kg/cm}^2 < \bar{\sigma}_b \rightarrow \text{vérifié.}$$

\* Appuis:

$$\bar{W} = \frac{100 \cdot A}{b \cdot h} = \frac{100 \cdot 1,54}{12 \cdot 23} = 0,5579 \rightarrow \left\{ \begin{array}{l} K = 29,9 \\ \varepsilon = 0,8886 \end{array} \right.$$

$$\bar{\sigma}_a = \frac{0,6792 \cdot 10^5}{1,54 \cdot 0,8886 \cdot 23} = 2158 \text{ kg/cm}^2 < \bar{\sigma}_a \rightarrow \text{vérifié}$$

$$\bar{\sigma}_{b'} = \frac{\bar{\sigma}_a}{K} = \frac{2158}{29,9} = 72,17 \text{ kg/cm}^2 < \bar{\sigma}_b \rightarrow \text{vérifié.}$$

2) Condition de non fragilité:

$$A \geq 0,69 b h \frac{\bar{\sigma}_b}{\bar{\sigma}_a}$$

\* en travée :  $A_t = 2,26 \text{ cm}^2 > 0,69 \cdot 64 \cdot 23 \cdot \frac{5,9}{4200} = 1,427 \text{ cm}^2 \rightarrow \text{vérifié}$

\* en Appui :  $A_{ap} = 1,54 \text{ cm}^2 > 0,69 \cdot 12 \cdot 23 \cdot \frac{5,9}{4200} = 0,26 \text{ cm}^2 \rightarrow \text{vérifié.}$

### 3) Condition de la flèche :

$$*\frac{h_t}{l} \geq \frac{M_t}{15M_0} \longrightarrow \frac{25}{460} = 0,054 \geq \frac{0,8M_0}{15M_0} = \frac{0,8}{15} = 0,053$$

$$*\frac{A}{bh} < \frac{3c}{5e_m} \longrightarrow \frac{2,26}{12 \cdot 23} = 8,188 \cdot 10^{-3} < \frac{3c}{4200} = 8,57 \cdot 10^{-3}$$

$$*\frac{h_t}{l} > \frac{1}{22,5} \longrightarrow \frac{25}{460} = 0,054 \geq 0,044$$

donc Aucune justification de la flèche n'est nécessaire.

### 4) Vérification d'effissurisation :

La condition de fissuration impose une limite à la contrainte admissible de l'acier, cette limite étant le max de ( $\sigma_1, \sigma_2$ ), l'autre limite est imposée par les caractéristiques de l'acier  $\sigma_2$ .

$$\text{On prendra } \bar{\sigma}_{af} = \min \left\{ \frac{\max(\sigma_1, \sigma_2)}{\bar{\sigma}_a} \right\}$$

$$\hat{w}_f = \frac{A}{B_f} = \frac{2,26}{12 \cdot 4} = 0,04708$$

$$\phi = 12 \text{ mm}$$

$$n = 1,6$$

$$\frac{K}{\sigma_b} = 1,5 \cdot 10^6 \text{ fissuration peu nuisible.}$$

$$\sigma_b = 5,9 \text{ kg/cm}^2$$

$$\sigma_1 = \frac{Kn}{\phi} \frac{\hat{w}_f}{1 + 10\hat{w}_f} = \frac{1,5 \cdot 10^6 \cdot 1,6}{12} \cdot \frac{0,04708}{1,4708} = 6402 \text{ kg/cm}^2$$

$$\sigma_2 = 2,4 \sqrt{\frac{Kn}{\phi} \frac{1}{\sigma_b}} = 2043 \text{ kg/cm}^2$$

donc :

$$\bar{\sigma}_{af} = \min \left\{ \frac{\max\{6402, 2043\}}{\bar{\sigma}_a} = 6402, \frac{\bar{\sigma}_a}{2800} = 2800 \right\} \Rightarrow \bar{\sigma}_{af} = 2800 \text{ kg/cm}^2$$

pas de risque de fissuration

### 5) Vérification de l'adhérence : (Art 29 BA68)

$$\text{On doit vérifier } \gamma_d \leq \bar{\gamma}_d$$

$\gamma_d$  : coef de scellement droit

$\gamma_d = 1,5$  pour barre H.A.

$\sigma_b = 5,9 \text{ kg/cm}^2$

On calculera  $\gamma_d$  pour l'effort tranchant max

$$T_{\max} = 1204,35 \text{ kg}, \quad \gamma_d = \frac{T}{n.p.z}$$

$$z = \frac{7}{8} h = \frac{7}{8} \cdot 23 = 20,125 \text{ cm.}$$

$$\bar{Z}_d = \frac{1204,35}{1,14 \cdot 20,125} = 13,60 \text{ Kg/cm}^2.$$

$$\text{et } \bar{Z}_d = 2 \cdot 4 \cdot \bar{\sigma}_b = 2 \cdot 1,5 \cdot 5,9 = 17,7 \text{ Kg/cm}^2.$$

$\bar{Z}_d < \bar{Z}_d'$ , donc pas de risque d'entrainement des barres.

### Calcul des armatures transversales : (Art 25. BA 68)

Les armatures transversales sont calculées pour l'effet de l'effort tranchant maximum,  $T_{max}$ . Les armatures transversales sont perpendiculaires à la ligne moyenne, pour cela on doit faire la vérification au cisaillement:

$$Z_b \leq 3,5 \bar{\sigma}_b \quad \text{si } \bar{\sigma}_b < \bar{\sigma}_{b_0}'$$

$$Z_b \leq (4,5 - \frac{\bar{\sigma}_b'}{\bar{\sigma}_{b_0}'}) \bar{\sigma}_b \quad \text{si } \bar{\sigma}_{b_0}' \leq \bar{\sigma}_b \leq (\bar{\sigma}_{b_0}' + 2 \bar{\sigma}_{b_0}')$$

$$\text{On a: } \bar{\sigma}_b' = 72,17 \text{ Kg/cm}^2 > \bar{\sigma}_{b_0}'$$

$$\text{donc } Z_b \leq (4,5 - \frac{\bar{\sigma}_b'}{\bar{\sigma}_{b_0}'}) \bar{\sigma}_b, \quad Z_b = \frac{T_{max}}{b \cdot z} = \frac{1204,35}{12 \cdot 20,125} = 4,987 \text{ Kg/cm}^2$$

$$\text{et } (4,5 - \frac{\bar{\sigma}_b'}{\bar{\sigma}_{b_0}'}) \bar{\sigma}_b = (4,5 - \frac{72,17}{68,5}) 5,9 = 20,33 \text{ Kg/cm}^2.$$

$$\text{donc } Z_b = 4,987 < 20,33 \text{ Kg/cm}^2 \rightarrow \text{vérifiée.}$$

Armatures constituées par des cadres droit suffisent, on choisit des cadres  $\phi 6$  FEE 24 (c'est à dire  $\bar{\sigma}_a = \frac{2}{3} \bar{\sigma}_{en} = 1600 \text{ Kg/cm}^2$ )  
1 cadre (2 brins)  $\phi 6 \Rightarrow A_t = 0,56 \text{ cm}^2$ .

### Ecartement des armatures transversales :

$$t = \frac{A_t \cdot 3 \bar{\sigma}_{at}}{T} = \frac{0,56 \cdot 20,125 \cdot 1600}{1204,35} = 14,97 \text{ cm.}$$

Cet écartement ne doit pas dépasser l'écartement admissible donné par CCBA 68 (Art 52. 12)

$$\bar{E} = \max \left\{ \begin{array}{l} t_1 = 0,2 h = 0,2 \cdot 23 = 4,6 \text{ cm.} \\ t_2 = \left(1 - \frac{0,3 Z_b}{\bar{\sigma}_b}\right) h = \left(1 - \frac{0,3 \cdot 4,987}{5,9}\right) \cdot 23 = 17,17 \text{ cm.} \end{array} \right.$$

$$\rightarrow \bar{E} = \max(t_1, t_2) = 17,17 \text{ cm.}, \text{ donc } t < \bar{E}$$

On prendra un écartement de 12 cm sur niveau des appuis

Le 1<sup>er</sup> cours d'armatures sera où  $\frac{t}{2} = 6\text{cm}$  du mur d'appui.  
Pour les autres espacements, on appliquera la suite de Caquot tout en respectant l'article 25.12 des C.C.B.A qui recommande que  $t \leq h = 23\text{cm}$  dans notre cas.

### Ferraillage de la table de Compression: Art 58.2 BA68

La table de compression sera armée par un treillis soudé Ø6  
Cependant les dimensions des mailles ne doivent pas dépasser:

- 20 cm pour les armatures b aux nervures.

- 33 cm ~ ~ ~ ~ ~ ~ ~ ~ ~ ~

On adoptera un treillis soudé de  $20 \times 20$  en Ø6 soit 5Ø6/cm qui donne une section  $A = 1,41\text{cm}^2$ .

$$\phi \leq 6\text{mm} \rightarrow 5\text{en} = 5300 \text{kg/cm}^2$$

$$A_b \text{ au nervure/maile} \geq \frac{43h}{5\text{en}} = \frac{43 \cdot 65}{5300} = 0,527\text{cm}^2$$

$$A_{// \text{nervures/maile}} \geq \frac{A_b}{2} = \frac{1,41}{2} = 0,705\text{cm}^2$$

$$\text{donc on a: } A_b = 1,41\text{cm}^2 > \frac{43 \cdot 65}{5\text{en}} = 0,527\text{cm}^2$$

$$A_{//} = 1,41\text{cm}^2 > \frac{A_b}{2} = 0,705\text{cm}^2$$

### Dalle flottante:

Le ferraillage de la dalle flottante est purement constructif,  
on adoptera du treillis soudé Ø6 de maille 15x15.

## PRÉDIMENSIONNEMENT

- Poutres:

$$\left. \begin{array}{l} b \geq 20 \text{ cm} \\ h_t \geq 30 \text{ cm} \end{array} \right\} \text{en Zone II.}$$

On prendra pour les poutres porteuses

$$b \times h_t = 25 \times 50$$

Pour les poutres non porteuses :  $25 \times 40$

- Poteaux:

Les dimensions des poteaux doivent satisfaire les conditions (RPA 81- Art 4.2.1)

$$A = b \cdot h \geq K \frac{N'}{\sigma_{28}} \quad (\sigma'_{28} = 275 \text{ kg/cm}^2) \quad K = 4, (\text{Zone II})$$

- Min (b, h)  $\geq 25 \text{ cm}$  (en zone II)

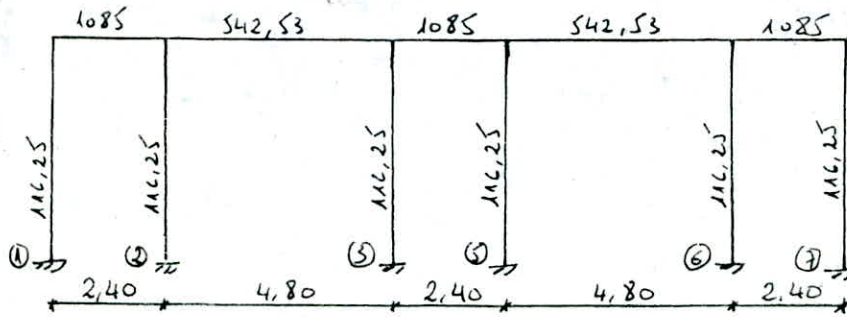
$$\min (b, h) \geq \frac{h}{20} \quad h: \text{hauteur d'étage}$$

$$\frac{1}{3} \leq \frac{b}{h} \leq 3$$

Après le calcul, on choisit des poteaux  $(25 \times 25 \text{ cm})$

## Calcul des rigidités :

BLOC de GAUCHE : I) Portique transversaux  
 A) G-G ; H-H ; I-I sont identiques



- Rigidité des poteaux et poutres :

$$I_{\text{Poteau}} = \frac{bh^3}{12} = \frac{25 \cdot 25^3}{12} = 32552 \text{ cm}^4; I_{\text{Poutre}} = \frac{25 \cdot 50^3}{12} = 260417 \text{ cm}^4$$

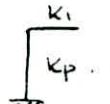
$$K_{1\text{poteau}} = \frac{I_{1\text{p}}}{l_1} = \frac{260417}{240} = 1085 \text{ cm}^3; K_{2\text{poteau}} = \frac{I_{2\text{p}}}{l_2} = \frac{260417}{480} = 542,53 \text{ cm}^3$$

$$K_p = \frac{I_{\text{Poteau}}}{h} = \frac{32552}{280} = 116,25$$

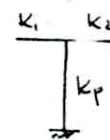
Calcul des coeff  $\bar{K}$  et du coeff de correction  $a_j$ :

$$\bar{K}_1 = \frac{K_1}{K_p} = \frac{1085}{116,25} = 9,33$$

$$a_{j_1} = \frac{0,5 + \bar{K}_1}{2 + \bar{K}_1} = 0,867$$



$$\bar{K}_2 = \frac{K_1 + K_2}{K_p} = \frac{1085 + 542,53}{116,25} = 14$$



$$a_{j_2} = \frac{0,5 + \bar{K}_2}{2 + \bar{K}} = 0,906$$

Pot	$\bar{K}$	$a_j$	$K_p = \frac{I}{h}$	$a_j K_p$	$D_j = \sum a_j K_p$	$R_j = \frac{12 E}{h^2} D_j$
1	9,333	0,867	116,25	100,79		
2	14	0,906	"	105,32		
3	14	0,906	"	"	$D_j = 622,86$	$R_j = 36369$
5	14	0,906	"	"		
6	14	0,906	"	"		
7	9,33	0,867	"	100,79		

B) Portique J-J : (même procédé de calcul)

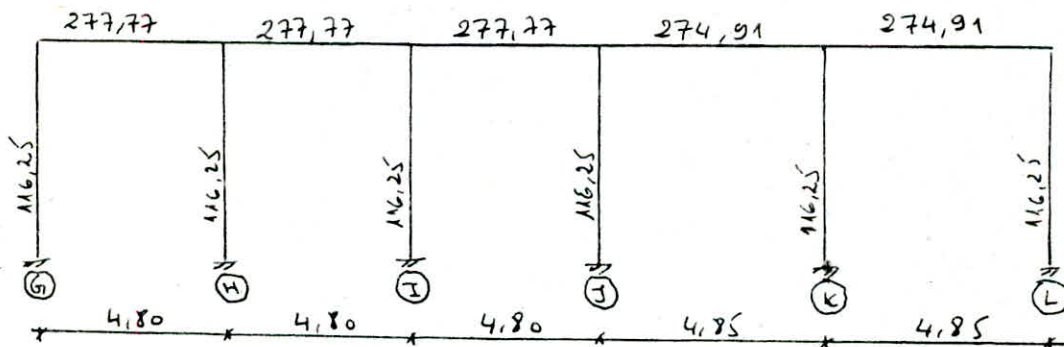
Pot	$\bar{K}$	$a_j$	$K_p$	$a_j K_p$	$D_j$	$R_j$
1	9,33	0,867	116,25	100,79		
2	14	0,906	=	105,32		
3	23,33	0,940	=	109,275		
4	37,33	0,962	=	111,83	742,6	43360
5	23,33	0,940	=	109,275		
6	14	0,906	=	105,32		
7	9,33	0,867	=	100,79		

c) Portiques K-K et L-L

Pot	$\bar{K}$	$a_j$	$K_p$	$a_j K_p$	$D_j$	$R_j$
2	3,733	0,738	116,25	85,79		
4	7,47	0,841	=	97,76		
6	13,06	0,900	=	104,625	373,965	21835,96
7	3,733	0,738	=	85,79		

## II) Portiques longitudinaux :

A) 2-2 ; 6-6 ; 7-7 sont identiques.



Pot	$\bar{K}$	$a_j$	$K_p$	$a_j K_p$	$D_j$	$R_j$
G	2,39	0,658	116,25	76,49		
H	4,78	0,778	=	90,44		
I	4,78	0,778	=	90,44		
J	4,75	0,778	=	90,44	514,4	30036
K	4,73	0,777	=	90,32		
L	2,36	0,656	=	76,26		

B) 1-1; 3-3; 5-5 :

Pot	$\bar{K}$	$a_j$	$K_p$	$a_j K_p$	$D_j$	$R_j$
G	2,39	0,658	116,25	76,49		
H	4,78	0,778	=	90,44		
I	4,78	0,778	=	90,44	333,86	19494
J	2,39	0,658	=	76,49		

c) 4-4

Pot	$\bar{K}$	$a_j$	$K_p$	$a_j K_p$	$D_j$	$R_j$
J	2,36	0,656	116,25	76,26		
K	4,73	0,777	116,25	90,32	242,84	14179
L	2,36	0,656	116,25	76,26		

## Determination du centre de masse et du centre de torsion :

1) Centre de masse:  $x_G = \frac{\sum x_i s_i}{\sum s_i} = 11,587$ ,  $y_G = \frac{\sum y_i s_i}{\sum s_i} = 8,837 \text{ m}$ .

### 2) Centre de torsion:

Les coordonnées du centre de torsion sont données par la formule du barycentre :

$$x_{Cj} = \frac{\sum_{\ell=1}^k R_{jy}^{(\ell)} x_j^{(\ell)}}{R_{jy}^{(t)}} \quad \text{et} \quad y_{Cj} = \frac{\sum_{\ell=1}^m R_{jx}^{(\ell)} y_j^{(\ell)}}{R_{jx}^{(t)}}, \quad R_{jx}^{(t)} = \sum_{\ell=1}^m R_{jx}^{(\ell)}$$

#### \* Rigidité relative:

- pous longitudinal  $\rightarrow R_{jx} = \sum_{\ell=1}^7 R_{jx}^{(\ell)}$  en (kg/cm)

- pous transversal  $\rightarrow R_{jy} = \sum_{S, H, I, K, L} R_{jy}^{(\ell)}$

longit:  $R_{jx} = 3 \times 30036 + 3 \times 19494 + 1 \times 14179 = 162769 \text{ kg/cm}$ .

transv:  $R_{jy} = 3 \times 36369 + 1 \times 43360 + 2 \times 21836 = 196139 \text{ kg/cm}$

#### \* Calcul de $\sum R_{jy} x_j$ et $\sum R_{jx} y_j$ .

- portiques transversaux:

Portique	G-G	H-H	I-I	J-J	K-K	L-L
$x_j$	0,0	4,8	9,6	14,4	19,25	24,1
$R_{jy}$	36369	36369	36369	43360	21836	21836
$x_j R_{jy}$	0,0	174571	349142	624384	420343	526248

$$\sum x_j R_{jy} = 2094688$$

- portiques longitudinaux:

Portique	1-1	2-2	3-3	4-4	5-5	6-6	7-7
$y_j$	0,0	2,4	7,2	8,4	9,6	14,4	16,8
$R_{jx}$	19494	30036	19494	14179	19494	30036	30036
$y_j R_{jx}$	0,0	72086	140357	119104	187142	432518	504605

$$\sum y_j R_{jx} = 1455812$$

Coordonnées du centre de torsion :

$$x_{c_j} = \frac{\sum x_j R_{jy}}{R_{jy}^e} = \frac{2094688}{196139} = 10,679 \text{ m} \quad e_x = |x_6 - x_c| = 0,908 \text{ m}$$

$$y_{c_j} = \frac{\sum y_j R_{jx}}{R_{jx}^e} = \frac{1455812}{162769} = 8,944 \text{ m} \quad e_y = |y_6 - y_c| = 0,107 \text{ m}$$

d'après RPA 81 :  $5\% l_x = \frac{5}{100} \cdot 24,05 = 1,2025 \text{ m.}$

$$5\% l_y = \frac{5}{100} \cdot 16,8 = 0,84 \text{ m.}$$

Calcul des coordonnées des portiques par rapport au centre de torsion :  
Portiques transversaux :

Portiques	G-G	H-H	I-I	J-J	K-K	L-L
X(m)	-10,67	-5,879	-1,079	+3,721	+8,571	+13,42

- Portiques longitudinaux :

Portiques	1-1	2-2	3-3	4-4	5-5	6-6	7-7
Y(m)	-8,944	-6,544	-1,744	-0,544	+0,656	+5,456	+7,856

- Calcul de la rigidité à la torsion :

$$R_{j\theta} = \sum_{G, H, I, J, K, L} R_{jy}^{(t)} (x_j^t)^2 + \sum_{I=1}^7 R_{jx}^{(t)} (y_j^t)^2$$

Portiques	G-G	H-H	I-I	J-J	K-K	L-L
x <sub>j</sub>	-10,679	-5,879	-1,079	+3,721	+8,571	+13,421
R <sub>jy</sub>	36369	36369	36369	43360	21836	21836
R <sub>jy</sub> x <sub>j</sub> <sup>2</sup>	4147558	1257009	42342	600356	1604117	3933171

$$\sum R_{jy} x_j^2 = 11584553$$

de même pour portiques longitudinaux.  $\sum R_{jx} y_j^2 = 5665395$

$$R_{j\theta} = 17249948 \cdot 10^4 \text{ kg/mm.}$$

## Bloc de droite :

I) Portiques transversaux : L'-L' ; M-M ; N-N ; O-O sont identiques

Pot	$\bar{K}$	$a_i$	$K_p$	$a_i K_p$	$D_j$	$R_j$
1	9,333	0,867	116,25	100,79		
2	14	0,906	116,25	105,32		
3	14	"	"	"	622,76	36369
5	14	"	"	"		
6	14	"	"	"		
7	9,333	0,867	116,25	100,79		

II) Portiques longitudinaux : 1-1 ; 2-2 ; 3-3 ; 5-5 ; 6-6 ; 7-7

Pot	$\bar{K}$	$a_i$	$K_p$	$a_i K_p$	$D_j$	$R_j$
L	2,39	0,658	116,25	76,49		
M	4,78	0,778	116,25	90,44		
N	4,78	0,778	116,25	90,44	333,86	19494
O	2,39	0,658	116,25	76,49		

i) Centre de masse :  $X_G = 7,2 \text{ m}$ ,  $Y_G = 8,4 \text{ m}$ ,  $\{e_x = 0,00 \text{ km}$

ii) Centre de torsion :  $X_{Cj} = 7,199 \text{ m}$ ,  $Y_{Cj} = 8,400 \text{ m}$ ,  $\{e_y = 0$

D'après RP181 :  $5\% I_x = \frac{5}{100} \cdot 14,4 = 0,72 \text{ m}$ .

$5\% I_y = \frac{5}{100} \cdot 16,8 = 0,84 \text{ m}$ ,  $e_x = e_y = 0,84 \text{ m}$ .

$$D_j = 8400412 \cdot 10^4 \text{ kg/cm}.$$

## ETUDE SISMIQUE

Tout bâtiment sera conçu et construit pour résister aux forces sismiques horizontales totales agissant non simultanément dans la direction de chacun des axes principaux de la structure conformément à la formule :

$$V = A \cdot B \cdot D \cdot Q \cdot W.$$

### Calcul du bloc de Gauche :

1) Coefficient A :  $\begin{cases} \text{groupe 1} \\ \text{zone II} \end{cases} \rightarrow A = 0,25$

2) Coefficient D :  $H = 4,05 \text{ m. } T = \frac{0,09 H}{\sqrt{L}}$

$$T_x = \frac{0,09 H_x}{\sqrt{L_x}} = \frac{0,09 \cdot 4,05}{\sqrt{24,05}} = 0,074 \text{ s} \rightarrow D_x = 2$$

$$T_y = \frac{0,09 H_y}{\sqrt{L_y}} = \frac{0,09 \cdot 4,05}{\sqrt{16,70}} = 0,088 \text{ s} \rightarrow D_y = 2$$

3) Coefficient B : portique autostable en béton armé  $B = 0,25$

4) Coefficient Q :  $Q = 1 + \sum_{q=1}^n P_q . \quad Q_x = 1,4 , \quad Q_y = 1,2$

Calcul de W :  $G = G_1 + G_2 . \quad G_2 : \text{coupe + dalle pleine + ponte similaire}$   
 $G_1 : \text{acrotice --- mur ext.}$

$$G_1 = 324,24 \text{ t. } G_2 = 19,836 \text{ t. } , G = 344,076 \text{ t.}$$

$$\frac{1}{5} P = 7,089 \text{ t. } \rightarrow W = G + \frac{1}{5} P = 351,165 \text{ t}$$

La force sismique V sera :  $V_x = A_x D_x B_x Q_x W = 61,45 \text{ t}$

$$V_y = A_y D_y B_y Q_y W = 52,67 \text{ t}$$

### Distribution des forces latérales :

Pens x  $T_x < 0,75 \rightarrow F_{tx} = 0 \rightarrow F_{tx} = V_x = 61,45 \text{ t.}$

Pens y  $T_y < 0,70 \rightarrow F_{ty} = 0 \rightarrow F_{ty} = V_y = 52,67 \text{ t}$

### Effort tranchant d'étage "j" $C_j$ :

$$C_j = \sum_{i=j}^n \text{ pour un bâtiment comportement } n \text{ étages}$$

- Pens longitudinal

Pens transversal

$$C_x = 61,45 \text{ t}$$

$$C_y = 52,67 \text{ t}$$

## Determination de l'effort de niveau $T_j$ revenant à chaque portique:

L'effort tranchant d'étage  $\Sigma_j$  s'applique au C.O.G de l'étage  $j$  comme on a une rotation de plancher autour du centre de torsion C,  $\Sigma_j$  appliqué en G est équivalent à  $\Sigma_j$  appliqué en C plus un couple de torsion  $M_j$  avec

$$M_j = \Sigma_j \cdot e \quad . \quad \text{D'où sous l'action de } \Sigma_{jx} \text{ on a un effort de niveau "j" qui sera:}$$

### Portiques transversaux:

$$T_{jy} = \Sigma_{jy} \frac{R_{jy}}{R_{jy}} + \Sigma_{jy} \frac{R_{jy} x_i}{R_{j0}} e_x + \Sigma_{jx} \frac{R_{jy}}{R_{j0}} e_y \cdot x_j$$

### Portiques longitudinaux:

$$T_{jx} = \Sigma_{jx} \frac{R_{jx}}{R_{jx}} + \Sigma_{jx} \frac{R_{jx} y_i}{R_{j0}} e_y + \Sigma_{jy} \frac{R_{jx}}{R_{j0}} y_j \cdot e_x$$

### Calcul du déplacement relatif: " $\delta_j$ "

Le déplacement relatif " $\delta_j$ " de l'étage est donné par:

$$\delta_j = \frac{T_j}{R_j}$$

Portiques transversaux:

$$e_x = e_y = 120,25 \text{ mm}$$

Portiques longitudinaux:

$$e_x = e_y = 120,25 \text{ mm}$$

$\bar{C}_{jx}^{(t)}$	$R_{jx}^{(t)}$	$R_{jy}^{(t)}$	$\bar{C}_{jy}^{(t)}$	Portique	$x_j^t$	$R_{jy}$	$\bar{C}_{jy} \frac{R_{jx}}{R_{jy}}$	$\bar{C}_{jy} \frac{R_{jy} x_{je}}{R_{jx}}$	$\bar{C}_{jx} \frac{R_{jy} x_{je}}{R_{jx}}$	$\bar{T}_{jy} = \bar{Z}_j$	$\delta_j = \frac{T_j}{Z_j}$
				G	-1067,9	32369	9,767	-1,4261182	-1,664	9,767	0,27
				H	-587,9	32369	9,767	-0,7851062	-0,946	9,767	0,27
				I	-107,9	32369	9,767	-0,1440241	-0,168	9,767	0,27
				J	372,1	43360	11,644	+0,5924338	+0,691	12,927	0,33
				K	817,1	81836	5,864	+0,6872238	+0,822	7,353	0,33
				L	1342,1	21836	5,864	+1,076093	+1,255	8,195	0,37
61,453											
162769											
172499480000											
52,674											

$\bar{C}_{jx}^{(t)}$	$R_{jx}^{(t)}$	$R_{jy}^{(t)}$	$\bar{C}_{jy}^{(t)}$	Portique	$x_j^t$	$R_{jy}$	$\bar{C}_{jy} \frac{R_{jx}}{R_{jy}}$	$\bar{C}_{jy} \frac{R_{jy} x_{je}}{R_{jx}}$	$\bar{C}_{jx} \frac{R_{jy} x_{je}}{R_{jx}}$	$\bar{T}_{jy} = \bar{Z}_j$	$\delta_j = \frac{T_j}{Z_j}$
				G	-1067,9	32369	9,767	-1,4261182	-1,664	9,767	0,27
				H	-587,9	32369	9,767	-0,7851062	-0,946	9,767	0,27
				I	-107,9	32369	9,767	-0,1440241	-0,168	9,767	0,27
				J	372,1	43360	11,644	+0,5924338	+0,691	12,927	0,33
				K	817,1	81836	5,864	+0,6872238	+0,822	7,353	0,33
				L	1342,1	21836	5,864	+1,076093	+1,255	8,195	0,37
61,453											
196139											
172499480000											
52,674											

Calcul de l'effort tranchant revenant à chaque poteau :

$$t_j^i = \frac{\alpha_j k_j}{D_j} \cdot T_j$$

1) Portiques transversaux :

H - H					J - J					K - K					
T <sub>j</sub>	D <sub>j</sub>	P <sub>ot</sub>	$\alpha_j k_j$	t <sub>j</sub>	T <sub>j</sub>	D <sub>j</sub>	P <sub>ot</sub>	$\alpha_j k_j$	t <sub>j</sub>	T <sub>j</sub>	D <sub>j</sub>	P <sub>ot</sub>	$\alpha_j k_j$	t <sub>j</sub>	
G, 767 622, 864	1	100,79	1,580				1	100,79	1,754				2	85,79	1,687
	2	105,32	1,651				2	105,32	1,833				4	97,76	1,922
	3	105,32	1,651				3	109,275	1,902				7, 353	373, 965	
	5	105,32	1,651				4	111,83	1,946				6	104,625	2,057
	6	105,32	1,651				5	109,275	1,902				7	85,79	1,687
	7	100,79	1,580				6	100,79	1,754						
							7	100,79	1,754						

2) Portiques longitudinaux :

S - S					G - G					4 - 4					
T <sub>j</sub>	D <sub>j</sub>	P <sub>ot</sub>	$\alpha_j k_j$	t <sub>j</sub>	T <sub>j</sub>	D <sub>j</sub>	P <sub>ot</sub>	$\alpha_j k_j$	t <sub>j</sub>	T <sub>j</sub>	D <sub>j</sub>	P <sub>ot</sub>	$\alpha_j k_j$	t <sub>j</sub>	
T, 462 334, 02	G	76,49	1,708		G	76,49	1,879			J	76,62	1,689			
	H	90,52	2,022		H	90,52	2,224			K	90,32	1,990			
	I	90,52	2,022		I	90,52	2,224			L	76,62	1,689			
	J	76,49	1,708		J	90,43	2,222								
					K	90,33	2,219								
					L	76,29	1,874								

Portiques transversaux

$$e_x = e_y = 0,84 \text{ m.}$$

$\zeta_{ix}^{(t)}$	$R_{ix}$	$R_{j\theta}$	$\zeta_{iy}^{(t)}$	Portique	$R_{iy}$	$x_i$	$\zeta_{ix} \frac{R_{ix}}{R_{iy}}$	$\zeta_{iy} \frac{R_{iy} e_x}{R_{j\theta}}$	$\zeta_{jx} \frac{R_{iy} e_y}{R_{j\theta}}$	$T_i = \sum T_j$	$\delta_i = \frac{T_i}{R_i}$
33,852	145476	84004120000	36,673	L'	36369	-720	9,168	-0,960	-0,886	9,168	0,252
				M	36369	-240	9,168	-0,320	-0,295	9,168	0,252
				N	36369	+240	9,168	+0,320	0,295	9,783	0,269
				O	36369	+720	9,168	+0,960	0,886	11,014	0,303

Calcul du Bloc de droite :

$$V_x = \bar{F}_x = 33,852 \text{ t} \quad ; \quad V_y = \bar{F}_y = 36,673 \text{ t.}$$

Portiques longitudinaux:

$\zeta_{ix}$	$R_{ix}$	$R_{j\theta}$	$\zeta_{iy}$	Portique	$R_{jx}$	$y_i$	$\zeta_{jx} \frac{R_{jx}}{R_{ix}}$	$\zeta_{ix} \frac{R_{ix} y_i e_y}{R_{j\theta}}$	$\zeta_{jx} \frac{R_{ix} y_i e_x}{R_{j\theta}}$	$T_{jx} = \sum T_i$	$\delta_i = \frac{T_i}{R_{jx}}$
33,852	116964	84004120000	36,673	1	19494	-840	5,642	-0,554	-0,6006	5,642	0,29
				2	=	-600	5,642	-0,396	-0,429	5,642	0,29
				3	=	-120	5,642	-0,08	-0,0860	5,642	0,29
				5	=	+120	5,642	0,08	+0,0860	5,808	0,30
				6	=	+600	5,642	0,396	0,429	6,110	0,343
				7	=	+840	5,642	0,5544	0,6006	6,797	0,348

Calcul de l'effort tranchant revenant à chaque poteau:

Portique longitudinaux  
6-6

$T_i$	$D_j$	Pot	$a_{ijkj}$	$t_j$
		L	76,49	1,399
6,1106	333,86	M	90,44	1,655
		N	90,44	1,655
		O	76,49	1,399

Portique transversal  
N-N.

$T_i$	$D_j$	Pot	$a_{ijkj}$	$t_j$
		1	100,79	1,583
		2	105,32	1,654
		3	105,32	1,654
		5	105,32	1,654
		6	22,86	
		7	100,79	1,583
		9	7,783	

Efforts tranchants et moments fléchissants en travée:

Bloc de GAUCHE,

H-H				
Poutre	Mw	Me	Mc	T
1-2	0,212	1,54	-0,336	-1,565
2-3	0,77	0,77	0	-0,321
3-4	1,54	1,54	0	-1,283
4-5	0,77	0,77	0	-0,321
5-6	1,54	2,212	0,336	-1,563

J-J				
Poutre	Mw	Me	Mc	T
1-2	2,455	1,71	-0,382	-1,785
2-3	0,855	0,532	-0,161	-0,289
3-4	2,13	1,362	-0,384	-2,91
4-5	1,362	0,532	-0,415	-1,578
5-6	2,13	1,71	-0,21	-0,8
6-7	0,855	2,455	0,8	-1,375

K-K				
Poutre	Mw	Me	Mc	T
2-4	2,362	1,745	-0,568	-0,618
4-6	1,345	0,823	-0,261	-0,361
6-7	2,057	2,362	0,152	-1,741

4-4

Poutre	Mw	Me	Mt	T
J-X	2,364	1,393	-0,485	-0,774
K-L	1,393	2,364	0,485	-0,774

5-5

Poutre	Mw	Me	Mt	T
G-H	2,391	1,415	-0,487	-0,793
H-I	1,415	1,415	0	-0,589
I-J	1,415	2,391	0,487	-0,793

6-6

Poutre	Mw	Me	Mt	T
G-H	2,630	1,557	-0,536	-0,872
H-I	1,557	1,557	0	-0,649
I-J	1,557	1,563	+0,003	-0,65
J-K	1,547	1,555	0,003	-0,629
K-L	1,553	2,624	0,585	-0,861

Bloc de droite:

N-N

Poutres	Mw	Me	Mt	T
1-2	2,216	1,543	-0,336	-1,566
2-3	0,771	0,771	0	-0,321
3-5	1,543	1,543	0	-1,285
5-C	0,771	0,771	0	-0,321
6-7	1,543	2,216	0,336	-1,566

6-6

Poutres	Mw	Me	Mt	T
L-M	1,958	1,158	-0,4	-0,649
M-N	1,158	1,158	0	-0,482
N-O	1,158	1,958	0,4	-0,649

EFForts normaux dans les poteaux : BLOC GAUCHE.

H-H

Pot	M <sub>app</sub>	M <sub>inf</sub>	t	N
1	2,212	2,212	1,580	-1,563
2	2,311	2,311	1,651	-1,242
3	2,311	2,311	1,651	+0,962
5	2,311	2,311	1,651	-0,962
6	2,311	2,311	1,651	1,242
7	2,212	2,212	1,580	1,563

J-J

Pot	M <sub>app</sub>	M <sub>inf</sub>	t	N
1	2,455	2,455	1,754	-1,755
2	2,726	2,566	1,833	-1,446
3	2,663	2,663	1,902	2,621
4	2,724	2,724	1,946	-1,332
5	2,663	2,663	1,902	-0,778
6	2,566	2,566	1,833	0,579
7	2,455	2,455	1,754	1,379

K-K

Pot	M <sub>app</sub>	M <sub>inf</sub>	t	N
2	2,362	2,362	1,687	-0,618
4	2,691	2,691	1,922	-0,267
6	2,880	2,880	2,057	+1,48
7	2,362	2,362	1,687	+1,841

6-6

Pot	$M_{\text{sup}}$	$M_{\text{inf}}$	$t$	N
G	2,630	2,630	1,879	-0,872
H	3,114	3,114	2,224	-0,223
I	3,114	3,114	2,224	-0,011
J	3,111	3,111	2,222	-0,001
K	3,107	3,107	2,219	0,222
L	2,624	2,624	1,874	0,861

5-5

Pot	$M_{\text{sup}}$	$M_{\text{inf}}$	$t$	N
G	2,391	2,391	1,708	-0,793
H	2,831	2,831	2,022	-0,23
I	2,831	2,831	2,022	+0,103
J	2,391	2,391	1,708	0,783

4-4

Pot	$M_{\text{sup}}$	$M_{\text{inf}}$	$t$	N
J	2,364	2,364	1,689	-0,774
K	2,786	2,786	1,990	0
L	2,364	2,364	1,689	+0,774

Bloc de droite:

N-N

Pot	$M_S$	$M_i$	$t$	N
1	2,216	2,216	1,583	-1,56
2	2,315	2,315	1,654	-1,245
3	2,315	2,315	1,654	0,964
5	2,315	2,315	1,654	-0,964
6	2,315	2,315	1,654	1,245
7	2,216	2,216	1,583	1,56

6-6

Pot	$M_S$	$M_i$	$t$	N
L	1,958	1,958	1,399	-0,649
M	2,317	2,317	1,655	-0,167
N	2,317	2,317	1,655	0,167
O	1,958	1,958	1,399	0,649

Calcul des déformations longitudinales:

Bloc gauche:

$$\delta_i < \bar{\delta}_j$$

Bloc droite:

$\varepsilon_{jx}$	$R_{jx}$	$\delta_{jx}$ cm	$\bar{\delta}_{jx}$ cm
61,453	162769	$7,55 \cdot 10^{-4}$	2,55
$\varepsilon_{iy}$	$R_{iy}$	$\delta_{iy}$	$\bar{\delta}_{iy}$

$\varepsilon_{jx}$	$R_{jx}$	$\delta_{jx}$	$\bar{\delta}_{jx}$
33,852	116994	$8,28 \cdot 10^{-4}$	2,55
$\varepsilon_{iy}$	$R_{iy}$	$\delta_{iy}$	$\bar{\delta}_{iy}$

BLOC de DROITE.

N-N

Noeud	$l_w$	$l_e$	$h_u$	$h_s$	$I_w \cdot 10^{-3}$	$I_e \cdot 10^{-3}$	$I_u \cdot 10^{-3}$	$l'_w$	$l'_e$	$h'_u$	$h'_s$	$K_w \cdot 10^{-3}$	$K_e \cdot 10^{-3}$	$K_u \cdot 10^{-3}$	$K_s \cdot 10^{-3}$	$D \cdot 10^{-3}$	
1	-	2,4	-	2,8	-	2,6	-	0,325	-	1,92	-	2,24	-	1,354	-	0,145	1,499
2	2,4	4,8	-	2,8	2,6	2,6	-	0,325	2,36	3,84	-	2,24	1,10	0,677	-	0,145	1,923
3	4,8	2,4	-	2,8	2,6	2,6	-	0,325	3,84	1,92	-	2,24	0,677	1,354	-	0,145	2,176
5	2,4	4,8	-	2,8	2,6	2,6	-	0,325	1,92	3,84	-	2,24	1,354	0,677	-	0,145	2,176
6	4,8	2,4	-	2,8	2,6	2,6	-	0,325	3,84	2,36	-	2,24	0,677	1,101	-	0,145	1,923
7	2,4	-	-	2,8	2,6	-	-	0,325	1,92	-	-	2,24	1,354	-	-	0,145	1,499

Sous G

Noeud	$q_w$	$q_e$	$H'_w$	$M'_e$	$H_w$	$H_e$	$M_u$	$M_s$
1	-	1,257	-	0,545	-	0,052	-	0,052
2	1,257	1,736	0,823	3,011	2,076	2,241	-	0,165
3	1,736	1,257	3,011	0,545	2,244	2,079	-	0,164
5	1,257	2,201	0,545	3,818	2,582	2,799	-	0,218
6	2,201	1,257	3,818	0,823	2,764	2,538	-	0,226
7	1,257	-	0,545	-	0,052	-	-	0,052

Sous P:

Noeud	$q_w$	$q_e$	$H'_w$	$M'_e$	$H_w$	$H_e$	$M_u$	
1	-	0,499	-	0,216	-	0,021	-	0,021
2	0,499	0,67	0,327	1,162	0,805	0,868	-	0,063
3	0,67	0,499	1,162	0,216	0,968	0,705	-	-0,063
5	0,499	0,951	0,216	1,649	1,108	1,203	-	0,095
6	0,95	0,499	1,648	0,327	1,183	1,073	-	-0,095
7	0,499	-	0,216	-	0,021	-	-	-0,021

sous G      moment et effort tranchant dans les poutres  
sous P

traveé	$l$	$q$	$M_w$	$M_e$	$T_w$	$T_e$
1-2	2,4	1,257	0,052	2,076	0,665	-2,351
2-3	4,8	1,796	2,241	2,244	4,167	-4,167
3-5	2,4	1,257	2,079	2,582	1,299	-1,718
5-6	4,8	2,201	2,799	2,764	5,289	-5,275
6-7	2,4	1,257	2,538	0,0527	2,544	-0,473

traveé	$l$	$q$	$M_w$	$M_e$	$T_w$	$T_e$
1-2	2,4	0,499	0,021	0,905	0,272	-0,925
2-3	4,8	0,67	0,868	0,768	1,608	-1,608
3-5	2,4	0,499	0,905	1,108	0,472	-0,725
5-6	4,8	0,951	1,203	1,183	2,286	-2,278
6-7	2,4	0,499	1,083	0,021	1,041	-0,156

EFFort Normaux dans les poteaux:

sous G

Poteau	$T_w$	$T_e$	$N$
1	-	0,665	0,665
2	-2,351	4,167	6,518
3	-4,167	1,299	5,466
5	-1,718	5,289	7,007
6	-5,275	2,544	7,819
7	-0,473	-	0,473

sous P

Poteau	$T_w$	$T_e$	$N$
1	-	0,272	0,272
2	-0,925	1,608	2,533
3	-1,608	0,472	2,08
5	-0,725	2,286	3,011
6	-2,278	1,041	3,319
7	-0,156	-	0,156

1  
3

moment aux nœuds  
sous G

Nœud	$q_{uw}$	$q_e$	$H'_w$	$M'_c$	$H_w$	$H_e$	$H_u$	$M_s$
L	-	1,907	-	3,308	-	0,975	-	0,975
M	1,907	1,907	4,604	3,308	4,120	3,781	-	-0,239
N	1,907	1,907	3,308	4,604	3,881	4,120	-	-0,239
O	1,907	-	3,308	-	0,975	-	-	-0,975

sous P

nœud	$q_{uw}$	$q_e$	$H'_w$	$M'_c$	$H_w$	$H_e$	$H_u$	$M_s$
L	-	0,813	-	1,41	-	0,415	-	0,415
M	0,813	0,813	1,963	1,41	1,750	1,654	-	-0,102
N	0,813	0,813	1,41	1,962	1,654	1,750	-	0,102
O	0,813	-	1,41	-	0,415	-	-	-0,415

moments et efforts tranchants dans les poutres:  
sous G:

travée	$l$	$q$	$H_w$	$H_e$	$T_w$	$T_e$
L-M	4,8	1,907	0,975	4,12	3,921	-5,232
M-N	4,8	1,907	3,881	3,881	4,577	-4,577
N-O	4,8	1,907	4,12	0,975	5,232	-3,921

sous P:

travée	$l$	$q$	$H_w$	$H_e$	$T_w$	$T_e$
L-M	4,8	0,813	0,415	1,756	1,672	-2,23
M-N	4,8	0,813	1,654	1,654	1,951	-1,951
N-O	4,8	0,813	1,756	0,415	2,230	-1,672

EFFort normaux dans les poteaux:

poteau	$T_w$	$T_e$	$N$
L	-	3,921	3,921
M	-5,232	4,577	9,809
N	-4,577	5,232	9,809
O	-3,921	-	3,921

sous G:

poteau	$T_w$	$T_e$	$N$
L	-	1,672	1,672
M	-2,230	1,951	4,181
N	-1,951	2,230	4,181
O	-1,672	-	1,672

sous P:

BLOC Gauche.

4-4

moments aux noeuds:

sous G

Noeud	$q_w$	$q_e$	$M'_w$	$M'_e$	$M_w$	$M_e$	$M_u$	$M_s$
J	-	2,159	-	3,824	-	1,136	-	1,136
K	2,159	2,159	5,304	5,304	5,579	5,715	-	0,136
L	2,159	-	3,823	-	1,136	-	-	-1,136

sous P

Noeud	$q_w$	$q_e$	$M'_w$	$M'_e$	$M_w$	$M_e$	$M_u$	$M_s$
J	-	0,96	-	1,700	0	0,505	-	0,505
K	0,96	0,96	2,35	2,656	2,480	2,541	-	0,061
L	0,96	-	1,700	0	0,505	-	-	-0,505

moments et efforts tranchants dans les poutres:

Traveé	$l$	$q$	$M_w$	$M_e$	$T_w$	$T_e$
J-K	4,85	2,159	1,136	5,579	4,319	-6,151
K-L	4,85	2,159	5,715	1,136	6,139	-4,291

traveé	$l$	$q$	$M_w$	$M_e$	$T_w$	$T_e$
J-K	4,85	0,96	0,505	2,48	4,828	-5,64
K-L	4,85	0,96	2,541	0,505	5,655	-4,81

1  
39

EFForts normaux dans les poteaux:

Poteau	$T_w$	$T_e$	$N$
J	-	4,319	4,319
K	-6,151	+6,139	12,32
L	-4,291	-	4,291

Poteau	$T_w$	$T_e$	$N$
J	-	4,828	4,828
K	-5,640	5,655	11,297
L	-4,815	-	4,818

## Sous G

Noeud	$q_w$	$q_e$	$M'_w$	$M'_e$	$H_w$	$H_e$	$H_u$	$H_s$
G	-	1,844	-	3,199	-	0,943	-	0,943
H	1,844	1,844	4,452	3,199	3,984	3,752	-	-0,231
I	1,844	1,844	3,199	4,452	3,752	3,984	-	0,231
J	1,844	-	3,199	-	0,942	-	-	-0,942

## Sous P

Noeud	$q_w$	$q_e$	$M'_w$	$M'_e$	$H_w$	$H_e$	$H_u$	$H_s$
G	-	0,813	-	1,410	-	0,415	-	0,415
H	0,813	0,813	1,962	1,410	1,718	1,616	-	-0,102
I	0,813	0,813	1,410	1,962	1,654	1,756	-	0,162
J	0,813	-	1,410	-	0,415	-	-	-0,415

Traçée	$l$	$q$	$H_w$	$H_e$	$T_w$	$T_e$
G-H	4,8	1,844	0,943	3,984	4,548	-5,815
H-I	4,8	1,844	3,752	3,982	5,181	-5,815
I-J	4,8	1,844	3,984	0,942	5,815	-4,548

Traçée	$l$	$q$	$H_w$	$H_e$	$T_w$	$T_e$
G-H	4,8	0,813	0,415	1,718	1,616	-3,22
H-I	4,8	0,813	1,616	1,654	1,943	-1,959
I-J	4,8	0,813	1,756	0,415	2,23	-1,671

Potentiels	$T_w$	$T_e$	$N$
G	-	4,548	4,548
H	-5,815	5,181	16,992
I	-5,815	5,815	14,63
J	-4,548	-	4,548

Potentiels	$T_w$	$T_e$	$N$
G	-	1,679	1,679
H	-2,222	1,943	4,165
I	-1,959	2,23	4,189
J	-1,671	-	1,671

## SOUS G

Nord	$q_w$	$q_e$	$M_w$	$M_e$	$M_w$	$M_e$	$M_w$	$M_e$
G	-	1,846	-	3,2	-	0,943	-	0,943
H	1,846	1,846	4,456	3,202	3,928	3,756	-	-0,251
I	1,846	1,846	3,20	3,20	3,20	3,20	-	0
J	1,846	1,846	3,20	3,269	3,23	3,242	-	0,011
K	1,846	1,946	3,269	6,155	3,227	4,062	-	0,235
L	1,846	-	3,269	-	0,971	-	-	-0,241

## SOUS P

Nord	$q_w$	$q_e$	$M_w$	$M_e$	$M_w$	$M_e$	$M_w$	$M_e$
G	-	0,814	-	1,412	-	0,416	-	0,416
H	0,814	0,814	1,965	1,412	1,758	1,656	-	-0,902
I	0,814	0,814	1,412	1,412	1,412	1,412	-	0
J	0,814	0,814	1,412	1,424	1,424	1,429	-	0,005
K	0,814	0,814	1,441	2,00	1,677	1,791	-	0,104
L	0,814	-	1,441	-	0,428	-	-	-0,428

Tronçé	$l$	$q$	$M_w$	$M_e$	$T_w$	$T_e$
G-H	4,8	1,846	0,943	3,928	3,756	-5,064
H-I	4,8	4	3,756	3,202	4,546	-4,314
I-J	4,8	4	3,202	3,23	4,424	-4,434
J-K	4,85	4	3,242	3,227	4,356	-4,599
K-L	4,85	4	4,062	0,971	5,114	-3,839

tronçé	$l$	$q$	$M_w$	$M_e$	$T_w$	$T_e$
G-H	4,8	0,814	0,416	1,758	1,67	-2,73
H-I	4,8	4	1,656	1,412	2,10	-1,902
I-J	4,8	4	1,412	1,424	1,951	-1,956
J-K	4,85	4	1,429	1,683	1,920	-2,027
K-L	4,85	4	1,791	0,428	2,255	-1,693

Potentiel	$T_w$	$T_e$	$N$
G	-	3,796	3,796
H	-5,064	1,546	9,61
I	-4,314	4,424	8,738
J	-4,434	4,356	8,792
K	-4,599	5,114	9,711
L	-3,839	-	3,839

Potentiel	$T_w$	$T_e$	$N$
G	-	1,671	1,671
H	-2,319	2,004	4,323
I	-1,902	1,951	3,853
J	-1,956	1,920	3,876
K	-2,027	2,255	4,282
L	-1,693	-	1,693

J-J

Sous G:

Nord	$q_w$	$q_c$	$M'_w$	$M'_c$	$M_w$	$M_c$	$M_u$	$M_s$
1	-	0,974	-	0,422	0	0,01	-	0,041
2	0,974	2,378	0,638	4,125	2,634	2,897	-	0,263
3	2,378	1,906	4,125	0,206	3,373	3,213	-	-0,161
4	1,906	1,906	0,206	0,266	0,206	0,206	-	0
5	1,906	2,378	0,206	4,125	3,213	3,373	-	0,161
6	2,378	1,257	4,125	0,823	2,963	2,714	-	-0,25
7	1,257	-	0,545	-	0,053	-	-	-0,053

Sous P:

Nord	$q_w$	$q_c$	$M'_w$	$M'_c$	$M_w$	$M_c$	$M_u$	$M_s$
1	-	0,22	0	0,095	0	0,09	-	0,002
2	0,22	1,033	0,144	1,792	1,087	1,212	-	0,124
3	1,033	0,813	1,792	0,088	1,465	1,395	-	-0,07
4	0,813	0,813	0,088	0,088	0,088	0,088	-	0
5	0,813	1,033	0,088	1,792	1,395	1,465	-	0,07
6	1,033	0,510	1,792	0,334	1,278	1,169	-	-0,11
7	0,510	-	0,221	-	0,021	-	-	-0,021

Travee	$\ell$	$q_f$	$M_w$	$M_c$	$T_w$	$T_c$
1-2	2,4	0,974	0,041	2,634	0,088	-2,249
2-3	4,8	2,378	2,897	3,373	5,608	-5,806
3-4	1,2	1,906	3,213	0,206	3,649	-3,362
4-5	1,2	1,906	0,206	3,213	1,362	-3,649
5-C	4,8	2,378	3,373	2,963	5,792	-5,621
C-7	2,4	1,257	2,714	0,053	2,617	-0,339

Travee	$\ell$	$q_f$	$M_w$	$M_c$	$T_w$	$T_c$
1-2	2,4	0,22	0,009	1,087	0,185	-0,713
2-3	4,8	1,033	1,212	1,465	2,426	-2,532
3-4	1,2	0,813	1,395	0,088	1,576	-0,601
4-5	1,2	0,813	0,088	1,395	0,601	-1,576
5-C	4,8	1,033	1,465	1,278	2,518	-2,44
C-7	2,4	0,510	1,169	0,021	1,09	-0,133

Psteam	$T_w$	$T_c$	$N$
1	-	0,088	0,088
2	-2,249	5,608	7,857
3	-5,806	3,649	9,455
4	-1,362	+1,362	2,724
5	-3,649	5,792	9,441
6	-5,621	2,617	8,237
7	-0,339	-	0,399

Psteam	$T_w$	$T_c$	$N$
1	-	0,185	0,185
2	-0,713	2,426	3,199
3	-2,532	1,576	4,108
4	-0,601	0,601	1,202
5	-1,576	2,518	4,094
C	-2,44	1,09	3,530
7	-0,133	-	0,133

## Sous G

## H-H

## Sous P.

Nord	$q_w$	$q_e$	$M_w$	$M_c$	$M_u$	$M_s$
1	-	1,257	-	0,545	-	0,052
2	1,257	1,735	0,823	3,011	2,076	2,241
3	1,735	1,257	3,011	0,545	2,244	2,079
5	1,257	2,201	0,545	3,818	2,582	2,799
6	2,201	1,257	3,818	0,823	2,764	2,538
7	1,257	-	0,545	-	0,052	-

Nord	$q_w$	$q_e$	$M_w$	$M_c$	$M_u$	$M_s$
1	-	0,499	-	0,216	-	0,021
2	0,499	0,67	0,323	1,162	0,865	0,868
3	0,67	0,499	1,162	0,216	0,868	0,865
5	0,499	0,951	0,216	1,649	1,108	1,203
6	0,951	0,499	1,649	0,323	1,183	1,083
7	0,499	-	0,216	-	0,021	-

tracé	$l$	$q_f$	$M_w$	$M_c$	$T_w$	$T_c$
1-2	2,4	1,257	0,052	2,076	0,445	-2,351
2-3	4,8	1,735	2,241	2,244	4,167	-4,167
3-5	2,4	1,257	2,079	2,582	1,293	-1,293
5-6	4,8	2,201	2,799	2,764	5,289	-5,289
6-7	2,4	1,257	2,538	0,052	2,544	-0,493

tracé	$l$	$q_f$	$M_w$	$M_c$	$T_w$	$T_c$
1-2	2,4	0,499	0,216	0,865	0,282	-0,925
2-3	4,8	0,67	0,323	0,868	0,868	-1,608
3-5	2,4	0,499	0,865	1,108	0,472	-0,725
5-6	4,8	0,951	1,203	1,183	2,286	-2,286
6-7	2,4	0,499	1,083	0,021	1,041	-0,156

Poteau	$T_w$	$T_c$	N.
1	-	0,665	0,665
2	-2,351	4,167	6,548
3	-4,167	1,293	5,466
5	-1,293	5,289	7,007
6	-5,289	2,544	7,819
7	-0,493	-	0,493

Poteau	$T_w$	$T_c$	N.
1	-	0,272	0,272
2	-0,925	1,608	2,533
3	-1,608	0,472	2,08
5	-0,725	2,286	3,011
6	-2,286	1,041	3,319
7	-0,156	-	0,156

Sous G:

K-K

Sous P:

Nœud	$q_w$	$q_e$	$M'_w$	$M'_e$	$M'_s$	$H_e$	$H_w$	$H_s$
2	-	2,554	-	6,923	/	1,463	/	1,463
4	2,554	2,554	10,038	6,923	8,804	8,406	/	-0,397
6	2,554	1,257	6,923	0,823	5,076	4,581	/	-0,495
7	1,257	-	0,545	/	0,027	-	/	-0,027

Nœud	$q_w$	$q_e$	$M'_w$	$M'_e$	$M'_s$	$H_w$	$H_e$	$H_s$
2	-	1,115	/	3,022	/	0,639	/	0,639
4	1,115	1,115	4,382	3,022	3,843	3,17	/	-0,173
6	1,115	0,51	3,-22	0,334	2,208	1,99	/	-0,248
7	0,51	/	0,221	/	0,-214	/	/	-0,0214

Travée	$\ell$	$q$	$H_w$	$H_e$	$T_w$	$T_e$
2-4	6	2,554	1,463	8,804	6,938	-0,88
4-6	6	2,554	8,406	5,076	8,21	-7,10
6-7	2,4	1,257	4,581	0,027	3,39	0,378

travée	$\ell$	$q$	$M_w$	$M_e$	$T_w$	$T_e$
2-4	6	1,115	0,639	3,843	2,811	-3,87
4-6	6	1,115	3,17	2,20	3,588	-3,101
6-7	2,4	0,51	1,99	0,021	1,432	-0,203

Potcan	$T_w$	$T_e$	$N$
2	-	6,4385	6,4385
4	-3,885	3,217	13,102
6	-7,107	3,395	10,5-2
7	-0,378	-	0,3784

Potcan	$T_w$	$T_e$	$N$
2	-	2,811	2,811
4	-3,879	3,588	7,467
6	-3,101	1,4322	4,533
7	0,208	-	0,2082

# Superpositions des Sollicitations

## Moments en travées

travée	l (m)	$\frac{M_G + M_W}{2}$ sous G	G + 1,2 P			G + P			0,8 G		
			q	M <sub>o</sub>	M <sub>t</sub>	q	M <sub>o</sub>	M <sub>t</sub>	q	M <sub>o</sub>	M <sub>t</sub>
1-2	2,4	1,064	1,855	1,336	0,272	1,756	1,264	0,200	1,005	0,724	-0,127
2-3	4,8	2,242	2,54	7,315	5,072	2,406	6,929	4,686	1,388	3,999	2,205
3-5	2,4	2,330	1,855	1,336	-0,994	1,756	1,264	-1,066	1,005	0,724	-1,14
5-6	4,8	2,781	3,342	9,625	6,884	3,152	9,077	6,296	1,76	5,071	2,846
6-7	2,4	1,295	1,855	1,336	0,041	1,756	1,264	-0,031	1,005	0,724	-0,312

## Moments dans les poutres:

travée	sortie	G + 1,2 P			G + P + S $\vec{i}$			G + P + S $\vec{i}$			0,8 G + S $\vec{i}$			0,8 G + S $\vec{i}$		
		M <sub>w</sub>	M <sub>t</sub>	M <sub>c</sub>	M <sub>w</sub>	M <sub>t</sub>	M <sub>c</sub>	M <sub>w</sub>	M <sub>t</sub>	M <sub>c</sub>	M <sub>w</sub>	M <sub>t</sub>	M <sub>c</sub>	M <sub>w</sub>	M <sub>t</sub>	M <sub>c</sub>
1-2		-0,077	0,272	-3,042	2,139	-0,736	-4,42	-2,28	0,536	-1,34	2,17	-0,46	-3,201	-2,25	0,209	-0,121
2-3	I	-3,28	5,-73	-3,28	-2,33	4,687	-3,88	-3,23	4,687	-2,34	-1,023	2,205	-2,56	-2,56	2,185	-1,045
3-5	H	-3,-45	-0,99	-3,91	-1,34	-1,-66	-5,23	-4,24	-1,066	-2,15	-0,123	-1,14	-3,65	-3,20	-1,14	-0,525
5-6		-4,24	6,84	-4,18	-3,23	6,29	-4,71	-4,77	6,29	-3,17	-1,46	2,846	-2,98	-3,09	2,846	-1,441
6-7		-3,83	0,041	-0,07	-2,08	0,305	-2,28	-5,16	-0,362	2,158	-0,49	0,024	-2,25	-3,57	-0,604	2,170

## Efforts tranchants dans les poutres:

travée	G + 1,2 P			G + P + S $\vec{i}$			G + P + S $\vec{i}$			0,8 G + S $\vec{i}$			0,8 G + S $\vec{i}$			
	T <sub>w</sub>	T <sub>e</sub>	T <sub>w</sub>	T <sub>w</sub>	T <sub>e</sub>	T <sub>w</sub>	T <sub>e</sub>	T <sub>w</sub>	T <sub>e</sub>	T <sub>w</sub>	T <sub>e</sub>	T <sub>w</sub>	T <sub>e</sub>	T <sub>w</sub>	T <sub>e</sub>	
1-2	0,091	-3,461	-0,62	-4,839	2,5	-1,713	-1,03	-3,444	2,098	-0,318						
2-3	6,096	-6,096	5,45	-6,096	6,096	-5,453	3,012	-3,654	3,654	-3,012						
3-5	1,845	-2,588	0,489	-3,726	3,054	-1,16	-0,24	-2,653	2,32	-0,091						
5-6	8,032	-8,008	7,254	-7,874	7,896	-7,232	3,91	-4,541	4,55	-3,899						
6-7	2,79	-0,660	2,022	-2,192	5,148	0,934	0,472	-1,041	3,59	1,184						

EFFORTS NORMAUX DANS LES POTEAUX:

Poteau	$G + 1,2P$	$0,8G + \vec{Si}$	$0,8G + \vec{Si}$	$G + P + 1,2\vec{Si}$	$G + P + 1,2\vec{Si}$
1	0,991	-1,031	2,095	-0,938	2,812
2	9,557	3,972	6,456	7,560	10,541
3	7,962	5,334	3,412	8,699	6,393
5	10,62	4,643	6,567	8,863	11,173
6	11,802	7,497	5,013	12,628	9,647
7	0,660	1,941	-1,184	2,504	-1,246

MOMENTS DANS LES POTEAUX:

Poteau	$G + 1,2P$		$0,8G + \vec{Si}$		$0,8G + \vec{Si}$		$G + P + 1,2\vec{Si}$		$G + P + 1,2\vec{Si}$	
	H <sub>mp</sub>	H <sub>mf</sub>	H <sub>mp</sub>	H <sub>mf</sub>	H <sub>mp</sub>	H <sub>mf</sub>	H <sub>mp</sub>	H <sub>mf</sub>	H <sub>mp</sub>	H <sub>mf</sub>
1	0,077	-0,077	2,253	-2,253	-2,170	+2,170	2,727	-2,727	-2,581	+2,581
2	0,241	-0,241	2,443	-2,443	-2,179	+2,179	3,001	-3,001	-2,545	+2,545
3	-0,239	0,239	2,180	-2,180	-2,442	+2,442	2,546	-2,546	-3,00	+3,00
5	0,332	-0,332	2,485	-2,485	-2,136	+2,136	3,086	-3,086	-2,460	+2,460
6	-0,345	0,345	2,130	-2,130	-2,49	+2,49	2,448	-2,448	-3,098	+3,098
7	-0,078	0,078	2,169	-2,169	-2,254	+2,254	2,580	-2,580	-2,728	+2,728

# FERRAILLAGE DES PORTIQUES :

I) BLOC GAUCHE: portique H-H:

$$SP_1 : \quad -0,0772 \quad -3,282 \quad -3,28 \quad -0,099 \quad -4,24 \quad -4,183 \quad -0,078$$

0,272      5,073      6,744      0,041

$$SP_2 : \quad -2,285 \quad -1,463 \quad -4,421 \quad -4,424 \quad -1,14 \quad -5,23 \quad -5,14 \quad -0,648 \quad -2,285$$

2,17      0,563      4,637      6,296      0,305      2,170

moments de calcul ( $SP_1$ )

Sections d'Aciers aux appuis:

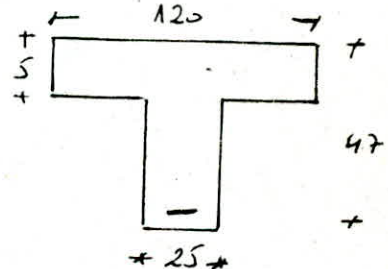
Sections	H t.m	$\mu$	$\varepsilon$	K	$G_b'$ kg/cm <sup>2</sup>	$A_{calcul}$ cm <sup>2</sup>	$\phi$	$A_{adopté}$
2-3-1-2	3,285	0,0318	0,923	50	56	2,704	3T14	4,62
5-6	4,242	0,0411	0,9138	43	65,11	3,527	3T14	4,62

Sections d'aciers en travées:

$$M_t = 6,844 \text{ t.m.} \quad G_a = 280 \text{ kg/cm}^2$$

$$\text{Tout calcul fait} \quad A = 5,46 \text{ cm}^2$$

$$3T14 + 2T12 = 6,88 \text{ cm}^2.$$



Sections d'Aciers adoptés:

$$\begin{array}{ccccccccccccc} 3T14 & & 3T14 \\ \Delta & 3T14 & \Delta & 3T14+2T12 & \Delta & 3T14 & \Delta & 3T14 & \Delta & 3T14+2T12 & \Delta & 3T12 & \Delta & 3T14 \\ 3T14 & & 3T12 & & 3T14 & & 3T14 \end{array}$$

## Verifications:

### 1) verification des contraintes:

$$\Theta = 0,106 \quad \beta = 0,5696 \quad \rightarrow c = -0,167 \quad , \alpha = 0,186 \rightarrow k = 65,5$$

$$\begin{aligned} \bar{\sigma}_b &= 34,24 \text{ kg/cm}^2 \\ \bar{\sigma}_a &= 2242,72 \text{ kg/cm}^2 \end{aligned} \quad \left. \begin{array}{l} \\ \end{array} \right\} \rightarrow \text{vérifié}$$

### 2) Verification de la flèche:

$$- h_f = 50 \text{ cm} > \frac{l}{16} = \frac{455}{16} = 28,43 \text{ cm}$$

$$- h_f = 50 \text{ cm} > \frac{l}{10} \cdot \frac{M_f}{M_0} = \frac{460}{10} \cdot \frac{6,844}{9,625} = 32,71 \text{ cm}.$$

$$- A = 6,88 \leq b\bar{h} \frac{43}{6 \text{ cm}} = 25 \cdot 50 \cdot \frac{43}{4200} = 12,79 \text{ cm}$$

donc aucune justification de la flèche n'est nécessaire

### 3) Condition de non fragilité:

$$A = 4,62 \geq b\bar{h}W \frac{\bar{\sigma}_b}{\bar{\sigma}_a} = 25 \cdot 50 \cdot 0,54 \cdot \frac{5,9}{2860} = 1,422 \text{ cm}^2$$

### 4) Condition aux appuis:

\* béton: on doit avoir  $c \geq \frac{2T}{b \cdot \bar{\sigma}_{b0}} = c_0 \quad , \quad c = a - (d + r)$

T: effort tranchant max aux appuis de rive

a: largeur du poteau

r: rayon de courbure = 5,5φ

d: enrobage = 3 cm.

φ = 1,4 cm.

$$c = 14,3 \text{ cm} \geq \frac{2 \cdot 2,5 \cdot 10^3}{25 \cdot 68,5} = 2,92 \text{ cm}.$$

$c > c_0 \rightarrow$  vérifié pour tous les appuis.

\* Armatures Inferieures: La section minimale des armatures de traction inférieures, qui doivent être conduites jusqu'à un appui et ancrées, totalement ou déla, doit être susceptible d'équilibrer un effort admissible =  $T + \frac{M}{3}$

$$A \bar{\sigma}_a \geq T + \frac{M}{3} \Rightarrow A \geq \frac{T}{\bar{\sigma}_a} + \frac{M}{\bar{\sigma}_a \cdot 3} \quad M = 2,17 \text{ t.m} \quad T = 2,5 \text{ t}$$

$$A = 4,62 \text{ cm}^2 \geq \frac{2,5 \cdot 10^3}{2800} + \frac{2,17 \cdot 10^5}{2800 \cdot 44,77} = 2,62 \text{ cm}^2$$

5) Pourcentage des Aciers longitudinales : (RPA 81)

$$0,3\% \leq A \leq 2,5\% \rightarrow 3,75 \text{ cm}^2 \leq A \leq 31,25 \text{ cm}^2 \rightarrow \text{vérifié}$$

6) Condition de non entraînement des barres :

$$\bar{Z}_d \leq \bar{\epsilon}_d \quad , \quad \bar{Z}_d = 24 \bar{y}_d \bar{b}_b = 17,7 \text{ kg/cm}^2$$

$$\bar{Z}_d = \frac{T_{max}}{m \cdot p \cdot g} = \frac{2,5 \cdot 10^3}{3 \cdot 13,19 \cdot 44,77} = 1,41 \text{ kg/cm}^2 < \bar{Z}_d$$

7) Ancrage: l'ancrage des armatures longitudinales des poutres dans les poteaux de rive et d'angle

$$l_1 \geq 20\phi = 28 \text{ cm}$$

$$l_2 \geq \max(30\phi, 50 \text{ cm}) = 50 \text{ cm}$$

8) Condition de non fissuration :

on doit vérifier:  $\max(\bar{\sigma}_1, \bar{\sigma}_2) \geq \bar{\sigma}_a$ ,  $\max \begin{cases} \bar{\sigma}_1 = 5390,44 \\ \bar{\sigma}_2 = 2393 \end{cases} > \bar{\sigma}_a$

9) Contraintes:

\* Actions sans armatures comprimées:

$$\bar{w} = \frac{b_0 \cdot A}{b_0 \cdot h} \rightarrow K \cdot \varepsilon$$

\* Actions avec armatures comprimées :

$$D = \frac{15}{2} (A + A') \quad E = \frac{30}{b} (A'd' + hA) \quad G_b' = k_y_1$$

Sur appuis :

Sollicit	sections	$M_{(t.-)}$	$A \text{ cm}^2$	$\bar{w}$	$\varepsilon$	$K$	$\sigma_a$	$\delta_b'$
SP <sub>1</sub>	2,3	3,285	4,62	0,3932	0,9035	36,8	1674,4	45,50
SP <sub>4</sub>	5,6	4,242	4,62	0,3932	0,9035	36,8	2162,2	58,75
SP <sub>2</sub>	1,7	2,285	4,62	0,3932	0,9035	36,8	1164,7	31,65

en travées :

10) Armatures transversales,  $T_{max} = 8,032 t$ .  $\rightarrow SP_1$ , on utilise une

$\phi 8$  FeE 24, un cadre et un étrier  $A_t = 2,01 \text{ cm}^2$ ,  $\bar{G}_{at} = \frac{2}{3} \bar{b}_b \text{ cm}$ .

$$\bar{t} \leq \min\left(\frac{h}{4}, 12\phi, 30 \text{ cm}\right) = 9,6 \text{ cm} \rightarrow \text{zone nodale}$$

$$\bar{t} \leq \frac{h}{3} = 23,5 \rightarrow \text{zone courante}$$

$$\bar{Z}_b = \frac{8,032 \cdot 1 \cdot 3}{25 \cdot \frac{2}{3} \cdot 47} = 7,81 \text{ kg/cm}^2 \quad , \quad \bar{Z}_b = 3,5 \bar{b}_b = 20,65 \text{ kg/cm}^2$$

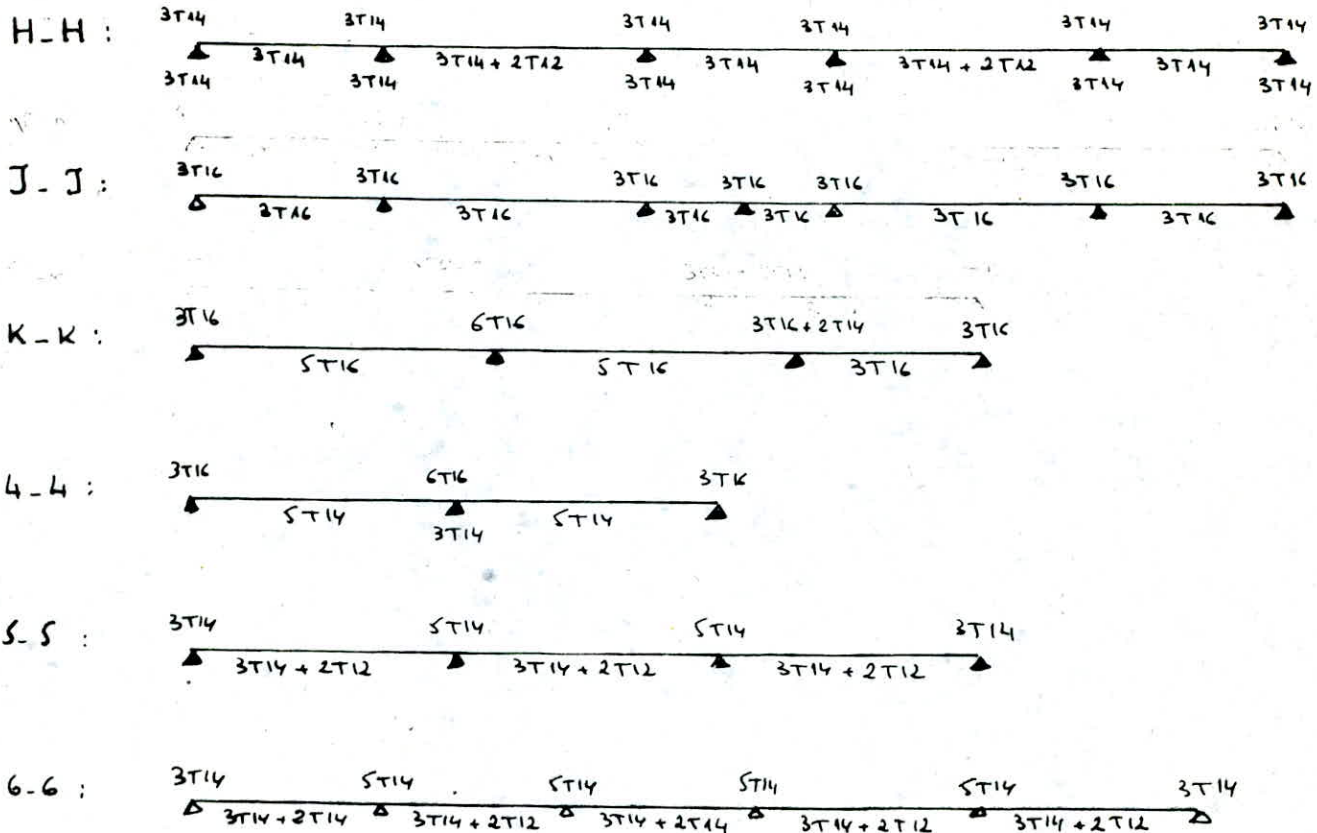
$\bar{Z}_b < \bar{Z}_b' \rightarrow$  donc on utilisera seulement des cadres et étriers droits

$$t_{\text{adopté}} = \begin{cases} 9 \text{ cm} & \text{zone nodale} \\ 15 \text{ cm} & \text{zone courante} \end{cases} \quad A_t = 2,01 \text{ cm}^2 > 0,003 \cdot 9 \cdot 25 = 0,675 \text{ cm}^2$$

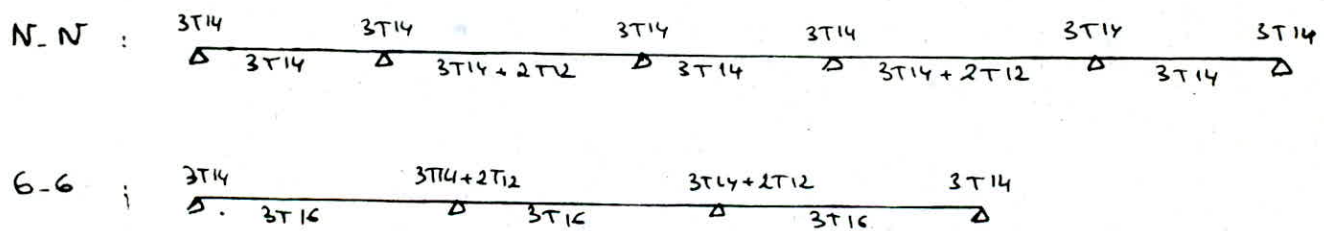
$$0,003 \cdot 15 \cdot 25 = 1,125 \text{ cm}^2$$

## Ferraillage des poutres :

### Bloc GAUCHE:



### Bloc de Droite:



## Ferraillage des poteaux:

Les poteaux sont calculés en flexion composé car il sont soumis à :

-  $M$  : moment de flexion.

-  $N$  : effort normal de compression ou de traction

On armera les poteaux d'une manière symétrique ( $A = A'$ ).

méthode de calcul :

on a :  $e = \frac{ht}{c}$ . limite du moyen central

$e_0 = \frac{M}{N}$  : point d'application de l'effort normal  $N$ .

$e_0 > e \Rightarrow$  section partiellement comprimée

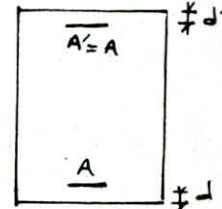
$e_0 < e \Rightarrow$  section entièrement comprimée

$e_0 = e \Rightarrow$  section travaillant en compression simple.

1) Section partiellement comprimée:  $e_0 > e$

$$\text{si } e_0 > \frac{ht}{c} \rightarrow \bar{\sigma}_b' = 2\bar{\sigma}_b$$

$$\text{si } e_0 < \frac{ht}{2} \rightarrow \bar{\sigma}_b' = \left(1 + \frac{2e_0}{ht}\right)\bar{\sigma}_b$$



on calcule le moment fictif  $M_f = N \cdot f$ . avec  $f = \frac{ht}{2} - d + e_0$ .

$$M = \frac{15 \cdot M_f}{\bar{\sigma}_a \cdot b \cdot h^2} \xrightarrow{\text{Tableau}} K, \epsilon \rightarrow \bar{\sigma}_b' = \frac{\bar{\sigma}_a}{K}$$

\* si  $\bar{\sigma}_b' \leq \bar{\sigma}_b$   $\rightarrow$  les armatures comprimées ne sont pas nécessaires, on calculera une section  $A_{fs} = \frac{M_f}{\bar{\sigma}_a \cdot E \cdot h}$  est la section pour flexion composé sera :

$$A_{fc} = A_{fs} - \frac{N}{\bar{\sigma}_a} \quad (N < 0 \text{ pour une traction})$$

\* si  $\bar{\sigma}_b' > \bar{\sigma}_b$   $\rightarrow$  les armatures comprimées sont nécessaires, on calculera les sections :  $A_{fc}'$  et  $A_{fs}$  pour  $M_f \rightarrow$  les sections pour flexion composé seront :

$$\rightarrow \text{on prend } \bar{K} = \frac{\bar{\sigma}_a}{\bar{\sigma}_b'} \xrightarrow{\text{Tableau}} \mu', \alpha, \bar{w}$$

$$M_0 = \mu' \cdot b \cdot h^2 \cdot \bar{\sigma}_b' \quad , \quad \Delta M = M - M_0$$

$$\bar{\sigma}_a' = \frac{15(\alpha - \frac{d'}{h}) \bar{\sigma}_b'}{\bar{K}}$$

$$A_{fs}' = \frac{\Delta M}{(h-d') \bar{\sigma}_a'}$$

$$A_{fs} = \bar{w} \cdot \frac{b h}{100} + \frac{\Delta M}{(h-d') \bar{\sigma}_a}$$

$$\Rightarrow A_{fc}' = A_{fs}'$$

$$\left\{ \begin{array}{l} A_{fc} = A_{fs} - \frac{N}{\bar{\sigma}_a} \end{array} \right.$$

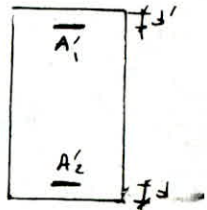
2) Action entièrement comprimée:  $e_0 \leq e_i$   
ou ferraillera symétriquement

$$\delta' = \frac{d'}{h_t} = \frac{d}{h_t} \quad , \quad S = \frac{\bar{b}' \cdot b \cdot h_t}{N'} \quad , \quad \beta = \frac{6M}{N' \cdot h_t}$$

$$C = 0,27(1 - 2\delta')^2 \beta \quad , \quad D = 0,30(\beta - \beta) - 0,90(1 - \beta)(1 - 2\delta')^2$$

$$E = -(1 + \beta - \beta) \quad , \quad \bar{w} = \frac{-D - \sqrt{D^2 - 4CE}}{2C}$$

$$A'_1 = A'_2 = \bar{w} \cdot \frac{b^2 h_t}{100}$$



3) Section en compression simple:

la section d'armatures longitudinales doit vérifier les 3 conditions:

- Action théorique :  $A_L = \frac{1}{m} \left( \frac{N}{\sigma_{bs}} - \beta \right)$

- Condition de sécurité :  $A_L \leq \frac{\beta}{20}$

-  $A_L \geq \frac{1,25}{1000} \cdot \sigma_1 \cdot \sigma_2 \cdot \sigma_3 \cdot \frac{N}{\sigma_{bs}}$

$$\sigma_1 = \begin{cases} 1,8 & \text{poteau d'angle} \\ 1,4 & \text{de rive} \\ 1 & \text{centraux} \end{cases}$$

$$\sigma_2 = 1 + \frac{lc}{4a - lc} \quad , \quad \sigma_3 = 1 + \frac{2160}{6cm (\text{en bars})}$$

4) Flambement des poteaux:

\* longueur de flambement : tous les poteaux (sauf ceux de l'infrastructure)

$$lc = 0,7l_a = 196\text{cm}$$

\* Vérification au flambement : on a des poteaux de 25x25

$$\frac{lc}{a} = \frac{196}{25} = 7,84 < 14,4 \quad , \quad \text{l'article (32.31 CCBIA) dans ce cas}$$

les pièces seront justifiées uniquement en flexion composée sans tenir compte de l'effet du flambement.

Sollicit N max et M corr

Poteaux	L <sub>7</sub>	L <sub>2</sub>	K <sub>7</sub>	K <sub>2</sub>	L <sub>4</sub>	K <sub>4</sub>	K <sub>6</sub>	O <sub>7</sub>	N <sub>7</sub>	O <sub>6</sub>	N <sub>6</sub>	
Sens	lag	trans	long	trans								
N	4,05	2,669	6,445	5,912	7,789	2,795	14,259	9,991	10,085	13,851	23,61	24,88
M	2,54	3,113	1,750	2,002	4,079	2,760	4,067	0,732	1,196	3,913	3,54	3,799
e <sub>o</sub>	0,627	1,116	0,166	0,34	0,523	0,987	0,285	0,078	0,119	0,282	0,149	0,152
$\bar{\sigma}_b$	205,5	205,5	205,5	205,5	205,5	162,97	200,7	205,5	905,5	205,5	205,5	205,5
f	0,722	1,255	0,361	0,435	0,62	1,108	0,38	0,17	0,214	0,377	0,244	0,244
M <sub>f</sub>	2,924	3,35	2,37	2,57	4,181	3,02	5,42	1,68	2,15	5,22	5,72	6,14
M	0,086	0,988	2,069	0,075	0,1421	0,089	0,1599	0,0495	0,063	0,154	0,1701	0,1814
K	27,2	24,95	31,1	29,6	19,6	26,6	18,05	38,5	33,1	18,5	17,3	15,55
$\Sigma$	0,8815	0,874	0,8915	0,8879	0,8555	0,879	0,8487	0,905	0,896	0,858	0,8452	0,8452
$\bar{\sigma}_b'$	154,41	168,3	135,1	141,9	214,3	157,9	232,7	109,1	126,9	227,1	242,7	253,8
K	20,43	20,43	20,43	20,43	21,0	20,43	20,5	25,77	20,92	20,5	21	21
$\alpha$					0,4166	0,422			0,4225	0,414	0,4144	0,416
$\epsilon$					0,8611	0,8582			0,8592	0,8692	0,8611	0,8611
$\mu'$					0,1794	0,1815			0,1815	0,1794	0,1794	0,1794
$y_1$					9,165	9,295			9,295	9,165	9,165	9,165
$\sigma_a'$					2073	2087			2073,6	2073,5	2073,5	2073,5
M <sub>1</sub>					4,461	4,51			4,51	4,461	4,461	4,461
$\Delta M$					0,353	2,905			0,268	1,301	1,686	0,957
A'					0,895	2,28			1,78	3,30	4,261	2,43
A <sub>fs</sub>	3,59	4,14	2,822	3,13	5,89	3,72	6,799	2,044	2,59	6,55	7,087	7,57
A <sub>fc<sub>avg</sub></sub>	2,63	3,51	1,314	1,73	4,104	3,054	3,40	0	0,21	3,25	1,146	1,143
										3,261	1,145	0
										2,886	3,139	2,886
										4,11	2,62	2,25
										1,53		

P-terms	L <sub>7</sub>	L <sub>2</sub>	K <sub>7</sub>	K <sub>2</sub>	L <sub>4</sub>	K <sub>4</sub>	K <sub>6</sub>	O <sub>7</sub>	N <sub>7</sub>	O <sub>6</sub>	N <sub>6</sub>												
seus	long	trans	long	trans																			
N	0,912	-2,253	2,810	2,192	4,35	-1,42	7,547	4,533	2,659	7,362	9,956	13,414	7,547	6,921	1,025	2,52=	4,987	-1,250	2,488	2,867	7,48	5,010	
M	3,201	3,203	3,401	3,286	3,137	2,908	2,919	2,532	3,225	2,821	2,895	2,523	2,919	3,276	2,606	2,528	2,444	2,733	2,738	2,720	2,126	2,496	
E <sub>0</sub>	3,51	1,42	1,539	1,499	0,721	1,791	0,386	0,558	1,23	0,383	0,293	0,177	0,387	0,473	2,424	1,-03	0,169	2,186	1,100	0,948	0,277	0,498	
$\bar{S}_6'$	205,5	205,5	205,5	205,5	205,5	205,5	205,5	205,5	205,5	205,5	205,5	205,5	205,5	205,5	205,5	205,5	205,5	205,5	205,5	205,5	205,5	205,5	
f	3,605	1,515	1,634	1,594	0,816	1,806	0,481	0,653	1,325	0,478	0,39	0,272	0,482	0,57	2,52	1,10	0,664	2,281	1,195	1,43	0,372	0,593	
Mf	3,29	3,41	3,61	3,49	3,55	3,06	3,63	2,96	3,52	3,52	3,82	3,65	3,63	3,93	2,71	2,76	2,75	2,85	2,93	2,99	2,85	2,97	
$\mu$	0,097	0,100	0,106	0,1-31	0,1-43	0,093	0,7071	0,087	0,1-40	0,1058	0,1129	0,1032	0,1074	0,1160	0,0399	0,0817	0,0482	0,0841	0,0877	0,0882	0,0843	0,0876	
K	25,2	24,6	23,7	24,2	24,0	26,4	23,6	27	24,1	24,1	22,8	23,6	23,6	22,4	28,6	28,2	27,6	27,7	26,9	26,8	23,6	26,9	
E	0,8756	0,8737	0,8738	0,8725	0,8718	0,7792	0,8745	0,7610	0,7721	0,8771	0,7633	0,7705	0,7705	0,8443	0,8653	0,8843	0,7826	0,7829	0,78-7	0,78-4	0,7826	-0,77-7	
$S_6'$	166,67	170,7	177,2	173,5	175	159	178	155,5	174,3	174,3	184,2	178	178	187,5	146,8	149	152,2	159,6	156,1	156,7	152,2	156,1	
$\bar{K}$	20,43	20,43	20,43	20,43	20,43	20,43	20,43	20,43	20,43	20,43	20,43	20,43	20,43	20,43	20,43	20,43	20,43	20,43	20,43	20,43	20,43	20,43	
X																							
Z																							
$\mu'$																							
$y_1$																							
$S_6'$																							
H <sub>1</sub>																							
$\Delta M$																							
A'																							
Afs	4,106	4,123	4,149	4,134	4,41	3,77	4,51	3,64	4,137	4,177	4,53	4,153	4,191	3,31	3,38	3,50	3,49	3,65	3,68	3,50	3,65		
Afc	3,846	4,176	3,96	3,89	3,37	4,15	2,72	2,56	3,74	2,61	3,02	1,34	2,73	3,26	3,054	2,78	2,47	3,79	3,06	2,99	1,67	2,46	

Poteaux	IV		et V																			
sens	long	trans	long	trans	long	trans	long	trans	long	trans	long	trans	long	trans	long	trans	long	trans	long	trans		
N	1,89	-2,25	4,499	4,261	7,789	-1,623	14,260	9,5-L	8,177	13,951	23,617	24,78	14,259	13,259	2,077	-1,558	7,565	-1,250	4,814	5,327	14,90	9,645
M	4,042	3,203	4,548	4,314	4,0-20	2,9-8	4,-67	4,936	4,478	3,913	3,54	3,799	4,-67	4,169	3,322	3,046	3,245	2,733	3,739	3,318	3,121	3,1-3
C <sub>0</sub>	2,14	1,42	1,-11	1,-12	0,523	1,771	0,285	0,58	0,143	0,282	0,149	-0,152	0,285	-0,314	1,599	1,955	0,420	2,186	0,326	0,423	-0,22	-0,321
G <sub>6</sub> '	205,5	205,5	205,5	205,5	205,5	205,5	205,5	205,5	205,5	205,5	205,5	205,5	205,5	205,5	205,5	205,5	205,5	205,5	205,5	205,5	205,5	
f	2,23	1,51	1,10	1,11	0,62	1,88	0,38	0,625	0,642	0,38	0,244	0,25	0,38	0,41	1,69	0,05	0,524	2,281	0,871	0,72	0,815	0,41
M <sub>8</sub>	4,22	3,41	4,97	4,72	4,81	3,06	5,42	5,74	5,25	5,22	5,76	6,14	5,42	5,42	3,52	3,19	3,96	2,75	4,19	3,82	4,46	4,01
$\mu$	0,1244	-0,1007	-0,1467	0,1392	0,1420	0,090	0,1599	0,1694	0,1599	0,1541	0,1701	0,1814	0,1599	0,1650	0,1238	0,0943	0,1170	0,084	0,1237	0,1129	0,1319	0,1184
K	21,4	24,6	19,1	19,8	19,6	26,4	18,1	17,3	18,4	18,5	17,3	16,5	18,1	18	24,1	25,7	22,3	27,2	21,5	22,8	20,5	22,1
E	0,842	0,973	0,8534	0,8563	0,8555	0,879	0,8489	0,7452	0,853	-0,858	0,8412	0,8413	0,7489	0,8485	0,8321	0,8731	0,8660	0,882	0,863	0,8677	0,8592	0,8652
G <sub>6</sub>	19,3	17,7	24,9	24,2	21,3	159,1	232	242	228,3	227,1	243	255	232	233,3	174,3	163,4	188,3	152,1	195,3	184,2	204,8	190
K'	20,43	20,43	20,43	20,5	20,5	20,43	20,5	20,5	20,5	20,5	20,5	20,5	20,5	20,5	20,43	20,43	20,43	20,43	20,43	20,43	20,43	20,43
$\alpha$	0,4225	0,4225	0,4225			0,4225	0,4225	0,4225	0,4225	0,4225	0,4225	0,4225	0,4225	0,4225								
$\varepsilon$	0,8592	0,8592	0,8592			0,8592	0,8592	0,8592	0,8592	0,8592	0,8592	0,8592	0,8592	0,8592								
$\mu'$	0,1815	0,1815	0,1815			0,1815	0,1815	0,1815	0,1815	0,1815	0,1815	0,1815	0,1815	0,1815								
Y <sub>1</sub>	9,31	9,287	9,295			9,295	9,295	9,295	9,295	9,295	9,295	9,295	9,295	9,295								
G <sub>a</sub> '	2089	2-87,6	2087,6			2087,6	2087,6	2087,6	2087,6	2087,6	2087,6	2087,6	2087,6	2087,6								
M <sub>1</sub>	4,51	4,51	4,51			4,51	4,51	4,51	4,51	4,51	4,51	4,51	4,51	4,51								
ΔM	0,46	-0,204	0,30			0,91	1,23	0,74	0,71	1,25	1,63	0,91	0,91									
A'	1,17	0,514	0,7526			2,28	3,10	1,86	1,79	3,15	4,12	2,28	2,28									
A <sub>85</sub>	5,30	4,23	6,25	5,92	6,04	3,77	6,80	7,20	6,59	6,55	7,23	7,71	6,80	6,10	4,137	3,94	4,95	3,49	5,26	4,77	5,63	5,02
A <sub>4C</sub>	4,85	4,76	5,17	4,90	4,19	4,15	3,40	5,17	4,64	3,26	1,61	1,79	3,40	3,65	3,87	4,31	3,15	3,79	4,11	3,50	2,25	2,72

## Tableaux récapitulatif du ferrailage des poteaux:

Soli	SP <sub>1</sub>			SP <sub>2</sub>		A <sub>min</sub> RPA	A <sub>max</sub> RPA	A adopté	Ferrailage	
	Pot	A <sub>min</sub> long	A <sub>min</sub> trans	A <sub>min</sub> total	A = A' long	A = A' trans			longit	transv
L7	1,28	0,093	1,373	4,85	4,76	6,25	25	16,08	2(3T16)	2(3T16)
L2	2,42	2,22	4,64	5,17	4,90	6,25	25	16,08	2(3T16)	2(3T16)
K7	0,94	0,201	1,141	4,19	4,15	6,25	25	12,31	2(3T14)	2(3T14)
K2	1,77	3,15	4,92	3,40	5,18	6,25	25	16,08	2(3T16)	2(3T16)
L4	3,23	1,71	4,94	4,64	3,26	6,25	25	12,31	2(3T14)	2(3T14)
K4	2,21	2,21	4,42	3,30	4,281	6,25	25	12,31	2(3T14)	2(3T14)
K6	1,26	4,60	5,86	2,73	3,65	6,25	25	12,31	2(3T14)	2(3T14)
O7	1,27	0,256	1,526	3,87	4,31	6,25	25	12,31	2(3T14)	2(3T14)
N7	0,92	0,215	1,135	3,15	3,79	6,25	25	12,31	2(3T14)	2(3T14)
O6	1,902	0,78	2,782	4,11	3,50	6,25	25	12,31	2(3T14)	2(3T14)
N6	1,26	1,01	2,27	2,25	2,72	6,25	25	12,31	2(3T14)	2(3T14)

### Armatures transversales:

Vérification de la résistance à l'effort tranchant:

$$\bar{\tau}_b = \frac{nT}{l_c} < \bar{\tau}_b = 0,15 G_{28}' = 40,91 \text{ kg/cm}^2 \quad n = \begin{cases} 2 & \text{si } \lambda \geq 15 \\ 3 & \text{si } \lambda < 15 \end{cases}$$

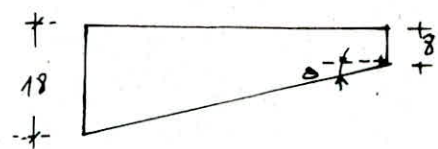
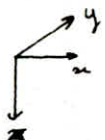
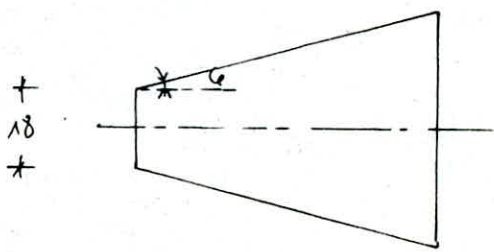
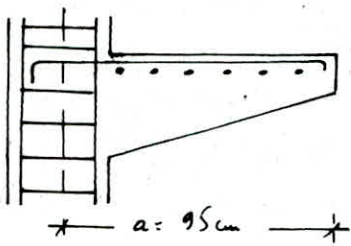
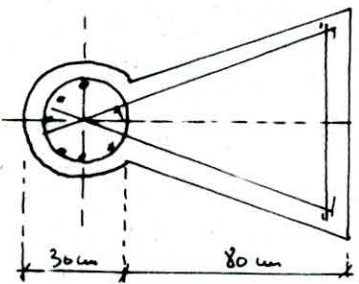
$$\lambda = \frac{l_c}{i} = \frac{l_c}{\sqrt{\frac{I}{B}}} \quad , \quad T = \max (T_e^{\max}, T_f^{\max})$$

Pot	$l_c (m)$	$I (cm^4) \cdot 10^{-6}$	$B (m)$	$i$	$n$	$\lambda$	$T (t)$	$\bar{\tau} (kg)$	$\bar{\tau}_b (kg/cm^2)$	$\bar{\tau}_b (kg/cm^2)$
L7	1,96	391,0	0,0625	0,25	3	7,84	1,88	19,25	11,72	40,91
L2	~	~	~	~	s	s	1,88	s	11,72	40,91
K7	~	s	s	s	s	s	1,991	s	12,41	40,91
K2	~	s	s	s	s	s	1,991	s	12,41	s
L4	~	s	s	s	s	s	2,142	s	13,35	s
K4	~	s	s	s	s	s	1,991	s	12,41	s
K6	s	s	s	s	s	s	2,219	s	13,83	s
O7	~	s	s	s	s	s	1,782	s	11,11	s
N7	s	s	s	s	s	s	1,826	s	11,38	s
O6	s	s	s	s	s	s	1,826	s	11,61	s
N6	s	s	s	s	s	s	1,655	s	10,31	s

3<sup>o</sup> PARTIE

**MINIRET**

## ESCALIER à noyau CENTRAL



### a) Calcul de la console:

poids propre de la console:  $V = \iiint dx dy dz$ ,  $0 \leq x \leq 80$

$$-a - x \operatorname{tg} \theta \leq y \leq +a + x \operatorname{tg} \theta \quad \operatorname{tg} \theta = \frac{b}{x} = \frac{21}{80} \text{ et } |a| = 9$$

$$-9 - x \frac{21}{80} \leq y \leq +9 + x \frac{21}{80}$$

$$0 \leq z \leq 18 - x \operatorname{tg} \theta, \operatorname{tg} \theta = \frac{18 - 8}{80} = \frac{10}{80}$$

$$V = \int_0^{80} dx \int_{-9 - \frac{21}{80}x}^{+9 + \frac{21}{80}x} dy \int_0^{18 - \frac{10}{80}x} dz =$$

$$= \int_0^{80} dx \left( 18 + \frac{42}{80}x \right) \left( 18 - \frac{10}{80}x \right), \quad V = \int_0^{80} dx \left( 324 + \frac{576}{80}x - \frac{180}{80}x - \frac{420}{80^2}x^2 \right)$$

$$V = \int_0^{80} dx \left( 324 + \frac{576}{80}x - \frac{420}{80^2}x^2 \right)$$

$$V = \left[ 324x + \frac{576}{80 \cdot 2}x^2 - \frac{420}{80^2 \cdot 3}x^3 \right]_0^{80}, \quad V = 25920 + 23040 - 11200 = 37760 \text{ m}^3$$

$$P = \gamma_b \cdot V = 2,5 \times 10^{-3} \times 37760 = 94,4 \text{ kg}$$

### - Calcul du point d'application :

On a  $y_G = 0$  car symétrie

$$x_G = \frac{1}{V} \iiint x dx dy dz, \quad x_G = \frac{1}{V} \int_0^{80} x dx \left( 324 + \frac{576}{80}x - \frac{420}{80^2}x^2 \right)$$

$$x_G = \frac{1}{37760} \int_0^{80} \left( 324x + \frac{576x^2}{80} - \frac{420}{80^2} x^3 \right) dx = \frac{1}{37760} \left[ \frac{324}{2} x^2 + \frac{576}{80 \times 3} x^3 - \frac{420 \times x^4}{80^2 \cdot 4} \right]_0^{80}$$

$$x_G = \frac{1}{37760} \left[ 1036800 + 1228800 - 672000 \right] = 42,20 \text{ cm.}$$

Calcul de la surcharge  $S_r$ :  $A = 250 \text{ kg/cm}^2$

$$\begin{aligned} \text{Calcul de la surface: } S &= \iint dx dy = \int_0^{80} dx \int_{-9 - \frac{21}{80}x}^{+9 + \frac{21}{80}x} dy = \int_0^{80} \left( 18 + \frac{42}{80}x \right) dx \\ &= \left[ 18x + \frac{42}{80 \cdot 2} x^2 \right]_0^{80} = 1440 + 1680 = 3120 \text{ cm}^2 \end{aligned}$$

$$\text{Surcharge } S_r = 250 \times 3120 \times 10^{-4} \times 1,2 = 93,6 \text{ kg.}$$

Point d'application de la surcharge:

$$y_G = 0$$

$$\begin{aligned} x_G &= \frac{1}{S} \iint x dx dy = \frac{1}{S} \int_0^{80} \left( 18x + \frac{42}{80}x^2 \right) dx = \frac{1}{3120} \left[ \frac{18x^2}{2} + \frac{42}{80} \cdot \frac{x^3}{3} \right]_0^{80} \\ &= \frac{1}{3120} [57600 + 89600] = 47,17 \text{ cm.} \end{aligned}$$

c) Calcul du moment d'enca斯特ement:

$$M = P x_{ps} + S_r x_{ps} = (94,4 \times 42,2 + 93,6 \times 47,17) \times 10^{-2} = 83,98 \text{ kg.m.}$$

d) Calcul de l'effort tranchant:

$$T = 94,4 + 93,6 = 188 \text{ kg.} \quad A = \frac{M}{376a} = \frac{83,98 \times 10^{-2}}{\frac{7}{8} \cdot 8 \cdot 2800} = 0,42 \text{ cm}^2$$

$$\text{on prend: } 3T8 = 1,5 \text{ cm}^2.$$

pour les armatures de répartition on choisit  $\zeta_{ps} = 1,41 \text{ cm}^2$

Le calcul du noyau a été précisé par Nickolsky, le moment de flexion dans le noyau est sinusoidal, le long de sa hauteur

$$M = \frac{q a^3}{3} \left( 1 - \cos \pi \frac{x}{a} \right) \quad a = 95 \text{ cm}$$

un maximum pour  $x = (2n+1) h$  d'où

$$M = \frac{2}{3} q a^3$$

$$G = \frac{18+8}{2} \cdot 10^{-2} \times 2800 = 325 \text{ kg/cm}^2$$

$$P = 250 \text{ kg/cm}^2$$

q: charge par  $\text{m}^2$  de projection  
a: direction du centre de noyau à l'excentricité du marche

Le calcul ci-dessus admet que l'extrémité du moyen pout simplement appuyée.  
Si l'encastrement le maximum du moment est plus faible.

$$M = \frac{2}{3} q a^3$$

$$q = G + 1,2 p = 325 + 1,2 \times 250 = 625 \text{ kg/m}$$

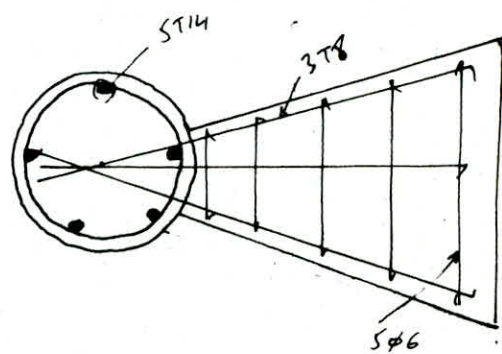
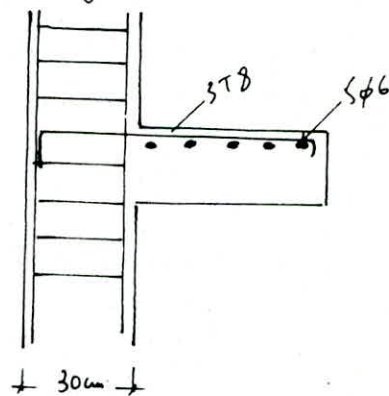
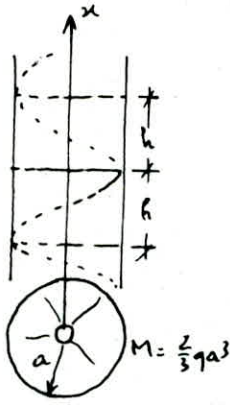
$$M = \frac{2}{3} \cdot 625 \cdot 0,95^3 = 357,23 \text{ kg.m} \quad \left\{ \begin{array}{l} K_a = \frac{M}{r^3 \cdot \delta_a} = \frac{357,23 \times 10^2}{15^3 \cdot 2800} = 3,7 \cdot 10^{-3} \\ K_c = \frac{N_F}{M} = 0 \end{array} \right.$$

$$K = 51,26 ; \bar{w} = 0,27$$

(aide mémoire section) page 194.

$$A = \frac{\bar{w} \cdot \pi r^2}{100} = \frac{0,27 \cdot 3,14 \times 15^2}{100} = 1,9 \text{ cm}^2 , \quad G_b = \frac{G_a}{K} = \frac{2800}{51,26} = 54,62 \angle G_b = 137 \text{ kg/cm}$$

On constate que la section d'armature est très faible et comme RPA 81 version 83 précise que les armatures utilisées dans les poteaux devront espacé au maximum 25 mm est le diamètre au moins égal à 14 mm. on utilise ST14 = 7,69 cm<sup>2</sup>



## Calcul de la dalle et Ferrailage:

La dalle à une ouverture de  $1,90 \times 1,90\text{m}$ .

$$f = \frac{l_x}{l_y} = 1 \Rightarrow \text{dalle appuyée sur 4 côtés}$$

$$M_{xx} = M_x \cdot q l_x^2, \quad M_y = M_y \cdot M_{xx}, \quad q = G + 1,2P.$$

$$P = 250 \text{ kg/m}^2, \quad G = 0,10 \times 2500 = 250 \text{ kg/m}^2 \rightarrow q = 550 \text{ kg/m}^2$$

$$\begin{cases} M_{xx} = 0,0423 \times 550 \times 3,6^2 = 301,5 \text{ kg.m} \\ M_{yy} = M_{xx} = 301,5 \text{ kg.m} \end{cases}$$

$$2G > S$$

plancher à faible surcharge on applique la méthode forfaite

$$\text{On respectant: } M_E + \frac{M_w + M_e}{2} \geq 1,25 M_o$$

$$\text{on prend } M_w = M_e = 0,5 M_o.$$

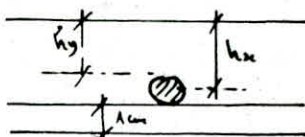
$$M_E = 0,75 M_o$$

$$\begin{cases} M_{xx} = M_{yy} = 0,75 M_{ox} = 226,12 \text{ kg.m} \\ M_{ox} = M_{oy} = 0,5 M_{ox} = 150,75 \text{ kg.m} \end{cases}$$

## Calcul des armatures:

$$\text{on utilise } \phi 6, \quad h_{xc} = 10 - 1 - \frac{0,6}{2} = 8,7 \text{ cm}$$

$$h_{yc} = h_{xc} - \frac{\phi}{2} = 8,4 \text{ cm}$$



$$z_{xc} = 0,5 h_{xc} = 7,83, \quad z_y = 7,56 \text{ cm}$$

$$A = \frac{M}{z_{xc}} \quad \text{méthode approchée}$$

$$A_{xc} = A_{ty} = \frac{226,12 \cdot 10^2}{2800 \cdot 7,83} = 1,04 \text{ cm}^2 \rightarrow 6 \phi 6 = 1,69 \text{ cm}^2$$

$$A_{ox} = A_{oy} = \frac{150,75 \cdot 10^2}{2800 \cdot 7,83} = 0,687 \text{ cm}^2 \rightarrow 4 \phi 6 = 1,13 \text{ cm}^2$$

espacement : min  $\left\{ \frac{3h}{4}, \frac{33 \text{ cm}}{4h}, \frac{44 \text{ cm}}{44 \text{ cm}} \right\}$

Calcul des espacements pour  $\phi 6, \quad A = 0,28 \text{ cm}^2$

$$A_{xc} = A_{ty} = 1,69 \text{ cm}^2$$

espacement  
16,56 cm.

$$< 33 \text{ cm}$$

$$A_{ox} = A_{oy} = 1,13 \text{ cm}^2$$

$$24,77 \text{ cm}$$

$$< 44 \text{ cm}$$

### Calcul d'effort tranchant :

$$T_x = q l_x l_y^4 \left[ \frac{1}{2(l_y^4 + l_x^4)} \right], \quad T_y = q l_y l_x^4 \left[ \frac{1}{2(l_y^4 + l_x^4)} \right]$$

$$\bar{z}_b = \frac{T}{b \cdot z} = \frac{495}{2800 \cdot 7,83} = 1,15 \bar{b}_b = 6,78 \text{ kg/cm}^2, \quad T_x = T_y = 495 \text{ kg.}$$

$$\bar{z}_b = \frac{495}{8,75 \cdot 100} = 0,56 < 6,78 \text{ kg/cm}^2 \quad \text{pas besoin d'armatures transversales.}$$

- pour le calcul d'armature de compensation pour l'ouverture

$$M_{0x} = M_{0y} = 84 \text{ kg.m} \quad M_{tx} = M_{ty} = 63 \text{ kg.m}, \quad H_{ax} = H_{ay} = 42,6 \text{ kg.m.}$$

$$A_{tx} = A_{ty} = \frac{63 \cdot 10^2}{2800 \cdot 7,83} = 0,287 \text{ cm}^2 \rightarrow 2 \phi 6 = 0,56 \text{ cm}^2.$$

$$A_{ax} = A_{ay} = \frac{42,6 \cdot 10^2}{2800 \cdot 7,83} = 0,19 \text{ cm}^2 \rightarrow 2 \phi 6 = 0,56 \text{ cm}^2.$$

- Condition de non fissuration:

$$\begin{cases} \sigma_1 = \frac{K_u}{\phi} \frac{\bar{\sigma}_f}{1 + 10 \bar{\sigma}_f} = 251,1 \text{ kg/cm}^2 \\ \sigma_2 = 2,4 \sqrt{\frac{M_u}{K} \bar{b}_b} = 3686,9 \text{ kg/cm} \end{cases} \quad \text{d'où } \bar{\sigma}_{ef} = \min \left\{ \begin{array}{l} \max \sigma_1 = 251,1 \\ \sigma_2 = 3686,9 \\ \sigma_a = 2800 \end{array} \right\} \Rightarrow \bar{\sigma}_{ef} = 2800$$

pas de risque de fissuration.

- Vérification des contraintes:

$$\bar{\omega} = \frac{100 \cdot A}{b \cdot h} = 0,169 \Rightarrow \epsilon = 0,9329, \quad K = 59,5$$

$$\text{L'où } \sigma_a = \frac{M}{E h A} = \frac{22612}{0,9329 \cdot 10 \cdot 1,69} = 1434,2 \text{ kg/cm}^2 < 2800 \text{ kg/cm}^2$$

$$\bar{b}_b' = \frac{\sigma_a}{K} = 24,1 \text{ kg/cm}^2 < \bar{b}_b' = 137 \text{ kg/cm}^2$$

- Vérification de non fragilité:

$$A = 0,69 b h \frac{\bar{b}_b}{\bar{\sigma}_{eu}} = 0,969$$

\* en traveé :  $A_t = 1,69 > 0,969 \text{ cm}^2$  vérifié

\* en appui :  $A_a = 1,13 > 0,969 \text{ cm}^2$  = =

- Vérification des armatures: (c.c.b.A 68 Art 52)

$$\frac{A_x}{b h} \geq \frac{\psi}{2} (2-5) \frac{\bar{b}_b}{\bar{\sigma}_a} \left( \frac{h_o}{h_{re}} \right)^2, \quad \frac{A_x}{b \cdot h} = \frac{1,69}{10 \cdot 100} = 1,69 \cdot 10^{-3}$$

$$\frac{\psi}{2} (2-5) \frac{\bar{b}_b}{\bar{\sigma}_a} \left( \frac{h_o}{h_{re}} \right)^2 = 6,53 \cdot 10^{-4} \quad \text{d'où } 1,69 \cdot 10^{-3} > 6,53 \cdot 10^{-4} \quad \text{vérifiée.}$$

### Ferraillage du balcon:

Largeur = 70 cm ; épaisseur = 10 cm soumis à :

- poids propre :  $2,5 \times 0,1 = 0,25 t/m^2$

- accotement :  $1 \times 2,5 \times 0,12 = 0,3 t \rightarrow P = 0,36 t$

- maximum courante :  $100 \text{ Kg}/\text{m}$   $\rightarrow M_o = 1,2 \times 0,36 \times 1 \times 100 = 0,468 t.m.$

- charge d'exploitation :  $250 \text{ Kg}/\text{m}^2$ ,  $q = G + 1,2f = 1^m (0,25 + 1,2 \times 0,25) = 0,55 t/m^2$   
Pour l'enca斯特rement :  $M = (-M_o + Pl + \frac{qel}{2}) = 0,854 t.m.$

### Ferraillage:

$$b = 100 \text{ cm}, h_f = 10 \text{ cm}, d = 2 \text{ cm}, \bar{h} = 8 \text{ cm}$$

$$\mu = \frac{M}{G_a \cdot b \cdot h^2} = \frac{1,5 \times 0,854}{2800 \cdot 100 \cdot 8^2} = 0,0714 \rightarrow \varepsilon = 0,8906 \rightarrow K = 30,7, \bar{w} = 0,535$$

$$\bar{G}_b' = \frac{\bar{G}_a}{K} = \frac{2800}{30,7} = 91,20 < \bar{G}_b = 137 \text{ Kg/cm}^2 \rightarrow A = 4,2 \text{ cm}^2$$

On choisit  $6T10 = 4,71 \text{ cm}^2$  espacé 16 cm.

pour armatures de répartition  $\frac{1}{4} \div \frac{1}{2}$  armatures principales  
soit  $4T8 = 2,01 \text{ cm}^2$

### ① vérification à l'effort tranchant:

$$\bar{Z}_b = 1,15 \bar{G}_b = 1,15 \times 5,9 = 6,785 \text{ Kg/cm}. ; T = ql + p = 0,745 t$$

$$\bar{G}_b = \frac{T}{b \cdot \bar{h}} = 1,06 \text{ Kg/cm}^2 < \bar{Z}_b \quad \text{vérifié}$$

### ② vérification des contraintes:

$$M = 0,854 \text{ t.m.} \quad \bar{w} = 100 \cdot \frac{A}{b \cdot \bar{h}} = 100 \cdot \frac{4,71}{100 \cdot 8} = 0,558, \quad K = 29, \quad \varepsilon = 0,8864$$

$$G_a = \frac{M}{A \cdot \varepsilon \cdot \bar{h}} = 2559,6 < 2800 \text{ Kg/cm}^2, \quad \bar{G}_b' = \frac{\bar{G}_a}{K} = \frac{2556,9}{29} = 88,17 \text{ Kg/cm}^2 < \bar{G}_b' = 137$$

### ③ vérification à la non fissuration:

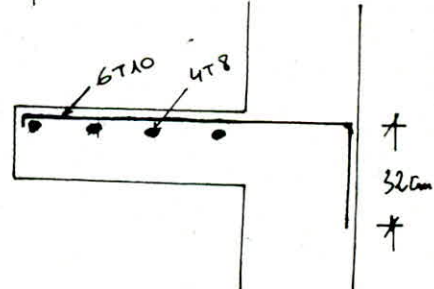
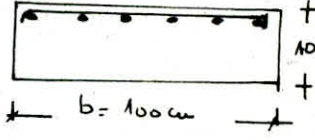
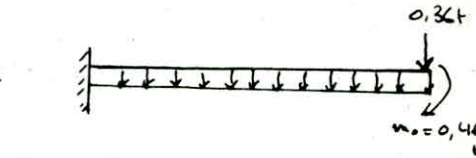
$$w_f = \frac{A}{B_f} = \frac{4,71}{2 \cdot 2 \cdot 100} = 0,0197, \quad K = 1,5 \cdot 10^6$$

$$\bar{G}_1 = \frac{K w}{\mu} \frac{w_f}{1+10w_f} = 1713 \text{ Kg/cm}^2$$

$$\bar{G}_2 = 2,4 \sqrt{\frac{K w \bar{G}_b}{\mu}} = 2855,9 \text{ Kg/cm}^2 > 2800 \text{ Kg/cm}^2, \text{ vérifié}$$

$$ld = \frac{\phi}{4} \cdot \frac{\bar{G}_a}{\bar{Z}_d}, \quad \bar{Z}_d = 2,5 \psi_d \cdot \bar{G}_b = 22,125 \text{ Kg/cm}^2.$$

$$ld = \frac{10}{4} \cdot \frac{2800}{22,125} = 31,63 \rightarrow \text{soit } ld = 32 \text{ cm}$$



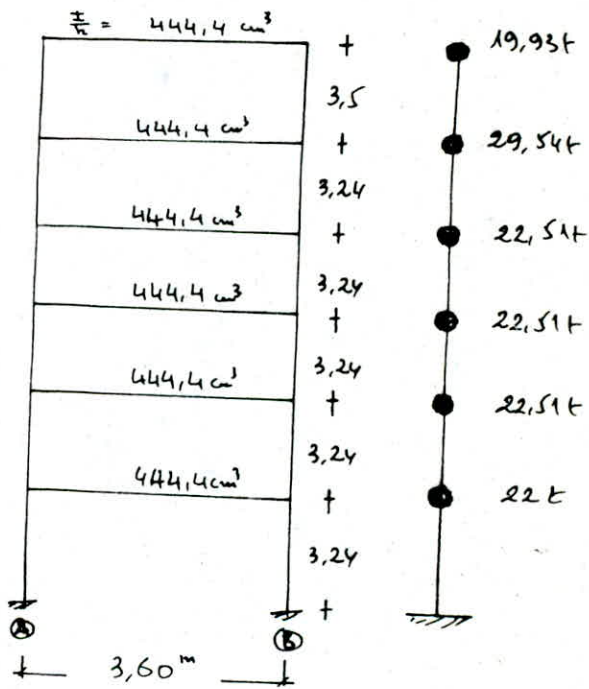
## ETUDE DU MINARET

Introduction: Le minaret est en forme carré de (3,90 x 3,90), en béton armé le système de contreventement est en portique, il est de hauteur 21,20m.

Analyse sismique: L'analyse sismique d'une structure est nécessaire, pour cela on présente la structure par un modèle mathématique  
choix du modèle:

pour notre ouvrage le modèle retenu est la console encastré à la base, avec des masses concentrées; le déplacement sera dans un seul sens, dans le plan horizontal

Niv	Pot	K	a <sub>j</sub>	K <sub>p</sub>	a <sub>j</sub> K <sub>p</sub>	D <sub>j</sub>	R <sub>j</sub>
6	A	4,60	0,69	192,8	133,03		
	B	4,60	0,69	192,8	133,03	266,0	9880
5,4	A	4,26	0,68	208,33	141,66		
	B	4,26	0,68	208,33	141,66	32	12270
3 et 2	A	2,13	0,637	208,33	132,7		
	B	2,13	0,637	208,33	132,7	265,4	11510
1	A						
	B						



Poteaux: (30 x 30)

Poutres: (30 x 40)

### Méthode de HOLZER:

Principe de la méthode: c'est une méthode itérative basée sur la notion de rigidité relative du niveau  
par définition la rigidité du niveau "j" est donnée par:

$$R_j = \frac{T_j}{x_j - x_{j-1}} \quad \text{d'où} \quad x_{j-1} = x_j - \frac{T_j}{R_j}, \quad T_j = \sum_{k=j}^n F_k, \quad F_k = m_k \omega^2 x_k.$$

$$x_{j-1} = x_j - \frac{\omega^2}{R_j} \sum_{k=j}^n m_k x_k, \quad x_j(t) = x_j \sin(\omega t + \phi)$$

$$\text{d'où} \quad x_{j-1} = x_j - \frac{\omega^2}{R_j} \sum_{k=j}^n m_k x_k \quad (1)$$

Condition au limite :

- à la base de la structure le déplacement relatif du niveau est nul  $x_0 = 0$  au sommet ou prend  $x_n = 1$ .

Les formes propres sont définies à une constante près :

$$x_1 = x_2 - \frac{\omega^2}{R_2} \sum_{k=2}^n m_k x_k, \quad x_0 = 0 = x_1 - \frac{\omega^2}{R_1} \sum_{k=1}^n m_k x_k \Rightarrow x_1 = \frac{\omega^2}{R_1} \sum_{k=1}^n m_k x_k.$$

La condition à la base donne :  $x_0 = 0 \Rightarrow \frac{\omega^2}{R_1} \sum_{k=1}^n m_k x_k = x_2 - \frac{\omega^2}{R_2} \sum_{k=2}^n m_k x_k$  (2)

La méthode de HOLZER consiste à la détermination des pulsations  $\omega_1, \omega_2, \dots, \omega_n$  et des formes propres  $x_1, x_2, \dots, x_n$  en résolvant l'équation de récurrence (1) par approximation successive pour  $\omega$  dont la bonne valeur satisfait la condition à la base [équation (2).]

determination de la période :

$$\omega^2 = 29,5$$

k	$m_k$ (kg)	$m_k \omega^2$	$x_k$	$m_k \omega^2 x_k$ $\times 10^4$	$\sum m_k x_k$ $\times 10^4$	$R_k$ $10^3 \text{ N/m}$	$\frac{\sum m_k x_k \omega^2}{R_k}$
6	19930	58,79	1,00	58,79	58,79	0,988	0,059
5	29540	87,14	0,940	81,95	140,74	1,227	0,114
4	22510	66,40	0,825	54,79	195,53	1,227	0,159
3	22510	66,40	0,665	44,19	239,72	1,227	0,195
2	22510	66,40	0,469	31,18	270,90	1,227	0,220
1	22000	64,9	0,248	16,10	287,00	1,151	0,249

$$\omega^2 = 265$$

k	$m_k$	$m_k \omega^2$	$x_k$	$m_k \omega^2 x_k$ $\times 10^4$	$\sum m_k x_k$ $\times 10^4$	$R_k$ $\times 10^7$	$\frac{\sum m_k x_k \omega^2}{R_k}$
6	19930	528,14	1,00	528,14	528,14	0,988	0,534
5	29540	782,81	0,465	364,35	892,49	1,227	0,727
4	22510	596,51	-0,262	-156,51	735,9	1,227	0,599
3	22510	596,51	-0,861	-513,59	222,3	1,227	0,181
2	22510	596,51	-1,042	-621,11	-399,36	1,227	-0,325
1	22000	583	-0,717	-418,01	-817,37	1,151	-0,718

$$\omega = \frac{2\pi}{T} \Rightarrow T = \frac{2\pi}{\omega}$$

$$T = \frac{2\pi}{\sqrt{29,5}} = 1,156 \Delta$$

1<sup>er</sup> mode

$$T = \frac{2\pi}{\sqrt{265}} = 0,385 \Delta$$

2<sup>nd</sup> mode

méthode de STODOLA - VIANELLA:

La déformation et la période du 1<sup>er</sup> mode de vibration sont évaluées par itération. Les modes suivants peuvent ensuite être déterminés tout en se basant sur l'orthogonalité des vecteurs propres.  
Les caractéristiques nécessaires sont: matrice de rigidité, de souplesse, de masse et la matrice dynamique.

$$[D] = [S][M]$$

$$\text{Si } \frac{1}{R}$$

matrice de rigidité:

$$\begin{bmatrix} K_1 & -K_1 & 0 & 0 & 0 & 0 \\ -k_1 & (k_1+k_2) & -k_2 & 0 & 0 & 0 \\ 0 & -k_2 & (k_2+k_3)-k_1 & 0 & 0 & 0 \\ 0 & 0 & -k_3 & (k_3+k_4)-k_2 & 0 & 0 \\ 0 & 0 & 0 & -k_4 & (k_4+k_5)-k_3 & 0 \\ 0 & 0 & 0 & 0 & -k_5 & (k_5+k_6) \end{bmatrix}$$

matrice de souplesse:

$$\begin{bmatrix} \Delta_1 + \Delta_2 + \Delta_3 + \Delta_4 + \Delta_5 + \Delta_6 & \Delta_2 \div \Delta_6 & \Delta_3 \div \Delta_6 & \Delta_4 \div \Delta_6 & \Delta_5 \div \Delta_6 & -\Delta_6 \\ \Delta_2 \div \Delta_6 & \Delta_2 \div \Delta_6 & \Delta_3 \div \Delta_6 & \Delta_4 \div \Delta_6 & \Delta_5 \div \Delta_6 & \Delta_6 \\ \Delta_3 \div \Delta_6 & \Delta_3 \div \Delta_6 & \Delta_3 \div \Delta_6 & \Delta_4 \div \Delta_6 & \Delta_5 \div \Delta_6 & \Delta_6 \\ \Delta_4 \div \Delta_6 & \Delta_4 \div \Delta_6 & \Delta_4 \div \Delta_6 & \Delta_4 \div \Delta_6 & \Delta_5 \div \Delta_6 & \Delta_6 \\ \Delta_5 \div \Delta_6 & \Delta_6 \\ \Delta_6 & \Delta_6 & \Delta_6 & \Delta_6 & \Delta_6 & \Delta_6 \end{bmatrix}$$

matrice masse:

$$M = \begin{bmatrix} 19,93 & 0 & \dots & 0 & \dots & 0 \\ 0 & 29,54 & & & & \\ \vdots & & 22,51 & & & \vdots \\ 0 & & & 22,51 & & \\ \vdots & & & & 22,51 & \\ 0 & \dots & \dots & 0 & & 22 \end{bmatrix}$$

La matrice dynamique sera calculer par:  $[D] = [S]. [M]$   
 On détermine le vecteur deplacement  $\{U_1\}$  par la formule:  $\{U_1\} = \omega^2 [S]. [M] \{U_0\}$

Calcul du mode fondamental:  
 On part d'une déformation approchée normalisée  $\{\bar{U}_1\} = \begin{bmatrix} 1 \\ 1 \\ 1 \\ 1 \\ 1 \\ 1 \end{bmatrix}$

$$\{U_1\} = [S]. [M] \{U_0\} = [D] \{U_0\}$$

La matrice dynamique  $[D]$ :

$$\begin{bmatrix} 10,1 & 12,11 & 7,4 & 5,58 & 3,76 & 1,89 \\ 8,17 & 12,11 & 7,4 & 5,58 & 3,76 & 1,89 \\ 6,55 & 9,71 & 7,4 & 5,58 & 3,76 & 1,89 \\ 4,94 & 7,32 & 5,58 & 5,58 & 3,76 & 1,89 \\ 3,32 & 4,93 & 3,76 & 3,76 & 3,76 & 1,89 \\ 1,71 & 2,54 & 1,93 & 1,93 & 1,93 & 1,89 \end{bmatrix}$$

$$\{U_0\} = \begin{bmatrix} 1 \\ 1 \\ 1 \\ 1 \\ 1 \\ 1 \end{bmatrix}$$

$$\{\bar{U}_1^{(1)}\} = \begin{bmatrix} 40,84 \\ 29,91 \\ 34,89 \\ 29,07 \\ 21,42 \\ 11,93 \end{bmatrix} \rightarrow \{U_1^{(1)}\} = \begin{bmatrix} 1,00 \\ 0,937 \\ 0,854 \\ 0,711 \\ 0,524 \\ 0,292 \end{bmatrix}; \{\bar{U}_1^{(2)}\} = \begin{bmatrix} 34,74 \\ 32,81 \\ 28,84 \\ 23,34 \\ 16,54 \\ 8,77 \end{bmatrix} \rightarrow \{U_1^{(2)}\} = \begin{bmatrix} 1,00 \\ 0,944 \\ 0,830 \\ 0,671 \\ 0,476 \\ 0,252 \end{bmatrix}$$

$$\{\bar{U}_1^{(3)}\} = \begin{bmatrix} 33,68 \\ 31,75 \\ 27,86 \\ 22,49 \\ 15,88 \\ 8,39 \end{bmatrix} \rightarrow \{U_1^{(3)}\} = \begin{bmatrix} 1,00 \\ 0,942 \\ 0,827 \\ 0,667 \\ 0,471 \\ 0,249 \end{bmatrix}; \{\bar{U}_1^{(4)}\} = \begin{bmatrix} 33,59 \\ 31,66 \\ 27,78 \\ 22,41 \\ 15,82 \\ 8,36 \end{bmatrix} \rightarrow \{U_1^{(4)}\} = \begin{bmatrix} 1,00 \\ 0,942 \\ 0,827 \\ 0,667 \\ 0,471 \\ 0,249 \end{bmatrix}$$

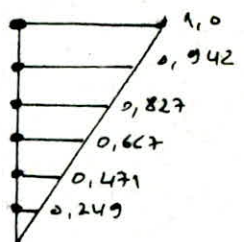
$$\omega^2 = \varphi \frac{U_{11}}{U_{11}} = \frac{981}{33,59} = 29,20, \quad T = \frac{2\pi}{\omega} = 1,16 \text{ s}$$

$$\omega = 5,4 \text{ rad/s}$$

Calcul des coefficients de participation:

$$n_1 = \frac{(\sum m_j x_j)^2}{\sum m_j \sum m_j x_j^2} = \frac{255 \times 291,2}{139 \times 22570,78} = 0,8147$$

$n_1 = 81,47\% > 78\%$  donc le 1<sup>er</sup> mode est largement suffisant.



## ETUDE AU VENT.

I) GENERALITÉ: Le vent est assimilé à des forces statiquement appliquées à la construction, ces forces dépendent de la région, du site, de l'altitude, des dimensions, de la majoration dynamique, des coefficients de traînée et de l'effet du masque.

En effet le vent correspond à un phénomène vibratoire qui met en mouvement la structure resistante caractérisé par sa période propre fondamentale. L'introduction du coefficient de majoration dynamique permet de substituer à tous ces phénomènes. La direction d'ensemble moyenne du vent est supposée horizontale, dans les calculs, on devrait envisager une pression dynamique normale et extrême du vent. Le rapport  $\frac{P_e}{P_0} = 1,75$ . Ces actions seront déterminées par la relation donnée D.T.U. NV 65.

II) pression dynamique:

$$q = q_H \cdot K_s \cdot K_m \cdot \delta$$

$$q_H = q_{10} \cdot 2,5 \cdot \frac{H+18}{H+60}$$

$q_H$ : pression de base au niveau H.

H: hauteur de la construction.

$q_{10}$ : la pression de base à l'ouvert.

coef  $\delta$ : il tient compte de l'effet de dimension, il est fonction de la hauteur de la construction et de niveau pris en considération  
 $\delta = 0,7$        $H \leq 30 \text{ m}$ .       $H = 21,2 \text{ m}$ .      (NV65 fig RIII.2)

effet du masque  $K_m$ : On suppose que notre ouvrage n'est pas abrité par une construction       $K_m = 1$

effet de site  $K_s$ :

Région II site exposé  $\rightarrow K_s = 1,3$ .

H(m)	$q_{10} (\text{kg/m}^2)$	$K_s$	$K_m$	$\delta$	$q_u (\text{kg/m}^2)$	$q_e (\text{kg/m}^2)$
0	52,5	1,3	1	0,7	43,77	83,6
10	70	1,3	1	0,7	63,7	111,47
15	77	1,3	1	0,7	70,07	122,62
19,7	82,77	1,3	1	0,7	75,32	131,81

Action d'ensemble:

L'action d'ensemble du vent soufflant dans une direction donnée sur une construction se ramène à la résultante R de trois forces.

La traînée T: suivant la direction horizontale du vent, elle produit un effet d'entraînement et de renversement.

La dérive L: suivant la direction perpendiculaire à celle du vent dans le plan horizontal

La portance U: suivant une direction ascendante verticale, elle produit un effet de soulevement et éventuellement de renversement.  
La traînée:

$$T = S \cdot C_t \cdot \beta \cdot q_{\text{air}} \text{ et} \quad , \quad C_t = \gamma_0 \cdot C_{t0} \quad , \quad C_{t0} = 0,85 \rightarrow C_t = 1,3$$

$$S = 12,96 \text{ m}^2, \quad h = 19,7 \text{ m} \Rightarrow \lambda = \frac{h^2}{S} = 29,94$$

Coefficient dynamique  $\beta$ : Le vent peut engendrer des effets dynamiques qui dépendent des caractéristiques aerodynamiques et mécaniques de la construct avec en tout premier lieu la période fondamentale d'oscillation de la structure dans la direction étudiée. Les oscillations parallèles à la direction du vent se produisent sous l'action de rafale, il existe une interaction dynamique entre les forces engendrées par les accélérations et décelérations irrégulières répétées et variables en durée, il en résulte une aggravation des déformations et pour suite des oscillations et de leurs effets dont tient compte le coefficient  $\beta$  par lequel il convient de majorer les actions statiques si toute fois ce coefficient est supérieur à 1.

$$\beta = (1 + \xi \zeta) \theta$$

$\xi$ : coef de reprise, il est donné en fonction de la période (NV.65. RIII.3)

$$T = 1,16 \text{ s} \Rightarrow \xi = 0,45$$

$\zeta$ : coef de pulsation, il est déterminé à chaque niveau considéré en fonction de la côte H au dessus du sol pour l'échelle fig RIII.4

$\theta$ : coef global dépend du type de construction.

$$\theta = 0,7 \text{ pour } H \leq 30 \text{ m} \quad \text{car} \quad \theta = 0,7 + 0,01(H - 30)$$

H	$\zeta$	$\theta$	$\xi$	$1 + \zeta \xi$	$\beta$
0	0,36	0,7	0,45	1,162	0,813
10	0,36	0,7	0,45	1,162	0,813
15	0,355	0,7	0,45	1,159	0,811
19,7	0,33	0,7	0,45	1,148	0,803

$$T = C_t \cdot d \cdot q , T_n = 8 \cdot C_t \cdot \beta \cdot q_{cr} \cdot d = 3,276 \beta q_{cr}$$

H (m)	$q_n$ (kg/m²)	$q_c$	$T_m$ (kg/m)	$T_{re}$
0	47,775	83,6	127,24	222,63
10	63,7	111,47	169,65	296,9
15	70,07	122,6	186,16	325,78
19,7	75,32	131,81	198,13	346,74

d: largeur du manteau couple.

La derive: elle correspond à la force qui prend en compte l'action des tourbillons de KARMAN, on admet que la construction est soumise à une force statique

$$L = S \cdot C_L \beta' q_{cr} d \frac{+1}{h}$$

S: coefficient tenant compte des dimensions

$C_L$ : coefficient de derive pris égal à 0,2

$\beta'$ : coefficient de majoration dynamique tenant compte de l'amortissement

$q_{cr}$ : pression dynamique critique correspondant à la vitesse de résonnance

d: largeur du manteau couple.

h: hauteur de la construction.

H: côté de niveau considéré, compté à partir du sol.

La théorie de KARMAN montre que la période des tourbillons est donnée par:

$$T_K = \frac{d}{S \cdot V}$$

V: vitesse du fluide

S: nombre de STRAUHOL, S = 0,25

La résonnance est obtenue lorsque  $T_K = T$ .

T: période de vibration propre de la construction,  $V_{cr} = \frac{d}{S \cdot T}$

L'augmentation de la vitesse du vent diminue la possibilité de mise en résonnance, on a donc admis arbitrairement qu'à partir d'une vitesse 25 m/s, il est utile de faire un calcul de résonnance

$$d = 3,6 \text{ m}, T = 0,831 \quad V_{cr} = 17,32 \text{ m/s} < 25 \text{ m/s}$$

$$\beta' = 0,3 \quad L = 0,7 \times 0,2 \times 0,3 \times 3,6 \times \frac{3,6}{19,7} q_{cr} = 0,027 q_{cr}$$

La portance U:

$$U = C_u \cdot \delta \cdot q_H \cdot S_u$$

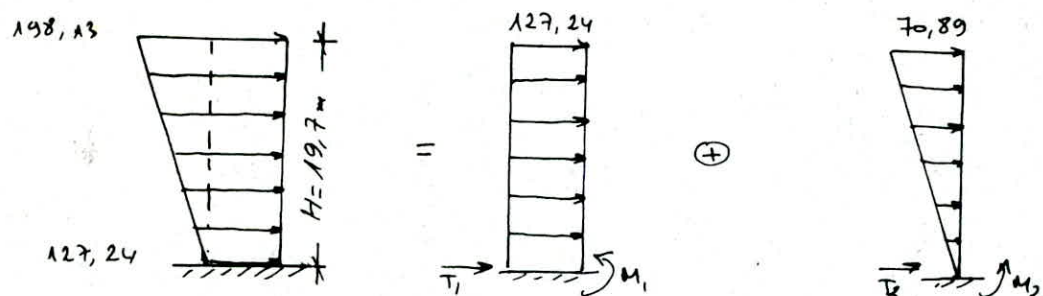
$$U = 0,8 \times 0,7 \times 75,32 \times 12,96 = 546,64 \text{ kg}$$

Le poids de notre ouvrage est largement supérieur à la force de portance U, donc pas risque de soulèvement.

Sollicitation: La traînée est la force la plus importante, on suppose que cette force est linéaire.

Pour la détermination des efforts ( $M, T$ ), on assimilera notre ouvrage à une console soumise à une charge trapézoïdale, cette charge sera décomposée en une charge rectangulaire et une autre triangulaire.

Calcul du  $M$  et  $T$  à la base du minaret:



$$T_1 = 19,7 \times 127,24 = 2,506t \quad , \quad T_2 = 19,7 \times \frac{70,89}{2} = 0,698t$$

$$T_{Vn} = 2,506 + 0,698 = 3,204t \quad , \quad T_{Ve} = 1,75T_{Vn} = 5,72t$$

$$M_1 = 127,24 \cdot \frac{(19,7)^2}{2} = 24,69t.m$$

$$M_2 = 70,89 \cdot \frac{19,7}{2} \cdot \frac{2}{3} \cdot 19,7 = 9,17t.m$$

$$M_{Vn} = 24,69 + 9,17 = 33,86t.m \quad , \quad M_{Ve} = 60,42t.m$$

Conclusion: on constate que le pessisme est plus défavorable que l'effet du vent

## ETUDE SISMIQUE:

La force sismique minimale (formule de base) est donné par la formule (RPA 81 Art 3.3.1)

$$V = A \cdot D \cdot B \cdot Q \cdot W$$

A: coef d'accélération de zone , groupe 2  
zone 2 }  $\Rightarrow A = 0,15$

D: facteur d'amplification dynamique moyen, il est fonction de la période et du sol de fondation

$$\text{sol meuble } D = 2 \sqrt{\frac{0,5}{T}} \text{ avec maximum égal 2}$$

$$T = 1,16 \text{ s} \Rightarrow D = 1,313$$

B: facteur de comportement de la structure contrevent portique  $B = \frac{1}{4}$

Q: facteur de qualité :  $Q = 1 + \sum_{q=1}^6 P_q$ ,  $Q = 1,4$

$$\text{d'où } V = 0,15 \times \frac{1}{4} \times 1,4 \times 1,313 \times 107,71 = 7,424 \text{ t}$$

La distribution des forces latérales: La force latérale total  $V$  doit être distribuée sur la hauteur selon :

$$V = F_t + \sum_{i=1}^n F_i \quad , \quad T > 0,7 \text{ s} \Rightarrow F_t = 0,07 \cdot T \cdot V = 0,602 \text{ t}$$

$$F_t = 0,602 < 0,25 V$$

La partie restante de l'effort horizontal total  $V$  doit être distribuée suivant :

$$F_k = \frac{(V - F_t) w_k h_k}{\sum_{i=1}^n w_i h_i} \quad , \quad F_k: \text{effort horizontal au niveau } k.$$

$h_i = h_k$ (m)	$w_i = w_k$ (t)	$w_i h_i$	$F_t(t)$	$F_k(t)$
19,7	19,93	392,62	$9,67 + 0,602 = 10,27$	2,277
16,2	20,54	478,54	2,041	4,319
12,96	22,51	291,72	1,244	5,562
9,72	22,51	218,79	0,933	6,495
6,48	22,51	145,86	0,622	7,117
3,24	22	71,28	0,304	7,421

$$\sum w_i h_i = 1598,81 \text{ t.m.}$$

determination du centre de masse et du centre de Torsion:

a) centre de masse:

$$\left\{ \begin{array}{l} x_G = \sum_{i=1}^n s_i x_i / \sum_{i=1}^n s_i \\ y_G = \sum_{i=1}^n s_i y_i / \sum_{i=1}^n s_i \end{array} \right.$$

Niveau	6, 5, 4, 3, 2, 1
$x_G$ (m)	1,8
$y_G$ (m)	1,8

b) Centre de Torsion:

$$x_{Cj} = \sum_{i=1}^n R_{ij}^{(t)} x_i^{(t)} / R_{ij}^{(t)}$$

$$y_{Cj} = \sum_{i=1}^n R_{ix}^{(t)} y_i^{(t)} / R_{ij}^{(t)}$$

$$e_x = |x_G - x_{Cj}| = 0$$

$$e_y = |y_G - y_{Cj}| = 0$$

Niv	6	5	4	3	2	1
$R_{ijx}$	19760	24540	24540	24540	24540	23020
$R_{ijy}$	19760	24540	24540	24540	24540	23020
$x_{Cj} = y_{Cj}$	1,8	1,8	1,8	1,8	1,8	1,8

Calcul de rigidité de Torsion:

La rigidité de Torsion de l'étage "j" est donnée par :

$$R_{j\theta} = \sum_{i=1}^2 R_{ijy}^{(t)} [x_i^{(t)}]^2 + \sum_{i=1}^2 R_{ix}^{(t)} [y_i^{(t)}]^2$$

,  $x_i, y_i$  : sont les coordonnées des portiques par rapport au repère (Cx, Cy)

Niv	6	5	4	3	2	1
$R_{j\theta}$ (kg/m)	$4,9 \cdot 10^6$	$3,73 \cdot 10^6$	$3,73 \cdot 10^6$	$3,73 \cdot 10^6$	$3,73 \cdot 10^6$	$4,06 \cdot 10^6$

determination de l'effort de niveau ( $T_{ij}$ ) revenant à chaque portique :

$$\text{Portiques Transversaux: } T_{ijy} = C_{ijy} \frac{R_{ijy}}{R_{j\theta}} + C_{jyx} \frac{R_{ijy} x_i}{R_{j\theta}} e_x + C_{jxy} \frac{R_{ijy}}{R_{j\theta}} e_y \cdot x_i$$

$$\text{Portiques Longitudinaux: } T_{ijx} = C_{ix} \frac{R_{ix}}{R_{j\theta}} + C_{jix} \frac{R_{ix} y_i}{R_{j\theta}} e_y + C_{jyx} \frac{R_{ix}}{R_{j\theta}} y_i e_x$$

calcul du déplacement relatif ( $\delta_j$ )

Le déplacement relatif ( $\delta_j$ ) d'un étage est donné par :

$$\delta_j = \frac{T_j}{R_j}$$

NIV	$T_i$	$D_j$	$a_{ij}k_i$	133,03	133,03	$P_{totau}$	1	2
6	1,138	266,0	$T_i$	0,57	0,57			
5	2,159	283,32	$a_{ij}k_i$	141,66	141,66			
4	2,281	283,32	$a_{ij}k_i$	141,66	141,66			
3	3,291	283,32	$a_{ij}k_i$	141,66	141,66			
2	3,558	283,32	$a_{ij}k_i$	141,66	141,66			
1	3,710	265,4	$a_{ij}k_i$	132,17	132,17			
A	3,710	265,4	$a_{ij}k_i$	1,85	1,85			

calcul de  $a_{ij}k_i$  pour tout le revêtement à clouage plateau

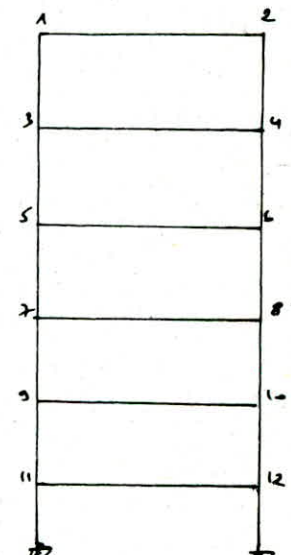
NIV	$C_i(k)$	$D_j(k)$	$a_{ij}(k)$	133,03	133,03	$P_{totau}$	1	2
6	2,226	2,226	$T_i = T_j$	0,226	0,226			
5	2,159	2,159	$T_i = T_j$	0,146	0,146			
4	2,128	2,128	$T_i = T_j$	0,222	0,222			
3	2,124	2,124	$T_i = T_j$	0,264	0,264			
2	2,122	2,122	$T_i = T_j$	0,281	0,281			
1	2,122	2,122	$T_i = T_j$	0,281	0,281			
0	2,122	2,122	$T_i = T_j$	0,289	0,289			
A	2,120	2,120	$T_i = T_j$	0,322	0,322			

Calcul des moments dans les poteaux:

Niv	Dot	$t_j(t)$	$\bar{y}$	$y_0$	$x_i$	$y_1$	$y_2$	$y_3$	$y = \bar{y} y_i$	$\beta = y h$	$M_{inf}$	$M_{sup}$
6	1	0,57	4,60	0,47	1	0	-	0	0,47	1,645	0,937	1,057
	2	0,57	4,60	0,47	1	0	0	0	0,47	1,645	0,937	1,057
5	1	1,08	4,26	0,45	1	:	3	0	0,45	1,458	1,574	1,924
	2	1,08	4,26	0,45	1	0	0	0	0,45	1,458	1,574	1,924
4	1	1,40	4,26	0,45	1	0	0	0	0,45	1,458	2,041	2,50
	2	1,40	4,26	0,45	1	0	0	0	0,45	1,458	2,041	2,50
3	1	1,62	4,26	0,45	1	0	,	:	0,45	1,458	2,36	2,88
	2	1,62	4,26	0,45	1	0	:	:	0,45	1,458	2,36	2,88
2	1	1,78	4,26	0,45	1	0	:	:	0,45	1,458	2,59	3,17
	2	1,78	4,26	0,45	1	0	:	:	0,45	1,458	2,59	3,17
1	1	1,85	2,13	0,40	1	0	:	:	0,40	1,296	2,39	3,60
	2	1,85	2,13	0,40	1	0	-	-	0,40	1,296	2,39	3,60

Calcul des moments dans les poutres:

Niv	Noe	$M_a(t.w)$	$M_b(t.w)$	$M_1(t.w)$	$M_2(t.w)$
6	1	0	1,057	0	1,057
	2	0	1,057	1,057	0
5	3	0,937	1,924	0	2,861
	4	0,937	1,924	2,861	0
4	5	1,574	2,50	0	4,074
	6	1,574	2,50	4,074	0
3	7	2,041	2,88	0	4,92
	8	2,041	2,88	4,92	0
2	9	2,36	3,17	0	5,53
	10	2,36	3,17	5,53	0
1	11	2,59	3,60	0	6,19
	12	2,59	3,60	6,19	0



Tableaux récapitutifs:

Poutres sous SI :

Niv	Poutre	Mw (kNm)	Mc (kNm)	Mf (kNm)	T <sub>(r)</sub>
6	C-0	1,057	1,057	0	-0,58
5	C-0	2,861	2,861	0	-1,59
4	C-0	4,074	4,074	0	-2,26
3	C-0	4,92	4,92	0	-2,73
2	C-0	5,53	5,53	0	-3,07
1	C-0	6,19	6,19	0	-3,43

Poteaux sous SI :

Niv	P.t	Hmp	Muf	T	N	Ncm.
6	1	1,057	0,937	0,57	-0,58	-0,58
	2	1,057	0,937	0,57	-0,58	-0,58
5	1	1,924	1,574	1,08	-1,59	-2,17
	2	1,924	1,574	1,08	-1,59	-2,17
4	1	2,50	2,041	1,40	-2,26	-4,43
	2	2,50	2,041	1,40	-2,26	-4,43
3	1	2,88	2,3C	1,62	-2,73	-7,1C
	2	2,88	2,3C	1,62	-2,73	-7,1C
2	1	3,17	2,59	1,78	-3,07	-10,23
	2	3,17	2,59	1,78	-3,07	-10,23
1	1	3,60	2,39	1,85	-3,43	-13,66
	2	3,60	2,39	1,85	-3,43	-13,66

Déformations horizontales: Le calcul des déplacements horizontaux relève du souci d'éviter la propagation du désordre dans les éléments de remplissage, ainsi que l'aggravation des contraintes dans le système de contreventement du fait que les pièces en béton armé sont suffisamment rigides et que seulement une partie d'énergie est dissipée sous forme d'énergie élastique.

- le déplacement est calculé à partir des forces latérales spécifiées doit être multiplié par  $\left(\frac{1}{2B}\right)$  (RPA 81)

$$\delta_j = \frac{\tau_j}{R_j} \cdot \frac{1}{2B}$$

- Le déplacement relatif d'un étage par rapport aux étages qui lui sont adjacents ne doivent pas dépasser 0,0075 fois la hauteur de l'étage (RPA 81) Art. 3.7.7.1.

$\tau_j$ : effort tranchant à l'étage  $j$   
 $R_j$ : rigidité relative à l'étage  $j$   
 $\beta$ : facteur de comportement

Niv	$\tau_{jx}(t)$	$R_{jx}(\text{kg/m})$	$\delta_{jx}(\text{cm})$	$\bar{\delta}_{jx}(\text{cm})$
6	2,277	19760	0,23	2,62
5	4,318	24540	0,35	2,43
4	5,562	24540	0,45	2,43
3	6,495	24540	0,53	2,43
2	7,117	24540	0,58	2,43
1	7,421	23020	0,644	2,43

$$\delta_{jx} = \delta_{jx} < \bar{\delta}_{jx} \text{ vérifié}$$

Vérification au renversement :

chaque structure doit être calculé afin de résister aux effets de renversement qui peuvent être causés par les efforts sismiques.

$$\text{Moment de renversement} = M_{\text{extérieur en console (RDC)}} + \text{effort tranchant} \times Z \text{ (base)}$$

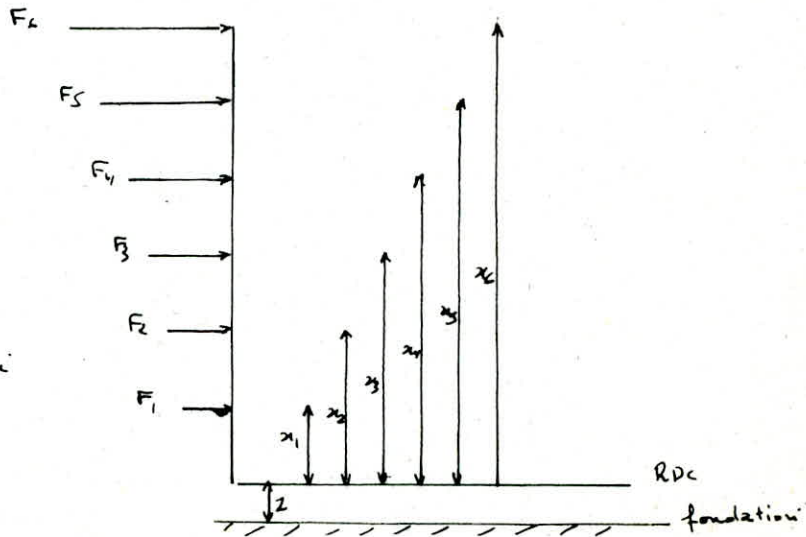
\* moment en console (RDC) =  $\sum_{i=1}^6 F_i \cdot x_i$   
 $= F_1 x_1 + F_2 x_2 + F_3 x_3 + F_4 x_4 + F_5 x_5 + F_6 x_6$ .

\* Effort tranchant à la base :

$$H = \sum_{i=1}^6 F_i = F_1 + F_2 + F_3 + F_4 + F_5 + F_6$$

\* Moment résistant :  $M_r = b \sum w_i$

$$b = \frac{l}{2}, \quad l = 3,6 \text{ m}, \quad b = 1,8 \text{ m}$$



Moment en console :

$$2,277 \times 19,7 + 2,041 \times 16,2 + 1,244 \times 12,96 + 9,72 \times 0,933 + 6,48 \times 0,622 + 3,24 \times 0,304 = 108,126 \text{ t.m}$$

$$\text{Effort tranchant à la base : } H = 2,277 + 2,041 + 1,244 + 0,933 + 0,622 + 0,304 = 7,421 \text{ t.m}$$

$$\text{moment résistant} = 250,2 \text{ t.m}$$

$$H \cdot Z = 7,421 \times 1,5 = 11,131 \text{ t.m}$$

$$\frac{\text{moment résistant}}{\text{moment de renversement}} = \frac{250,2}{119,25} = 2,09 > 1,5$$

moments et efforts tranchant dans les poutres :

Sous G

Niv	trav	l	q	Mw	Mc	Tw	Tc
6	1-2	3,60	1,065	0,571	0,571	1,917	-1,917
5	3-4	3,60	0,962	0,78	0,78	1,731	-1,731
4	5-6	3,60	0,962	0,78	=	1,731	-1,731
3	7-8	3,60	0,962	0,78	=	1,731	=
2	9-10	3,60	0,962	0,78	=	1,731	=
1	11-12	3,60	0,962	0,78	=	1,731	=

Sous P

Niv	trav	l	q	Mw	Mc	Tw	Tc
6	1-2	3,6	0,078	0,040	0,040	0,135	-0,135
5	3-4	3,6	0,075	0,060	0,060	0,135	-0,135
4	5-6	3,6	0,075	0,060	=	0,135	=
3	7-8	3,6	0,075	0,060	=	0,135	=
2	9-10	3,6	0,075	0,060	=	0,135	=
1	11-12	3,6	0,075	0,060	=	0,135	=

moments et efforts normaux dans les poteaux:

Sous G:

Niv	Pot	Tw	Tc	N	N <sub>cm</sub>	Mn	Ms
6	1	/	1,917	1,917	1,917	0,571	0,37
	2	-1,917	/	1,917	1,917	0,571	0,37
5	1	/	1,731	1,731	3,648	0,405	0,405
	2	-1,731	/	1,731	3,648	0,405	0,405
4	1	/	1,731	1,731	5,38	0,405	0,405
	2	-1,731	/	1,731	5,38	0,405	0,405
3	1	/	1,731	1,731	7,11	0,405	0,405
	2	-1,731	/	1,731	7,11	0,405	0,405
2	1	/	1,731	1,731	8,84	0,405	0,405
	2	-1,731	/	1,731	8,84	0,405	0,405
1	1	/	1,731	1,731	10,57	0,405	0,405
	2	-1,731	/	1,731	10,57	0,405	0,405

Sous P:

Niv	Pot	Tw	Tc	N	N <sub>cm</sub>	Mn	Ms
6	1	/	0,135	0,135	0,135	0,135	0,135
	2	-0,135	/	0,135	0,135	0,135	0,135
5	1	/	0,135	0,135	0,27	0,31	0,31
	2	-0,135	/	0,135	0,27	0,31	0,31
4	1	/	0,135	0,135	0,405	=	=
	2	-0,135	/	0,135	0,405	=	=
3	1	/	0,135	0,135	0,54	=	=
	2	-0,135	/	0,135	0,54	=	=
2	1	/	0,135	0,135	0,675	=	=
	2	-0,135	/	0,135	0,675	=	=
1	1	/	0,135	0,135	0,81	=	=
	2	-0,135	/	0,135	0,81	=	=

moments dans les poutres :

Niv	travé	G + 1,2P			G + P + $\overleftarrow{Si}$			G + P + $\overleftarrow{Si}$			0,8G + $\overrightarrow{Si}$			0,8G + $\overleftarrow{Si}$		
		Mw	Mt	Me	Mw	Mt	Me	Mw	Mt	Me	Mw	Mt	Me	Mw	Mt	Me
6	1-2	-0,619	1,3	-0,619	0,446	1,3	-1,668	-1,668	1,3	0,446	0,60	0,80	-1,51	-1,51	0,80	0,60
5	3-4	-0,852	0,52	-0,852	2,021	0,52	-3,70	-3,70	0,52	2,02	2,23	0,60	-3,485	-3,485	0,60	2,23
4	5-6	-0,852	0,52	-0,852	3,234	0,52	-4,91	-4,91	0,52	3,23	3,45	0,60	-4,49	-4,49	0,60	3,45
3	7-8	-0,852	0,52	-0,852	4,108	0,52	-5,76	-5,76	0,52	4,08	4,29	0,60	-5,54	-5,54	0,60	4,29
2	9-10	-0,852	0,52	-0,852	4,69	0,52	-6,37	-6,37	0,52	4,69	4,90	0,60	-6,15	-6,15	0,60	4,90
1	11-12	-0,852	0,52	-0,852	5,35	0,52	-7,03	-7,03	0,52	5,35	5,56	0,60	-6,81	-6,81	0,60	5,56

EFFort Tranchant dans les poutres:

Niv	travée	G + 1,2 P		G + P + $\bar{S}_1$		G + P + $\bar{S}_1$		$0,8 G + \bar{S}_1$		$0,8 G + \bar{S}_1$	
		T <sub>w</sub>	T <sub>e</sub>	T <sub>w</sub>	T <sub>e</sub>	T <sub>w</sub>	T <sub>e</sub>	T <sub>w</sub>	T <sub>e</sub>	T <sub>w</sub>	T <sub>e</sub>
G	1-2	2,079	-2,079	1,47	-2,63	2,63	-1,47	0,95	-2,11	2,11	-0,95
S	3-4	1,89	-1,89	0,276	-3,456	3,45	-0,276	-0,205	-2,97	2,97	0,205
H	5-6	"	=	-0,39	-4,126	4,126	0,394	-0,87	-3,64	3,64	0,87
Z	7-8	"	=	-0,864	-4,59	4,59	0,864	-1,35	-4,11	4,11	0,135
2	9-10	:	=	-1,204	-4,93	4,93	1,204	-1,69	-4,45	4,45	0,169
1	11-12	:	=	-1,564	-5,30	5,30	1,564	-2,05	-4,81	4,81	2,05

Moments dans les poteaux

Niv	travé	$G + 1,2P$		$0,8G + \vec{Si}$		$0,8G + \overleftarrow{Si}$		$G + P + 1,2\vec{Si}$		$G + P + 1,2\overleftarrow{Si}$	
		$M_{app}$	$M_{inf}$	$M_{app}$	$M_{inf}$	$M_{app}$	$M_{inf}$	$M_{app}$	$M_{inf}$	$M_{app}$	$M_{inf}$
6	1	0,619	-0,406	1,52	-1,233	-0,601	0,641	1,88	-1,52	-0,65	0,724
	2	0,619	-0,406	1,52	-1,233	-0,601	0,641	1,88	-1,52	-0,65	0,724
5	1	0,45	-0,45	2,248	-1,89	-1,6	1,25	2,74	-2,32	-1,87	1,45
	2	=	=	2,25	-1,89	-1,6	1,25	2,74	-2,32	-1,87	1,45
4	1	=	=	2,83	-2,36	-2,17	1,72	3,43	-2,88	-2,56	2,01
	2	=	=	2,83	-2,36	-2,17	1,72	3,43	-2,88	-2,56	2,01
3	1	=	=	3,20	-2,68	-2,55	2,03	3,89	-3,27	-3,02	2,40
	2	=	=	3,20	-2,68	-2,55	2,03	3,89	-3,27	-3,02	2,40
2	1	=	=	3,50	-2,92	-2,84	2,26	4,24	-3,54	-3,36	2,67
	2	=	=	3,50	-2,92	-2,84	2,26	4,24	-3,54	-3,36	2,67
1	1	=	=	3,93	-2,91	-3,27	2,066	4,75	-3,30	-3,88	2,43
	2	=	=	3,93	-2,91	-3,27	2,066	4,75	-3,30	-3,88	2,43

EFFORTS NORMAUX dans les poteaux.

Niv	travée	G + 1,2P		0,8G + $\overleftarrow{Si}$		0,8G + $\overleftarrow{Si}$		G + P + 1,2 $\overrightarrow{Si}$		G + P + 1,2 $\overleftarrow{Si}$	
		N	N <sub>cam</sub>	N	N <sub>cam</sub>	N	N <sub>cam</sub>	N	N <sub>cam</sub>	N	N <sub>cam</sub>
6	1	2,08	2,08	0,95	0,95	2,11	2,11	1,35	1,35	2,74	2,74
	2	2,08	2,08	0,95	0,95	2,11	2,11	1,35	1,35	2,74	2,74
5	1	1,9	3,98	-2,05	0,74	2,97	5,08	-0,048	1,302	3,76	6,50
	2	1,9	3,98	-2,05	0,74	2,97	5,08	-0,048	1,302	3,76	6,50
4	1	=	5,88	-0,87	-0,135	3,64	8,72	-0,85	0,45	4,57	11,07
	2	=	5,88	-0,87	-0,135	3,64	8,72	-0,85	0,45	4,57	11,07
3	1	=	7,78	-1,34	-1,47	4,11	12,83	-1,41	-0,96	5,13	16,2
	2	=	7,78	-1,34	-1,47	4,11	12,83	-1,41	-0,96	5,13	16,2
2	1	=	9,68	-1,68	-3,15	4,45	17,28	-1,82	-2,78	5,54	21,7
	2	=	9,68	-1,68	-3,15	4,45	17,28	-1,82	-2,78	5,54	21,7
1	1	=	11,58	-2,04	-5,20	4,81	22,09	-2,25	-5,036	5,97	27,67
	2	=	11,58	-2,04	-5,20	4,81	22,09	-2,25	-5,036	5,97	27,67

Ferraillage des poteaux et poutres du minaret:  
vérification au flambement:

$$\frac{I_c}{a} = \frac{3,24 \times 0,7}{0,3} = 7,56 < 14,4$$

Armatures min sous SP1:

a) Section entièrement comprimée: Niveau 4

$$A_{min} \geq \frac{1,25}{1000} \Theta_1 \Theta_2 \Theta_3 \cdot \frac{N}{G_b} = \frac{1,25}{1000} \cdot 1,8 \cdot 2,989 \cdot 1,52 \cdot \frac{11,58 \cdot 10^3}{68,5} = 1,73 \text{ cm}^2$$

b) section partiellement Comprimée: niveau 1

$$y = h - \frac{G_b'}{G_b' + G_a} = 7,248 \text{ cm} \rightarrow G_m' = 32,45 \text{ kg/cm}^2$$

$$A_{min} \geq \frac{1,25}{1000} \cdot \Theta_1 \Theta_2 \Theta_3 \cdot \frac{G_m'}{G_b} \cdot \beta = \frac{1,25}{1000} \cdot 1,8 \cdot 2,989 \cdot 1,52 \cdot \frac{32,45}{68,5} \cdot 30 \times 7,248$$

$$A_{min} \geq 3,12 \text{ cm}^2$$

Poteaux						
Sollicit	N <sup>max</sup> , M <sub>corr</sub>	N <sub>min</sub> , M <sub>corr</sub>	N <sup>max</sup> , N <sub>corr</sub>			
Niv	4	1	4	1	4	1
N	11,07	27,67	-1,35	-5,20	-0,85	-2,25
M	2,01	2,43	2,36	-2,71	3,43	4,75
e <sub>o</sub>	0,18	0,087	1,74	0,52	4,03	2,11
G <sub>b'</sub>	205,5	162,9	205,5	205,5	205,5	205,5
f	0,3	0,207	1,86	0,64	4,15	2,23
M <sub>f</sub>	0,33	0,572	0,251	0,333	0,353	0,502
M	0,0542	0,0935	0,0410	0,0543	0,0576	0,0819
K	36,4	25,8	43	36,4	35	28,1
E	0,9027	0,8774	0,9133	0,9027	0,9000	0,8940
G <sub>b'</sub>	115,38	162,79	97,67	115,38	120	149,5
K	20,43	25,78	20,43	20,43	20,43	20,43
A <sub>fs</sub>	3,244	5,755	2,42	3,251	3,456	5,005
A <sub>fc</sub>	0,610	0	2,74	4,49	3,66	5,541

Poutres		
Sect	Appuis	Travé
M	6,81	0,60
M	0,059	0,005
E	0,8990	0,9669
K	34,5	136
G <sub>b'</sub>	121,73	30,8
A <sub>(k)</sub>	4,874	0,40
A <sub>long</sub>	3T14+2T12	3T12

TABLEAU RECAPITUTATIF du ferraillage des poteaux

Sollicit	SP1		SP2 $A = A' =$ RPA	$A_{min}$ RPA	$A_{max}$ RPA	A <sub>adp</sub>	Ferraillage	
	Niveau	$A_{min}$ cm <sup>2</sup>	$A_{min}$ Total				longi	transv
4	1,73	3,46	3,66	9	36	12,31	2(3T14)	2(3T14)
1	3,12	6,24	5,541	9	36	16,08	2(3T16)	2(3T16)

4<sup>o</sup> PARTIE

**FONNITIONS**

## ETUDE DES Fondations

La Fondation est un organe de transmission de charge de la structure au sol, elle ne peut être calculée que si l'on connaît :

- la superstructure et ses charges
- les caractéristiques des charges

Selon la structure de l'ouvrage il a été conçu :

- des semelles isolées.
- une semelle continue sous 3 poteaux.

### Reconnaissance Géotechnique du sol :

D'après le rapport du sol qui nous a été confié, la reconnaissance insitu est constituée de 3 puits dont la profondeur max atteint 4,2 m. sans atteindre de nappe phréatique et dont la composition du sol (du haut vers le bas), en moyenne une épaisseur de 0,9 à 1,30 m de remblai puis ~ 3m de sable argileux, donc on prend le sable argileux comme sol de fondation, du fait de sa faible compressibilité et de son très faible coefficient de gonflement.

### EFFORTS Normaux et moments revenants aux semelles :

Pot	Longitudinale		Transversal		sol	N(t)	M(t.m)
	N (t)	M t.m	N t.	M t.m			
K <sub>4</sub>	25,876	0,209	26,062	0,604	s <sub>p1</sub>	51,938	0,604
L <sub>6</sub>	11,74	2,968	17,78	0,818	s <sub>p1</sub>	29,52	2,968
H <sub>6</sub>	14,797	0,353	11,802	0,345	s <sub>p1</sub>	26,600	0,353
H <sub>7</sub>	7,786	0,186	0,660	0,078	s <sub>p1</sub>	8,446	0,186
P <sub>c</sub>	40,355	5,767	41,355	5,315	s <sub>p2</sub>	81,71	5,767
Q <sub>c</sub>	27,67	2,43	27,67	2,43	s <sub>p2</sub>	55,34	2,43

Toutes les semelles sont sollicitées par des efforts normaux et des moments. On donnera le calcul détaillé pour Semelle K<sub>4</sub>, pour les autres semelles, on se contentera de donner les résultats dans un tableau.

### Calcul de la Semelle K<sub>4</sub> :

$N = 51,938 t$ ,  $M = 0,604 t.m$  sous s<sub>p1</sub>.  
la poulie se dimensionnera selon la formule de la RDM.

$$\sigma_2 = \frac{N}{S} \pm \frac{M \cdot r}{I}, \text{ en vérifiant } \sigma\left(\frac{A}{4}\right) = \frac{\sigma_1 + 3\sigma_2}{4} \leq \sigma_p$$

On adopte une semelle carrée :  $S = A^2$ .

$$\left. \begin{array}{l} \sigma_1 = \frac{N}{A^2} + \frac{CM}{A^3} \\ \sigma_2 = \frac{N}{A^2} - \frac{6M}{A^3} \end{array} \right\} \quad \sigma(\frac{A}{4}) = \frac{N}{A^2} + \frac{3M}{A^3} \leq \bar{\sigma}_n \quad , \quad \bar{\sigma}_n = 1,2 \text{ kg/cm}^2.$$

On aura à résoudre une équation du 3<sup>me</sup> degré

$$\frac{51938}{A^2} + \frac{3 \cdot 0,604 \cdot 10^{-5}}{A^3} \leq 1,2 \quad \rightarrow \quad A = 70 \text{ cm} \quad h \geq \frac{A-\alpha}{4} = 15 \text{ cm}.$$

$$h_t = h + d = 20 \text{ cm} \quad p_i = \frac{p_t}{3} + \frac{h_t}{2} \quad , \quad p_i \geq 6\phi + 6 = 13,2 \quad \phi = 12 \text{ cm}.$$

Ferrailage: le ferrailage de la semelle se fait suivant la méthode des bielettes pour la sollicitation du 1<sup>er</sup> genre, on distingue:

$$\epsilon_2 = \frac{M}{N} = 1,16 \text{ cm} < \frac{A}{c} = 11,66 \text{ cm} \Rightarrow \text{diagramme trapézoïdale ou triangulaire}$$

$$\sigma_1 = \frac{N}{A^2} \left( 1 + \frac{6\epsilon_2}{A} \right) = 11,65 \text{ kg/cm}^2 \quad ; \quad \sigma_2 = \frac{N}{A^2} \left( 1 - \frac{6\epsilon_2}{A} \right) = 9,45 \text{ kg/cm}^2.$$

$$\sigma_m = \frac{(3\sigma_1 + \sigma_2)}{4} = 11,12 \text{ kg/cm}^2, \quad N_x = \sigma_m \cdot A^2 = 54507,2 \text{ kg}.$$

$$A_{x0} = A_y = \frac{N_x(A-\alpha)}{8h \cdot \bar{\sigma}_a} = \frac{54507,2(70-25)}{8 \cdot 15 \cdot 2800} = 7,30 \text{ cm} \rightarrow FT12 = 7,92 \text{ cm} \rightarrow esp = 10 \text{ cm}$$

Sections carrées:

semelle	N(t)	H <sub>tm</sub>	soll	e <sub>1</sub>	A <sub>cm</sub>	h	ht	h <sub>1</sub>	σ <sub>m</sub>	A <sub>x</sub> =A <sub>y</sub>	A <sub>adap</sub>	nb de bielettes	esp
H <sub>c</sub>	26,60	0,353	S <sub>P1</sub>	1,33	50	15	20	15	11,48	2,135	3,39	3T12	15
H <sub>r</sub>	9,446	0,196	S <sub>P1</sub>	2,20	90	20	25	10	1,11	1,31	4,52	4T12	26
P <sub>6</sub>	81,21	5,763	S <sub>P2</sub>	7,05	275	65	70	30	1,158	10,03	12,43	11T12	26
Q <sub>6</sub>	55,34	2,431	S <sub>P2</sub>	4,39	230	55	60	25	1,1	6,45	10,17	9T12	27

Section rectangulaire:

semell	N	M	soll	e	A <sub>cm</sub>	B <sub>cm</sub>	h	ht	t <sub>1</sub>	σ <sub>m</sub>	A <sub>x</sub>	A <sub>y</sub>	A <sub>x adap</sub>	A <sub>y adap</sub>	nbre de x	nbre de y	esp
L <sub>6</sub>	29,52	2,968	S <sub>P1</sub>	10,05	120	250	50	55	20	1,10	2,5	5,22	5,65	11,31	5T12	10T12	27

## Longrines

Les fondations sont chainées dans les 2 directions avec des longrines suffisamment rigides, qui sont calculées pour résister à la traction sous l'action d'une force égale à  $\frac{N}{10}$  pour un sol meuble selon (RPA Art 4.2.33)

dimension de la plus longues des longrines ( $L = 6,00 \text{ m}$ ), de forme ( $30 \times 30$ )  
 $q = 0,225 \text{ t/m}^2$  (charge due au poids propre de la longrine supposée encastrée à ses 2 extrémités).

$$M_a = \frac{q l^2}{12} = 0,675 \text{ t.m.}, M_t = \frac{q l^2}{24} = 0,337 \text{ t.m.}, N_{max} = 51,938 \text{ t}, \frac{N}{10} = 5,193 \text{ t}$$

Ferraillage: appuis:  $\frac{H}{N} = 0,13 > \frac{ht}{6} = 0,05$  section partiellement tendue

$$A_{fc} = A_{fs} - \frac{N}{\sigma_a}, A_{fs} = \frac{M_f}{E \cdot h \cdot \sigma_a}, H_f = N \cdot f, f = \frac{ht}{2} - e_0 - d = 0,04$$

$$M_f = 0,28 \text{ t.m.}, \mu = 4,12 \cdot 10^{-3}, \epsilon = 0,9708, K = 156, \sigma_b' < \bar{\sigma}_b' \rightarrow A' = 0$$

$$A_{fs} = 0,255 \text{ cm}^2, \frac{N}{\sigma_a} = \frac{5200}{2800} = 1,85 \text{ cm}^2, A_{fc} = 2,105 \text{ cm}^2$$

RPA exige  $4T12 = 4,52 \text{ cm}^2$  espacé 20cm.

$$\text{La travée travaille en traction. } \sigma_a = \frac{N}{A} = \frac{5200}{4,52} = 1150,44 < 2800 \text{ kg/cm}^2$$

$$A \geq 0,69 \cdot 30 \cdot 30, \frac{5,9}{2800} = 1,30 \text{ cm}^2$$

## Voile périphérique:

Prescription: (RPA 81)

Les ossatures au dessus du niveau de base, formées des poteaux courts (le vide sanitaire), doivent comporter un voile périphérique

Le voile doit avoir les caractéristiques minimales:

- épaisseur  $e \geq 15 \text{ cm}$ .
- armatures longitudinales  $> 2 \text{ cm}^2$ , par face et par mètre linéaire de hauteur
- armatures longitudinales filantes supérieures et inférieures

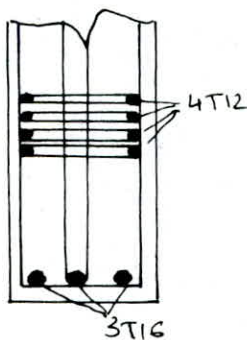
$A_P \geq 0,20\% \text{ de la section transversale totale du bâton}$

$$e = 15 \text{ cm}$$

$$h = 150 \text{ cm}$$

$$A_L \geq \frac{0,20}{100} \cdot 15 \cdot 150 = 4,5 \text{ cm}^2 \quad \text{soit } 3T16 = 6,03 \text{ cm}^2 / \text{rel.}$$

$$A_L > 2 \text{ cm}^2 \rightarrow \text{soit } 4T12 = 4,52 \text{ cm}^2$$



## BIBLIOGRAPHIE

1. voiles minces A. COIN
2. voiles minces J. Courbon
3. Théorie des plaques et Coques S. Timoshenko
4. Le calcul et la vérification des ouvrages en béton Armé P. charon
5. Traité de béton Armé Tome III, VI A. GUERRIN
6. Règles R.P.A. 81 version 83
7. Règles NV. 65 révisé en 82
8. Calcul pratique des ossatures A. FUENTES
9. Aide - mémoire R.D.M.
10. Cours de Béton III M. BELAZOUNGUI



